

- سطح زمین از یونیه گت (km) ۱۰۰۰ تسلی شده و در آن ماه محبت خیر ملود.

- این صفت در واقع از خوردگوشه گشای سه و در ادامه در آن فرومی رود و زوب می شود (فرداخی)

- سن این صفت حد اکثر ۲۰۰ میلیون سال است.

- قاره ها با این صفت لغدت دارند. قاره ها صفت ضمیمه گوی هستند که نیمی در حدود یک میلیارد سال دارند (حد اکثر ۳۸۰۰ میلیون سال)

- قاره ها بدون گوشه نشاندند و داخل آن فرو نمی روند (مانند صفت زمین)

کره زمین دارای ۷ صفت است : ۱- صفت افریق

۲- صفت اوراسیا

۳- صفت اقیانوس هند

۴- صفت اقیانوس آرام

۵- صفت قطب جنوب

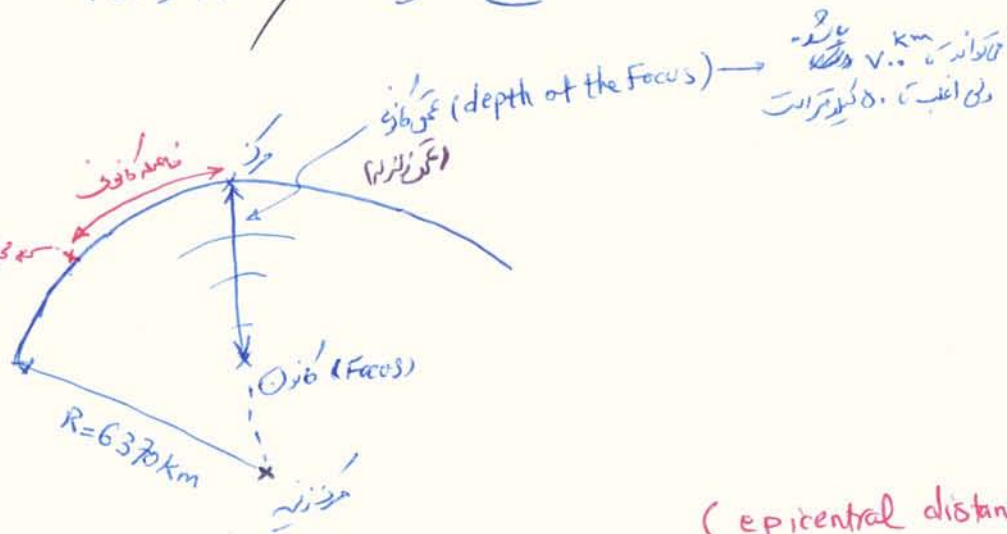
۶- صفت آرکاتیکا

۷- صفت تازیکا

An earthquake is a sudden motion of the earth surface, originating in a limited underground region, due to disturbance of the elastic equilibrium of the rock mass and spreading from there in all directions.

زلزله :

(Focus, hypocenter) : نقطه‌ای که زلزله در آنجا شروع می‌شود.
(epicenter) : تصویر روی زمین از نقطه‌ای که زلزله در آنجا شروع می‌شود.



فاصله باطنی : (epicentral distance)

خاصیت اصلی زلزله (نوع زلزله)

عموماً با زلزله‌های عمیق و با عمق زیاد (عمق باطنی) در عمق ۱۱۱ کیلومتر است. (عمق باطنی ۱۸۰ کیلومتر می‌تواند باشد)

Near (بسیار نزدیک)	1- نزدیک	} زلزله‌ها	Shallow Focus	۱- سطحی
			Normal Focus	۲- عمیق
distant	۲- دور		Deep Focus	۳- عمیق

* خاصیت زلزله‌ها تغییر با عمق است. همچنین عمق است با - زلزله‌ها از زلزله‌ها
 - زلزله‌ها از زلزله‌ها
 - زلزله‌ها از زلزله‌ها

- فوران آتشفشان (volcanic eruption)

تکتونیک (Tectonic) زلزله‌های زمین را از زمین‌ساختی و زمین‌شناسی آن در هنگام وقوع زلزله است. این

نوع لرزه‌ها (فعالیت‌ها) تکتونیک هستند.

* زمین‌شناسی در امتداد سس‌ها با قانون زلزله و برابری آن از آن لحاظ پذیرفته می‌شود. از آنرو میدان مطالعه در سطح زمین کتب علمی در باره زلزله و نحوه ایجاد آن تفاوت نمی‌کند.

* از آنرو نظریه (تکتونیک) (plates tectonic theory) پیشنهاد می‌دهد که در دوران گذشته زمین در حرکت بوده است. در این تکتونیک، پوسته زمین از قسمت‌ها تشکیل شده که قادرند حرکت کنند.

گسل (Fault): حوضی یا پوسته‌ای که در زمین شکست می‌خورد و در آن زمین‌ساختی رخ داده است. زلزله‌ها در امتداد این گسل‌ها رخ می‌دهند.

San Francisco, California, USA

April 18, 1906

Magnitude: 8.3

San Andreas Fault, broke from San Juan to Upper Hattale along 430 km length

Strike-slip up to 6.3 m

* زمین‌ساختی در امتداد سس‌ها با قانون زلزله و برابری آن از آن لحاظ پذیرفته می‌شود. (blind Faults)

حرکتی زمین‌ساختی در امتداد سس‌ها با قانون زلزله و برابری آن از آن لحاظ پذیرفته می‌شود. این امر در حوضی زمین‌ساختی رخ می‌دهد.

درخت ها در درخت های سنگین و درخت های کهنه زده بودند پس از زلزله زون (مقیه سال) بعد از زلزله در آن زمان ۱۰۶
درخت رات

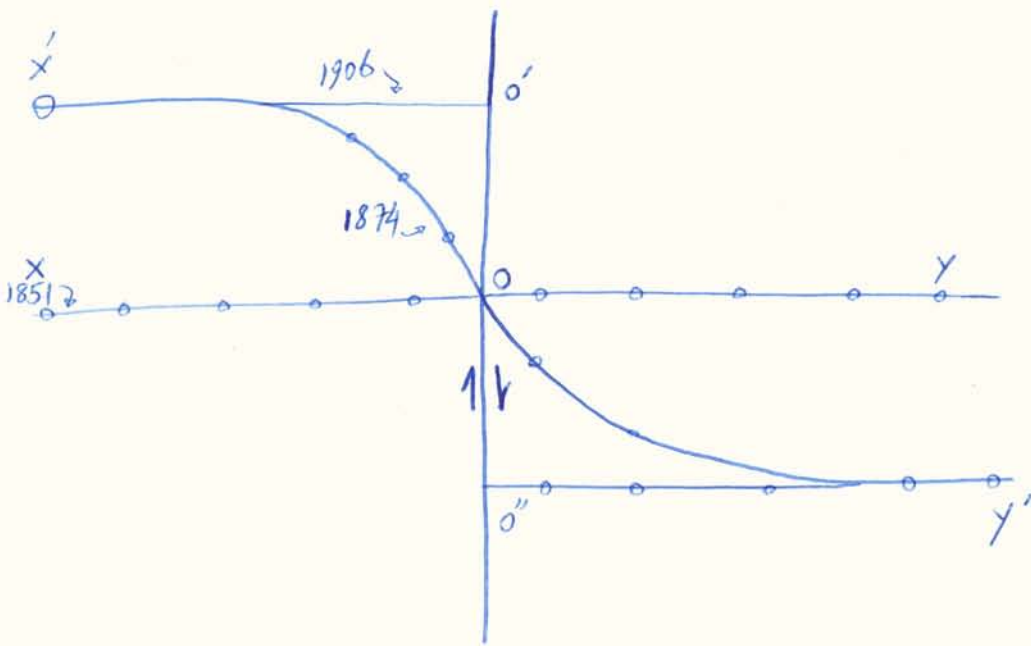
زلزله نوانسید آن واقعه هر خط از این درخت ها به در خط موازی تبدیل شدند!

این مسئله منجر به پیشگامی تئوری $(\hat{A}, \hat{e}, \hat{r})$ elastic Rebound Theory توسط H.F. Read شد. بر این اساس تئوری

منشأ انرژی زلزله ها تکونی است، انرژی کرنش الاستیک ذخیره شده در سنگ است. و در این انرژی در طول *The source*

افزایش یافته و بعد الاستیک خودی در (مقاومت سنگ) گسیختگی اتفاق می افتد. و در آن سگین شکسته شده در موقعیت جدیدی به تدریج استتیک می آید.

* این مسئله ثابت وجود زمین پس لرزه ها می برد که اغلب در زلزله ها نزدیک اتفاق می افتد.



سال ۱۸۵۱: درجه در حالت xy

سال ۱۸۷۴: " " : x'0y'

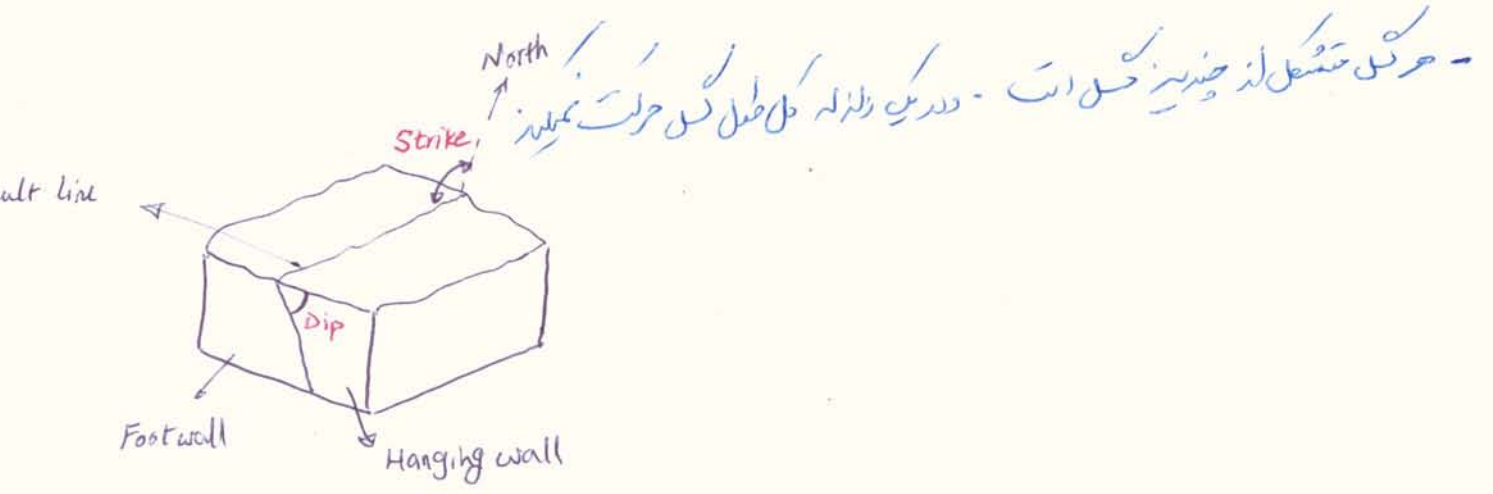
سال ۱۹۰۶: " " : x'0' و 0''y'

کند سان آنتونی (۳۰۰ km) باعث بوجود آمدن زلزله استرو (El centro) در سال ۱۹۴۰ با بزرگای ۷.۱ شد. در این زلزله یک کتل ۴ کیلومتر با نفوذ ۵ متر مشاهده شد.

انواع گسل ها: (بر مبنای جهت و حرکت تپه آبی)

طبقه بندی و برابری برای این جهت و جهت حرکت تپه آبی گسل می باشد	Strike slip	۱- گسل لغز افقی
	Normal (برای حرکات کششی)	۲- گسل نزول (دره)
	Reverse (" در فشار)	۳- گسل وارونه

- حداکثر حرکت گسل می تواند 20^m تا 100^m در طول سال باشد (مانند سان آندریاس - Nakai در ژاپن) **Ectonic Creep**
- تغییر شکل گسل در هنگام زلزله نیزه تواند از 1^m تا 20^m باشد.
- گسل مطلق زلزله است نه حرکت آن



Dip: The angle that fault surface makes with a horizontal plane.
Strike: The direction of the fault line exposed at the ground surface relative to the north.

strike-slip fault / transcurrent fault: involves displacements of rock laterally, parallel to the strike.

تغییر در جهت حرکت از چپ به راست (right-lateral) / چپ به راست (left-lateral)

Dip-slip fault: is one in which the motion is largely parallel to the dip of the fault and thus has vertical components of displacement.

1. Normal Fault: فرارنده به سمت پایین حرکت می کند.

2. Reverse Fault: فرارنده به سمت بالا حرکت می کند.

oblique faulting: لغزشی که ترکیبی از دو حرکت است.

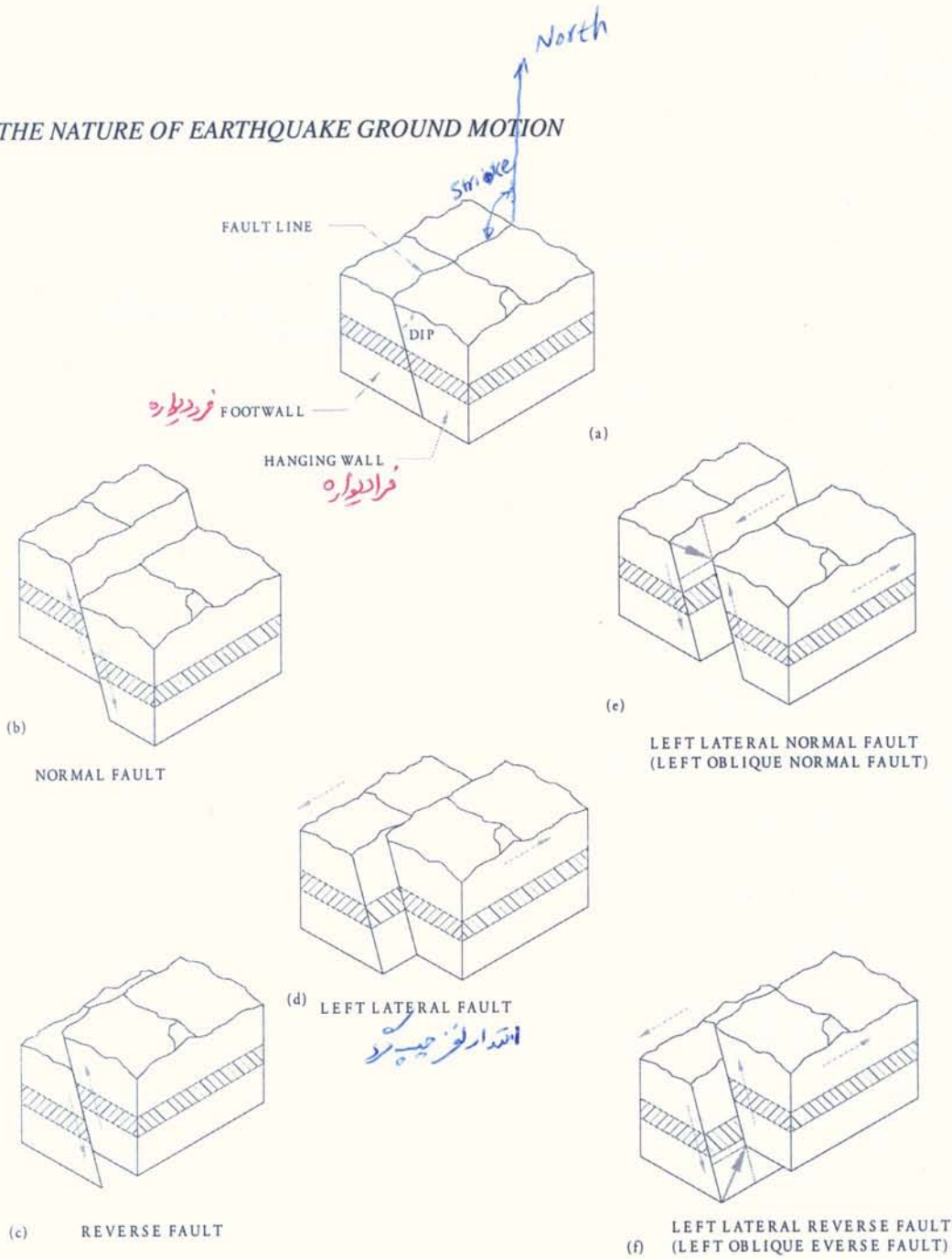


Figure 1-10. Diagrammatic sketches of fault types

The classification of faults depends only on the geometry and direction of relative slip. Various types are sketched in Figure 1-10. The dip of a fault is the angle that fault surface makes with a horizontal plane and the strike is the direction of the fault line exposed at the ground surface relative to the north.

A strike-slip fault, sometimes called a transcurrent fault, involves displacements of rock laterally, parallel to the strike. If when we stand on one side of a fault and see the motion on the other side is from left to right, the fault is right-lateral strike-slip. Similarly, we can identify left-lateral strike-slip.

A dip-slip fault is one in which the motion is largely parallel to the dip of the fault and thus has vertical components of displacement. A normal fault is one in which the rock above the inclined fault surface moves downward relative to the underlying crust. Faults with almost vertical slip are also included in this category.

A reverse fault is one in which the crust above the inclined fault surface moves upward relative to the block below the fault. Thrust faults are included in this category but are generally restricted to cases when the dip angle is small. In blind thrust faults, the slip surface does not penetrate to the ground surface.

In most cases, fault slip is a mixture of strike-slip and dip-slip and is called oblique faulting.

For over a decade it has been known that displacement in fault zones occurs not only by sudden rupture in an earthquake but also by slow differential slippage of the sides of the fault. The fault is said to be undergoing tectonic creep. Slippage rates range from a few millimeters to several centimeters.

The best examples of fault creep come from the San Andreas zone near Hollister, California, where a winery built straddling the fault trace is being slowly deformed; in the town, sidewalks, curbs, fences and homes are being offset. On the Hayward fault, on the east side of San Francisco Bay, many structures are being deformed and even seriously damaged by slow slip, including a large water supply tunnel, a drainage culvert and railroad tracks that intersect the zone.

Horizontal fault slippage has now also been detected on other faults around the world, including the north Anatolian fault at Ismetpasa in Turkey and along the Jordan Valley rift in Israel. Usually, such episodes of fault slip are aseismic-that is, they do not produce local earthquakes.

It is sometimes argued that a large damaging earthquake will not be generated along a fault that is undergoing slow fault slip, because the slippage allows the strain in the crustal rocks to be relieved periodically without sudden

rupture. However, an alternative view is also plausible. Almost all fault zones contain a plastic clay-like material called fault gouge. It may be that, as the elastic crystalline rocks of the deeper crust strain elastically and accumulate the energy to be released in an earthquake, the weak gouge material at the top of the fault zone is carried along by the adjacent stronger rock to the side and underneath. This would mean that the slow slip in the gouge seen at the surface is an indication that strain is being stored in the basement rocks. The implication of this view is that, on portions of the fault where slippage occurs, an earthquake at depth could result from sudden rupture, but surface offset would be reduced. On the portion where slippage is small or nonexistent, offsets would be maximum. A prediction of this kind can be checked after earthquakes occur near places where slippage is known to be taking place.

Sometimes aseismic slip is observed at the ground surface along a ruptured fault that has produced an earlier substantial earthquake. For example, along the San Andreas fault break in the 1966 earthquake on June 27 near Parkfield, California, offset of road pavement increased by a few centimeters in the days following the main earthquake. Such continued adjustment of the crustal rock after the initial major offset is probably caused partly by aftershocks and partly by the yielding of the weaker surface rocks and gouge in the fault zone as they accommodate to the new tectonic pressures in the region.

It is clear that slow slippage, when it occurs in built up areas, may have unfortunate economic consequences. This is another reason why certain types of structures should not be built across faults if at all possible. When such structures including dams and embankments must be laid across active faults, they should have jointed or flexible sections in the fault zone.

1. Tectonic EQs.

نظریه تکتونیک صفحه‌ها (Inter plates EQs) هم زلزله‌ها را تفسیر می‌کند

بلکه زلزله‌ها در داخل صفحات نیز می‌توانند رخ دهند (Intra plates EQs). وجود این زلزله‌ها بین این موضوع است که همی

پوسته زمین صلب نیست و در داخل خود نیز می‌تواند فعالیت‌ها تکتونیک داشته باشد.

از سری زلزله‌ها معروف در این زمینه (Intraplate EQs) می‌توان به موارد زیر اشاره نمود:

Dasht-e-Bayaz EQ. August 31, 1968

New Madrid EQ Series 1811-1812 (Missouri)

در استان رود میسیسیپی
Mississippi

h
Charleston, South Carolina, 1886

2. Explosions.

- اینجور است که انفجار مینو سیمایی یا آتشفشان‌ها حرکت‌ها تکتونیک زمین را تولید کند.

- این حرکت‌ها تا $M=6$ هم تولید کرده است.

- این حرکت‌ها در کل زمین قابل ثبت است.

3. Volcanic EQs.

- فعالیت‌ها آتشفشانی و زلزله‌ها معمولاً در محل‌ها مشخصی در کنار پوسته‌ها اتفاق می‌افتد.

- زلزله‌ها که در آتشفشان‌ها آتشفشانی باشند نادرند. (به خصوص لاقور قدها)

- در زلزله ۱۹۴۲ آلاسکا همجوره اوتار فعالیت آتشفشانی کرد می‌شد.

- در زلزله ۱۹۶۰ Chilean, آتشفشان Puyehue (in the Andes) ۵۴۸ ثبت شد.

از زلزله‌ها آتشفشانی نمود.

4. Collapse EQs.

- بارافزودگی‌ها و بارهای زیاد در ساختمان‌ها می‌تواند

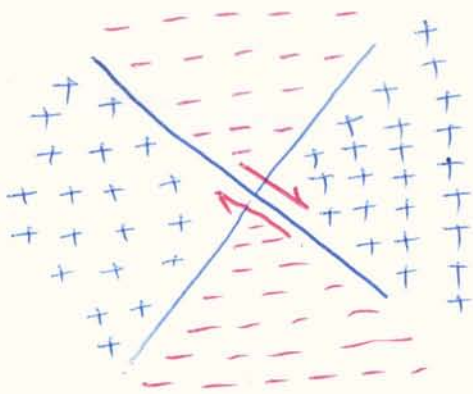
- باعث زلزله‌ها خفیف شود.

- بعضی اوقات زمین‌لرزه (landslide) هم می‌تواند باعث آتشفشان شود.

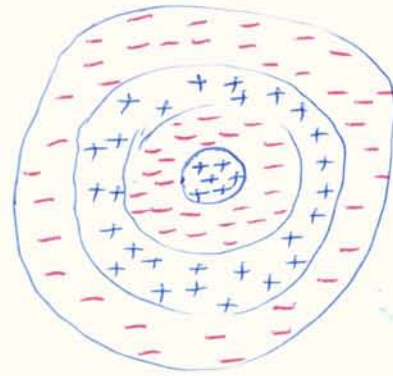
- در 25 April, 1974 در استان رود Mantaro پیرو، زمین‌لرزه‌ای رخ داد که باعث ایجاد زمین‌لرزه‌ای شد.

شود ۴۵۰ تنگه‌شده در این زمین‌لرزه $1.6 \times 10^9 m^3$ خاک ریز شد.

نشاندها که ثبت شده از زلزله ها که در کس سطحی نهشته اند ، نیز این مورد را لا سیبیه میگویند . بابت همین تفاوت در محل ها
 مختلف نزدیک به کانون زلزله ، ثابت شده که مناطق فشار و کشش چهارگانه بوجود می آید . (برخلاف امواج انفجاری)



Shear couple source + Compression
 - dilatation



Explosive source

5. Large Reservoir- Induced EQs.

فشار آب پشت سد و ... می تواند باعث زلزله گردد.

- در دهه 1870's، سازگار U.S. Corps of Engineers پیشنهاد کرد که در دریاچه واکر بودر عمل ذخیره آب

در جنوب کالیفرنیا در Salton Sea سفته شود.

- 4% of large Dams had an EQ. reported with magnitude more than 3.0 within 16 Kilometers of Dam

- محاسبات نشان میدهد که فشار آب در سدها به اندازه آنست که میتواند باعث لرزش گسترده شود بلکه در نظریه وجود دارد
{ این امر ناشی از تغییرات در توزیع تنش و تغییرات در خواص مکانیکی خاکست و رفته به پیشرفته که گفته میشود به آن اتمل شود.
سفت شدن آب آون باعث افزایش فشار آب در لایه ها شده است

* Evidences:

و یا هر دو.

- Filling of Lake Mead behind Hoover Dam ($H=221\text{ m}$), Nevada Arizona, 1935.

در سال 1940 سدها زلزله آمد و افتادند یعنی کانونی کمتر از 8 کیلومتر داشتند.

- In Koyna, India, an earthquake ($M=6.5$) centered close to the dam ($H=103\text{ m}$) caused significant damage on December 11, 1967.

- شواهد نشان میدهد که لرزه خیزترین منطقه خنجرگاه است که در هند است، افزایش می یابد.

6. Tsunami

Earthquake Intensity

جای مقایسه شدت زلزله‌ها مختلف، باید معیار برآورد شدت زلزله‌ها تعیین شود.

Modified Mercalli Intensity
(MMI, 1931)

(2 ادیم دارد) →

به عنوان کمترین میزان در نظر گرفته می‌شود.

- بستگی به تفاوت سطح دارد.

- بر رفتار اینجه بستگی دارد.

- تعیین خطوط هم‌سطح بر اساس شدت‌ها با استفاده از نمودار اینجه ممکن است.
- شدت زلزله ارتباط مستقیم با شدت محاسباتی زلزله‌ها ندارد.

معیار

- سازه‌ها و بناها در طول زلزله آسیب می‌بینند.

- توفان‌ها از یکدیگر در همان‌جا دارند و در درازمدت.

- خطوط هم‌سطح لزوماً نسبت به شدت زلزله‌ها در مناطق مختلف یکسان نیستند.

- قابل کاربرد برای زلزله‌ها تاریخی است.

مزایا

معیار بصیرت می‌باشد. ۱۰-۱۰۰۰ نفر برای زلزله گسترده هستند.

- در سال ۱۹۲۶ میلادی تا ۱۹۵۰ میلادی در کشور ایران برای زلزله‌ها استفاده شد. (۲ شهریور ۲۰۰۰ در استان تهران)

Richter در سال ۱۹۳۵، معیار بزرگای لرزه را پیشنهاد کرد.

M: مقیاس (مبنای ۱۰) حرکت‌دهنده لرزه (میکرون) ۰.۰۰۱ mm که در واقع ۱۰۰ میکرون از مرکز لرزه تا ایستگاه است.

استاندارد Wood-Anderson ثبت‌شده (or M_L)

معیار M با عمق زمین‌لرزه و بزرگای لرزه در فاصله ۱۰۰ km نسبت شده اند. در صورتی که بزرگای لرزه در فاصله ۱۰۰ km باشد، در صورتی که بزرگای لرزه در فاصله ۱۵۰۰ km باشد، بزرگای لرزه در فاصله ۲۰۰ km باشد، بزرگای لرزه در فاصله ۱۵۰۰ km باشد.

$$M = \log A + 3 \log \Delta - 3.37$$

↓ Amplitude (microns)
 ↓ Epicentral distance (km)

که اگر بزرگای لرزه در فاصله ۱۰۰ km باشد، بزرگای لرزه در فاصله ۱۰۰ km باشد، بزرگای لرزه در فاصله ۱۰۰ km باشد.

if A is Body waves $\Rightarrow M = M_0 = "m"$ (based on teleseismic data)

if A is surface waves $\Rightarrow M = M_s = "M"$ (based on local data)

if $A = 1 \text{ micron} \Rightarrow M = 0$
 if $A = 1 \text{ mm} \Rightarrow M = 3$

معیار بزرگای لرزه در فاصله ۱۰۰ km باشد، بزرگای لرزه در فاصله ۱۰۰ km باشد، بزرگای لرزه در فاصله ۱۰۰ km باشد.
 بزرگای لرزه در فاصله ۱۰۰ km باشد، بزرگای لرزه در فاصله ۱۰۰ km باشد، بزرگای لرزه در فاصله ۱۰۰ km باشد.
 بزرگای لرزه در فاصله ۱۰۰ km باشد، بزرگای لرزه در فاصله ۱۰۰ km باشد، بزرگای لرزه در فاصله ۱۰۰ km باشد.

Relationship between EA. Magnitude and Energy

فرض کنید امواج زلزله مستطال از n موج سینوسی با طول موج λ می باشد
 و اگر A_0 دامنه T_0 و v instantaneous particle velocity

$$\text{Kinetic Energy} = \int_{\text{mass}} \frac{m v^2}{2}$$

$$x = A_0 \cos \frac{2\pi t}{T_0} \Rightarrow v = \frac{dx}{dt} = -\frac{2\pi A_0}{T_0} \sin \frac{2\pi t}{T_0} = v_0 \sin \frac{2\pi t}{T_0}$$

$$\& \text{ acceleration} = \frac{dv}{dt} = \frac{-4\pi^2 A_0}{T_0^2} \cos \frac{2\pi t}{T_0} = -\frac{4\pi^2 a_0}{T_0^2}$$

$$E = \frac{1}{2} \rho v_0^2 T_0^{-1} \int_0^{T_0} \sin^2 \left(\frac{2\pi t}{T_0} \right) dt = 0.25 \rho v_0^2 = 0.25 \rho \left(\frac{2\pi A_0}{T_0} \right)^2 = \frac{\pi^2 \rho A_0^2}{T_0^2}$$

حال انرژی در طول یک دوره T_0 n (تعداد موج) که λ فاصله مرکز آن E_r می شود

$$E_r = 4\pi^2 \rho n \cdot \lambda \cdot E$$

$$a_0 = \frac{4\pi^2 A_0}{T_0^2} \quad \text{و} \quad \lambda = v \cdot T_0$$

herefore: $E_T = \frac{h^2 \cdot n \cdot v \cdot \rho \cdot T_0^3 \cdot a_0^2}{4\pi}$ } $\Rightarrow E_T = \frac{h^2 \cdot v \cdot \rho \cdot t_0 \cdot T_0^2 \cdot a_0^2}{4\pi}$

length of the pulse $t_0 = n T_0$

$$\Rightarrow \log E_T = 2 \log h + \log t_0 + 2 \log T_0 + 2 \log a_0 + \log \frac{v \cdot \rho}{4\pi}$$

\downarrow ergs \downarrow cm \downarrow s \downarrow s \downarrow cm/s² \downarrow cm/s \downarrow gm/cc

$$\log E_T = K_1 + K_2 M - K_3 M^2$$

رابطه تجربی (مجهول به این صورت است)

C Gutenberg & Richter (1965) مقدار ضریب را در $\log E_T$ برابر با 1.8 می‌دانند:

$$K_1 = 9.4$$

$$K_2 = 2.14$$

$$K_3 = 0.054$$

$$\log E_T = 5.8 + 2.4 M_B$$

$$\log E_T = K_1 + 1.8 M_S \quad \text{where } K_1 = 9 \text{ to } 12$$

$$\text{if } M=0 \Rightarrow E \approx 10^5 \text{ ergs}$$

$$\text{if } M=8 \Rightarrow E \approx 10^{25} \text{ "}$$

حدهم از انرژی بزرگ، انرژی را 10^{25} برابر می‌کنند

$$1 \text{ erg} = 1 \text{ dyne} \times 1 \text{ cm}$$

$$1 \text{ dyne} = 1 \text{ gram} \times 1 \frac{\text{cm}}{\text{s}^2}$$

5. Stress Drop & Seismic Moment

اگر کسی دو تجارت زلزلہ کو دیکھیں تو ان کے درمیان باہر بڑی نسبت میں فرق ہے۔

بلکہ کچھ بلڈنگ :
 ۱- سطح اولیہ تنس
 ۲- باہر کا Source

معمولاً جوہر "لفتن" کے ذریعہ طور پر تھوڑا سا فرقانی بلڈنگ انت (پہلے سے نوٹ کیا گیا)

$$\text{Seismic Moment} = M_0 = \mu \cdot A \cdot \bar{\Delta} f$$

Fault Area \rightarrow A
 shear coefficient \rightarrow μ
 average slip between the two sides at the fault \rightarrow $\bar{\Delta} f$

فرق آگے لیتے تو تمام اہم چیزیں
 بلڈنگ نیوں اگلی اہم چیزیں

$\log_{10} M_0 = 19.9 + M_3$ (Empirical)

$\bar{\sigma}$ = average shear stress on the fault = $\mu \cdot \frac{E_p}{M_0}$ or $\bar{\sigma}_{app} = \frac{M \cdot E}{\eta \cdot M_0}$
 total available strain energy \rightarrow $M \cdot E$
 Seismic Energy \rightarrow $M \cdot E$
 conversion efficiency (0.1% to 1%)

M_L or M_b	→ for magn. between 3 and 7
	→ " 5 and 7.5
M_s	→ for all
M_w	→ for all

بفریڈا ٹوف ویکی سارو سزائی تھان بلڈنگ ذیلی بلڈنگ نمونہ:

(up to 10,000 bars) stress level -
 stress drop -
 fault length

dyn-cm \rightarrow
 $M_w = \frac{\log M_0}{1.5} - 10.7$

Magnitude and Fault Rupture length

Empirical Relationship (California & Nevada), Tocher, 1958

$$\log L = 1.02M - 5.77$$

↓
Km

King & Knopoff (1968): $\log L D^2 = 1.90M - 2.65$

D: fault offset (cm)

M	Offset Km	SSF	RF	N.F	انحراف	مگنیتوڈ
5.5	5-10	$\log D = -3.09 + 0.481Ms$ $\log L = -4.1 + 0.804 Ms$	$\log L = 1.96 + 0.497 Ms$	$\log D = -7.51 + 1.109 Ms$		
6	10-15					
6.5	15-30					
7	30-60					
7.5	60-100					
8.0	100-200					
8.5	200-300					

L: طول گسٹ (میٹر)

D: جھریں قائم (میٹر)

- ایران در سمت میانه کمربند کوخاکی آلب - میان واقع شده است .

- صمیمی مرز آن در حالت حرکت بزرگتر منتهی ایران است (فرد)

- صمیمی این دو خط منتهی به زیر منطقه خراسان می رود .

۱- امتداد ناحیه زلزلی ← شمال غرب - جنوب شرق	} - در تمام ایران آلب روند آلی - جنوبی دارند .
۲- امتداد الزلزلی ← شمال شرق - جنوب غرب	

- ایران از شمال ← همه اداسیا

از شرق ← صمیمی هند

از غرب ← صمیمی آنتولیا

معاينه شده است . و در صمیمی مرز آن یک فشرده و همگن تر شدن آن می رود .

- امپریز ایران پایه در ناحیه تنگه

۱- حلال ایران (Iranian Crescent) : خطی که از دریای مازان شروع شده از البرز

گذشته و در شمال خراسان می رسد . آنگاه به سمت جنوب رفته و از شرق کوخاکی

شمال استیون ادامه می یابد .

انرژیالها در اینتر مانتو بونینز زهره ، فردوسی ، دلت بیلی ، سپس در فصل در لقا و صمیمی حلال

۲- محارض نوامی زلزلی و امتداد آن به لاریک که در امتداد آن در کوه البرز و کوه های

کوه اینهمه در کوه وجود منوره و در آنجا یک رخمی در این منطقه است .

زلزله‌ها محکم جدول ایران

۱۳۴۱	بوئین زوجه	۷،۴	۱۳۷۸	سیدوه	۷،۴
۱۳۴۷	رشت بیاض	۷،۴	۱۳۴۶	قاسم بیج	۷،۲
۱۳۴۷	فردوس	۹،۴	۱۳۲۷	کاوند	۷،۷
۱۳۴۷	بلین	۷،۴	۱۳۵۱	قره‌کازینه درفاری	۷،۱
۱۳۵۸	گانت	۷،۱ و ۶،۷	۱۳۵۶	سرخون زکال بندر عباس	۷
۱۳۶۹	میخیل	۷،۴	۱۳۸۴	زیندر (کرفان)	۹،۴
۱۳۸۲	م	۶،۵			
۱۳۸۴	فردوز، بیدکج	۹،۳			

زلزله‌ها محکم زانگرا

۱۳۷۸	سیدوه	۷،۴
۱۳۴۶	قاسم بیج	۷،۲
۱۳۲۷	کاوند	۷،۷
۱۳۵۱	قره‌کازینه درفاری	۷،۱
۱۳۵۶	سرخون زکال بندر عباس	۷
۱۳۸۴	زیندر (کرفان)	۹،۴

زلزله‌ها غیر محکم ایران

۴۰۰ B.C.	۷،۶	تمل بیج
۱۲۲ خورسید	۷،۲	ری
۲۳۴	۷،۱	ری
۲۴۲	۵،۴	کج
۳۳۷	۷،۷	ری
۵۵۶	۷،۲	ری
۱۰۴۴	۹،۵	دماوند
۱۲۰۹	۷،۱	دماوند شیران
۱۳۵۲	۵	درابند

گدسب
ری
گرماب
ری
شمال تهران
ماد و گال تهران
شمال تهران
ماد

ماد ← مقاله با دوره‌های زلزله‌شناسی ایران
ماد تهران که حدود ۱۶۰ سال است

تغیر جمع کرنی دیا جائے تو یہ تناسب دینے والا ہے۔ $10^{1.0}$ 3×10^4 $\sqrt{\frac{R}{L}}$ $10^{0.8}$

امریکی براہ راست زلزلے کے لیے $M = 1.7 + 0.4 \log \left(L^{1.58} R^2 \right)$ 0.4 $\frac{mm}{year}$ 0.4 0.4 0.4

۱۷ البرز

۱۵ سرقازان

$$\log N = 6.88 - 0.86M$$

امریکی براہ راست زلزلے کے لیے ۱۹۰۰ تا ۱۹۷۹

$$M = 1.7 + 0.4 \log \left(L^{1.58} R^2 \right)$$

امریکی کے لیے

↓ L طول (cm)
 ↓ R جابجائی (cm)
 10^{-5} \times 10^{-5} \times 10^{-5}

$$\Rightarrow \log L = 0.7M - 3.24$$

e.g. البرز $\rightarrow L = 200 \Rightarrow M = 7.9$

سرقازان $\rightarrow L = 150 \Rightarrow M = 7.7$

زلزلے $\rightarrow L = 50 \Rightarrow M = 7.1$

مسائل حرکت

- یکین شکل یک سیستم ساده ترین حالت در توان بعد از این مانند در درجه اول می شود:
- چون هم شکل در یک هم زمان است، هر دو انتگرال است که این را در این شکل می توانیم ببینیم.



منبع حرارتی - یکین شکل در یک هم زمان است.

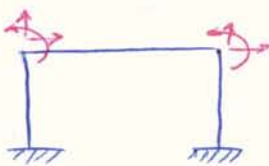
اگر این مانند در درجه اول است، یعنی اولی $u(t)$ قرار دهیم فراموش نکنیم:



ولی در یک این زمان که برای هر یک از این شکل برابر بود در سازه می آید. بنابراین: **پدیده خاص تریکی دانسته می شود و این را می توانیم بنویسیم**

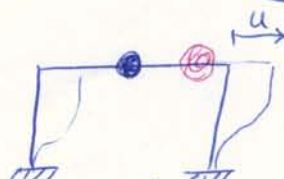
* تعداد مولفه های مستقل تغییراتی لازم برای توصیف وضعیت تغییراتی تمام جرم ها نیست. وضعیت اولیه شان، تعداد درجه آزادی (DOF) در یک سازه همیشه کم است.

تعداد درجه آزادی در یک سازه معمولاً از تعداد درجه آزادی سازه کمتر است.



کدام درجه آزادی است

درجه آزادی در یک سازه

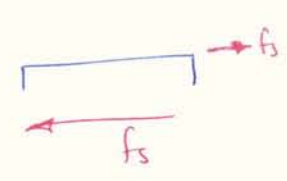
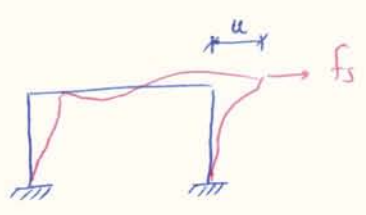


درجه آزادی در یک سازه

$P(t)$

برهانه‌ها در این معادله هم برداشته شده
حرکت موقت

$\bar{u}_g(t)$

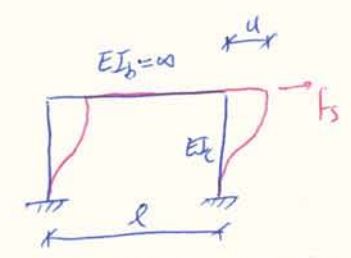


حالت آسان‌تر قاب تحت نیروی f_s قرار می‌گیرد:

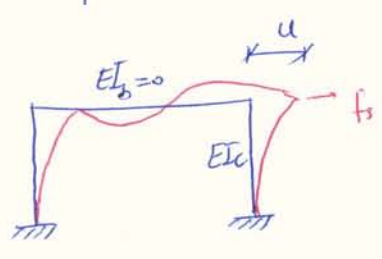
$f_s = ku$

در سیستم الاستیک خطی:

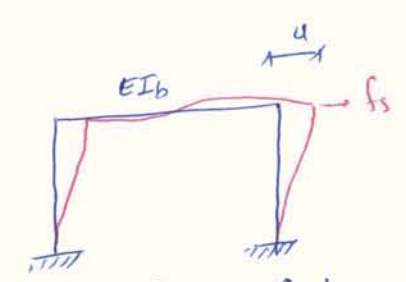
صلبیت نسبی (مقاومت)؛ نیروی لازم برای ایجاد تغییرشکل u برابر در است.



$k = \sum \frac{12EI_c}{l^3} = 24 \frac{EI_c}{h^3}$



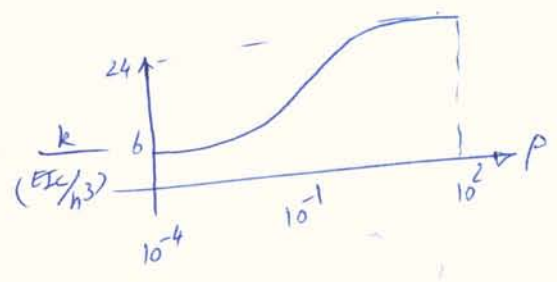
$k = \sum \frac{3EI_c}{h^3} = 6 \frac{EI_c}{h^3}$



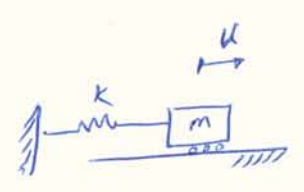
$k = \frac{24EI_c}{h^3} \times \frac{12P+1}{12P+4}$

که از نظر شکل‌ها که در شکل‌ها دیده می‌شود

$P = \frac{I_b}{4I_c}$

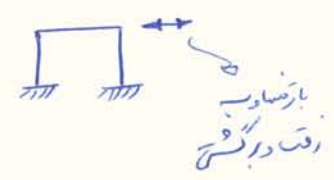
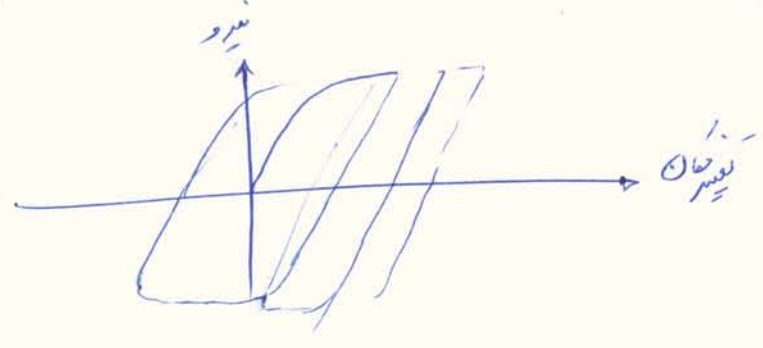


تغییرات P از صفر تا بی‌نهایت، صلبیت نسبی را برابر می‌کند.



سیستم صلب را نسبت به زلزله هم می‌توان مدل نمود:

سیستم‌های غیر الاستیک :



برای جهت آوردن نمودار فوق
 روی مبداء (محل فرکانس)
 روی عمود (از راسته صاف)

Prof. Wilson :

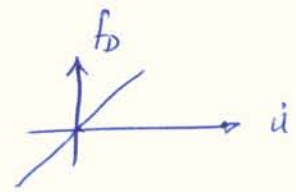
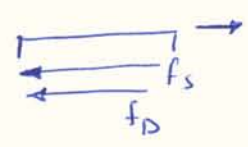
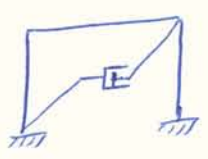
Linear viscous damping is a property of the computational model and is not a property of a real structure.

تبدیلی :

مقتضای این امر، در صورت لزوم، دامن، پدیده‌ها و سایر اجزای آن‌ها از نظر ماده الاستیک تکرار می‌شود.

- بازدهی شدن ترک‌ها و شکست‌ها (در بتن)
- اصطکاک بین عناصر سازه (مثلاً در مفاصل)

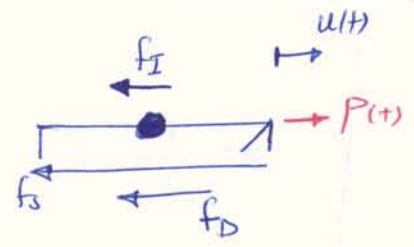
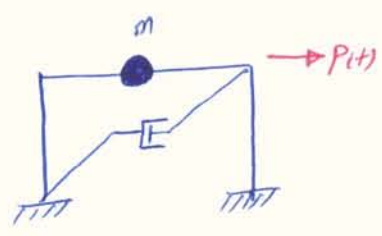
اغلب این امر برای ترسیم میراث خط لزجی (دیسکورد) یا کمپوز مدل‌ها مورد استفاده قرار می‌گیرد.



$$f_D = c \dot{u}$$

فرض الاستیک

که فرسودگی برای لزجی
 زمان \times تغییر طول



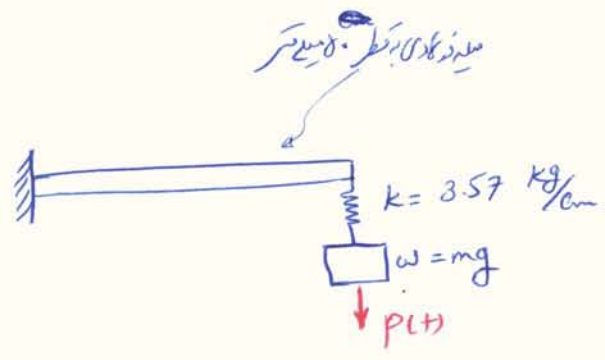
معادله حرکت دینامیک
برای تئوری تامل دینامیک

معادله 8 بر حسب نیروها و لغزش این نیروها را در کویب می‌گذارد
سیخ خط

$$f_I + f_D + f_s = P(t) \Rightarrow \begin{cases} m\ddot{u} + c\dot{u} + ku = P(t) \\ m\ddot{u} + c\dot{u} + f_s(u, \dot{u}) = P(t) \end{cases}$$

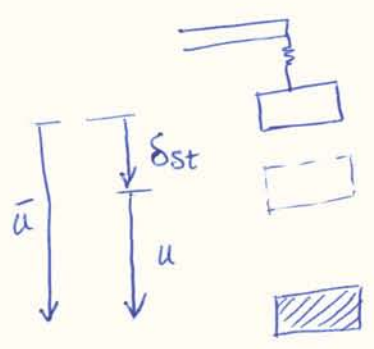
سیخ خط

* مثال 1.2 کتاب مطالعه شود *

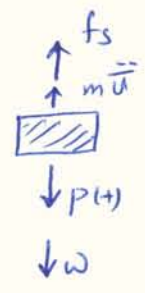


مثال 1.3

- از جمله نیروها و فرقی بین اینها
 $E = 2 \times 10^6 \frac{kg}{cm^2}$



وضعیت لغزش شکل نهایی
تامل استاتیکی



تامل دینامیک \Rightarrow

$$\left. \begin{aligned} m\ddot{u} + f_s &= \omega + P(t) \\ f_s &= k e \bar{u} \\ \bar{u} &= \delta_{st} + u \\ \ddot{\bar{u}} &= \ddot{u} \\ k e \delta_{st} &= \omega \end{aligned} \right\} \Rightarrow m\ddot{u} + k e u = P(t)$$

معادله را با توجه به تامل دینامیک می‌توان به وضعیت تامل استاتیکی صورت می‌پذیرد. (تک تا این زمان قرار می‌گیرد)

$$f_s = k_e \bar{u}$$

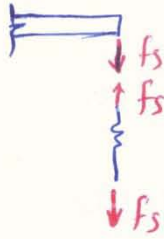
$$\bar{u} = \delta_{\text{spring}} + \delta_{\text{beam}}$$

$$f_s = k \delta_{\text{spring}} = k_{\text{beam}} \delta_{\text{beam}}$$

درد به نسبت مستقیم است

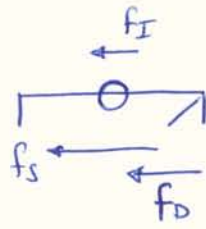
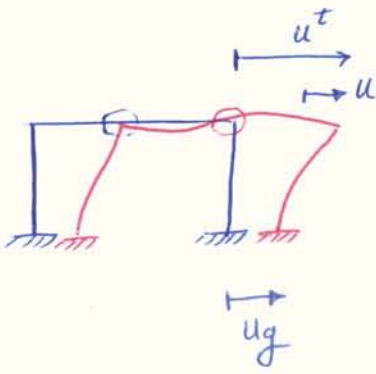
$$\Rightarrow \frac{f_s}{k_e} = \frac{f_s}{k} + \frac{f_s}{k_{\text{beam}}} \Rightarrow k_e = \frac{k k_{\text{beam}}}{k + k_{\text{beam}}}$$

$$k_{\text{beam}} = \frac{3EI}{L^3}$$



$$k_e = \frac{3.57 \times 6.82}{3.57 + 6.82} = 2.34 \text{ kg/cm}$$

V



معادله حرکت
برای یک سیستم (حرکت زینتی)

$$u^t(t) = u(t) + u_g(t)$$

توازن ⇒ $f_I + f_D + f_S = 0$

$f_I = m \ddot{u}^t$

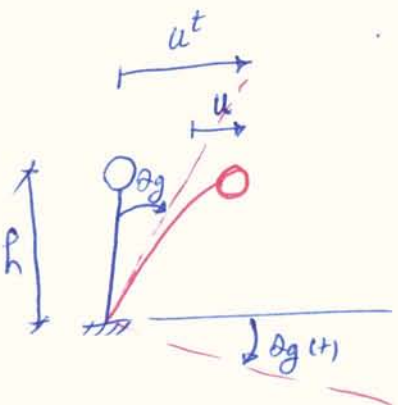
f_D, f_S که به u وابسته هستند

$$\Rightarrow m \ddot{u}^t + c \dot{u} + k u = 0 \Rightarrow \boxed{m \ddot{u} + c \dot{u} + k u = -m \ddot{u}_g(t)}$$

معادله حکم حرکت

فرض کنیم سیستم را در حالت سکون قرار دهیم و $u_g(t) = -g t^2 / 2$ را بگذاریم.
 در این صورت $P_{eff} = -m \ddot{u}_g(t)$ خواهد بود. افزایش جرم، افزایش می یابد.

حرکت زینتی دارای ۲ مولفه است: \rightarrow مولفه افقی و مولفه عمودی



این مخزن همان راکت کرمی دوران زینتی در فضا است:

$$u^t(t) = u(t) + h \theta_g(t) \Rightarrow m \ddot{u} + c \dot{u} + k u = -m h \ddot{\theta}_g(t)$$

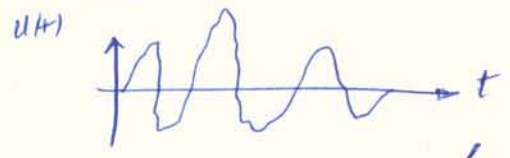
$$\Rightarrow P_{eff}(t) = -m h \ddot{\theta}_g(t)$$

فصل 1.4 مطالعه شود

ماده ای در این جهت حل شده در این حرکت است

$u(t)$ دیتا فواید که اصطلاحاً به آن تاریخچه یا تاریخچه حرکت می‌گویند

توجه شود که برای مدل‌های فیزیکی حرکت دینامیکی،
ساده‌ترین

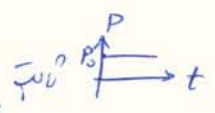


برای آنکه $u(t)$ در توان کمی یا کمی را نظریه‌پرداز نشود ... به زبان ساده

سیستم خطی → در توان از دینامیک است (همچون جرم)

توجه کنید، این سیستم را به سیستم فیزیکی اولی در مکتب دینامیک می‌گویند

خطی → حل بسته (closed form solution) → استقرالی و فصل
نرخ خطی → نمی‌تواند



$$m\ddot{u} + ku = P_0$$

فصل 1.5

$$u(t) = u_c(t) + u_p(t)$$

$$u_c(t) = A \cos \omega t + B \sin \omega t, \quad \omega_n = \sqrt{\frac{k}{m}}$$

$$u_p(t) = \frac{P_0}{k}$$

if $u(0) = 0$
 $\dot{u}(0) = 0 \Rightarrow A = -\frac{P_0}{k}, B = 0 \Rightarrow u(t) = \frac{P_0}{k} (1 - \cos \omega t)$

$$u = A \cos \omega t + B \sin \omega t, \quad m\ddot{u} + ku = 0$$

$$\dot{u} = -A\omega \sin \omega t + B\omega \cos \omega t$$

$$\ddot{u} = -A\omega^2 \cos \omega t - B\omega^2 \sin \omega t$$

$$\Rightarrow -mA\omega^2 \cos \omega t - mB\omega^2 \sin \omega t + kA \cos \omega t + kB \sin \omega t = 0$$

$$\Rightarrow (k - m\omega^2) (A \cos \omega t + B \sin \omega t) = 0 \Rightarrow k - m\omega^2 = 0 \Rightarrow \omega = \sqrt{\frac{k}{m}}$$

$$\Rightarrow \omega_n = \sqrt{\frac{k}{m}}$$

مسائل ریاضی از فصل اول جدول

۱-۱ ۵ ۳-۱

۶-۱

۱۲-۱



تبدیل زینتی $\Rightarrow m\ddot{u} + ku = 0$

سیستم SDOF ارتعاشی آزاد *

$u(0)$
 $\dot{u}(0)$ * شرط اولیه

$u = e^{st}$

$(ms^2 + k)e^{st} = 0 \Rightarrow ms^2 + k = 0 \Rightarrow s = \pm i\omega_n$

$\omega_n = \sqrt{k/m}$

$u(t) = A_1 e^{i\omega_n t} + A_2 e^{-i\omega_n t}$

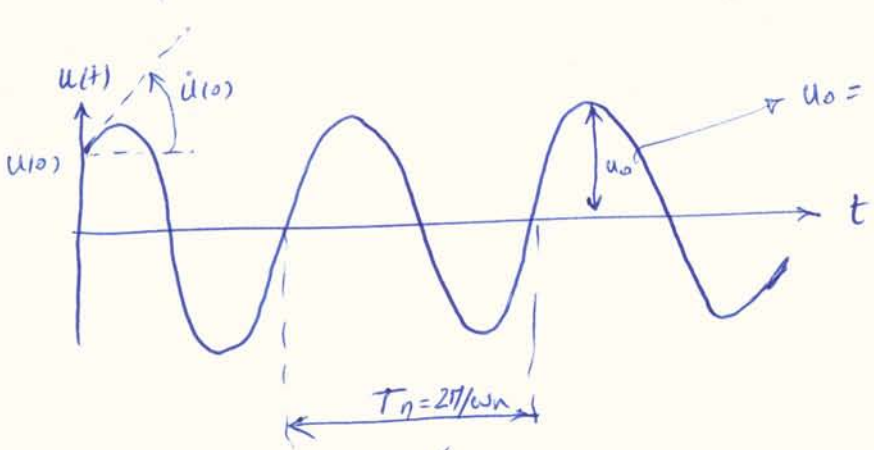
$e^{i\theta} = \cos\theta + i\sin\theta$ رابطه ادریس

$u(t) = \underbrace{(A_1 + A_2)}_A \cos\omega_n t + \underbrace{(A_1 - A_2)i}_B \sin\omega_n t = A \cos\omega_n t + B \sin\omega_n t$

$\dot{u}(t) = -\omega_n A \sin\omega_n t + \omega_n B \cos\omega_n t$

اعمال شرط اولیه $\Rightarrow A = u(0), B = \frac{\dot{u}(0)}{\omega_n}$

$u(t) = u(0) \cos\omega_n t + \frac{\dot{u}(0)}{\omega_n} \sin\omega_n t$



$u_0 = \left[u(0)^2 + \left(\frac{\dot{u}(0)}{\omega_n} \right)^2 \right]^{1/2}$

$u(t_1) = u(t_1 + \frac{2\pi}{\omega_n})$ تکرار

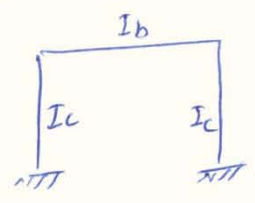
$\dot{u}(t_1) = \dot{u}(t_1 + \frac{2\pi}{\omega_n})$

همواره در یک تکرار، هر دو مقدار در یک لحظه و در یک مکان است.

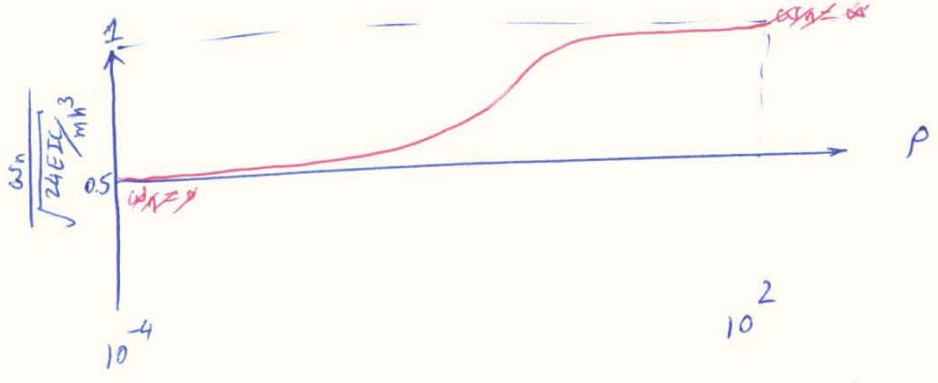
$$T_n = 2\pi \sqrt{\frac{m}{k}} = 2\pi \sqrt{\frac{m g}{\delta_{st} k}} = 2\pi \sqrt{\frac{\delta_{st}}{g}}$$

تفسیر: δ_{st} است ایستاده
که از فرکانس k در g است

$$\omega_n = \sqrt{\frac{k}{m}}$$



$$k = \frac{24EI_c}{h^3} \times \frac{12P+1}{12P+4}, \quad P = \frac{I_b}{4I_c}$$



$$(\omega_n)_{P=\infty} = \sqrt{\frac{24EI_c}{mh^3}}$$

$$(\omega_n)_{P=0} = \sqrt{\frac{6EI_c}{mh^3}}$$

مسئله ۱-۲
۲-۲
۳-۲
مطالعه شود

$$m\ddot{u} + c\dot{u} + ku = 0$$

ارتباطی از فرکانس

$$\ddot{u} + \underbrace{\frac{c}{m}}_{2\zeta\omega_n} \dot{u} + \underbrace{\frac{k}{m}}_{\omega_n^2} u = 0 \Rightarrow \ddot{u} + 2\zeta\omega_n \dot{u} + \omega_n^2 u = 0$$

$$\zeta = \frac{c}{2m\omega_n} = \frac{c}{c_{cr}}$$

$$c_{cr} = 2m\omega_n = 2\sqrt{km} = \frac{2k}{\omega_n}$$

$$u = e^{st} \Rightarrow \dots s^2 + 2\zeta\omega_n s + \omega_n^2 = 0$$

$$\Rightarrow s = \omega_n(-\zeta \pm i\sqrt{1-\zeta^2})$$

$$\Rightarrow u(t) = e^{-\zeta\omega_n t} (A \cos \omega_D t + B \sin \omega_D t)$$

$$\omega_D = \omega_n \sqrt{1-\zeta^2}$$

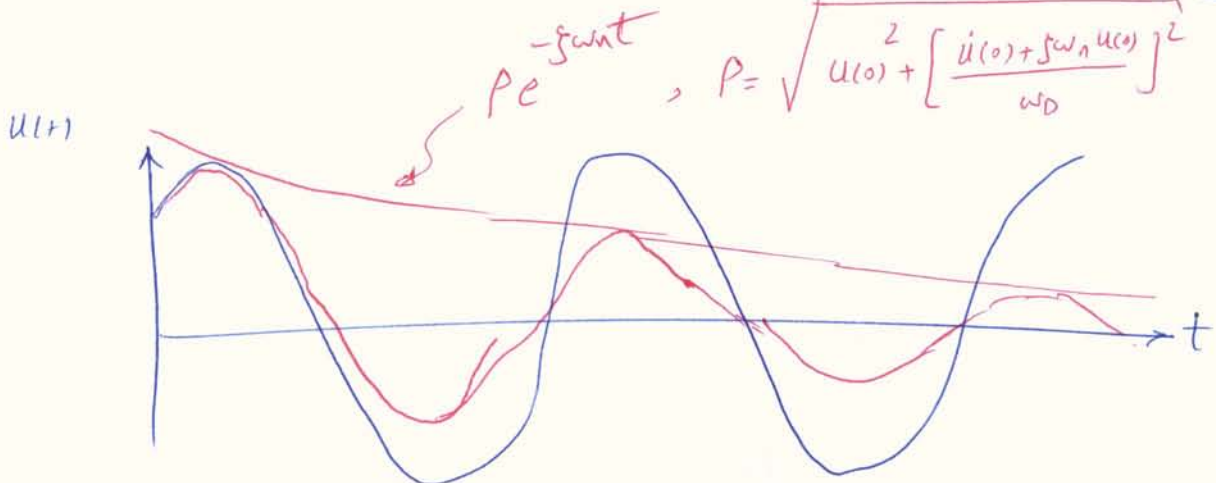
$$\text{شرایط اولیه} \Rightarrow A = u(0), B = \frac{\dot{u}(0) + \zeta\omega_n u(0)}{\omega_D}$$

$$\Rightarrow u(t) = e^{-\zeta\omega_n t} \left[u(0) \cos \omega_D t + \left(\frac{\dot{u}(0) + \zeta\omega_n u(0)}{\omega_D} \right) \sin \omega_D t \right]$$

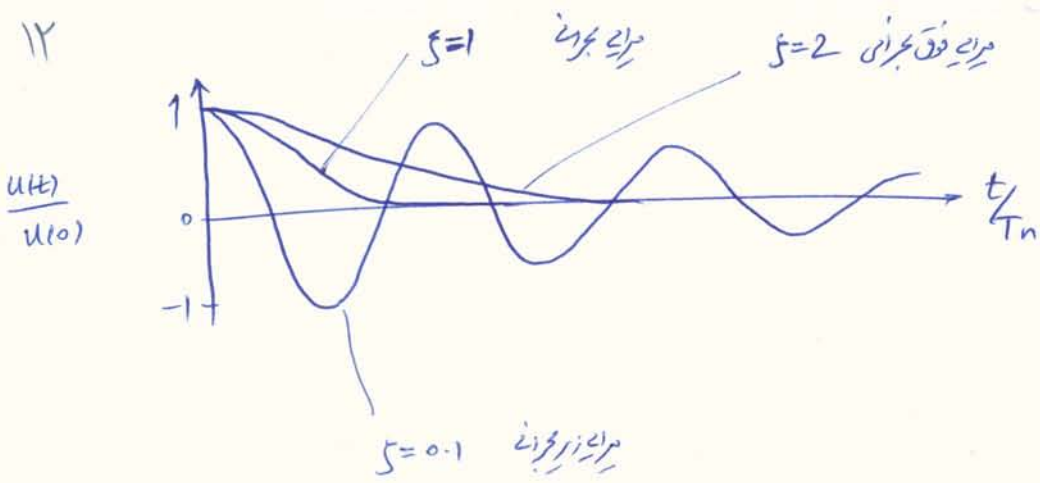
* اگر $\zeta = 0$ فرکانس خود به رابطه ارتعاشی از فرکانس (سخت خاص)



* هر چه ζ بیشتر باشد، نوسان کمتر و فرکانس کمتر شود



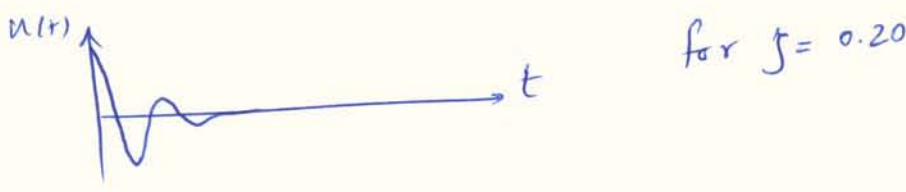
$$T_D = \frac{T_n}{\sqrt{1-\zeta^2}}$$



در حقیقت ζ متغیر است (متغیر $\zeta = 1$ و $\zeta = 2$) زمان بیشتری طول می کشد تا از $u(0)$ به صفر برسد.

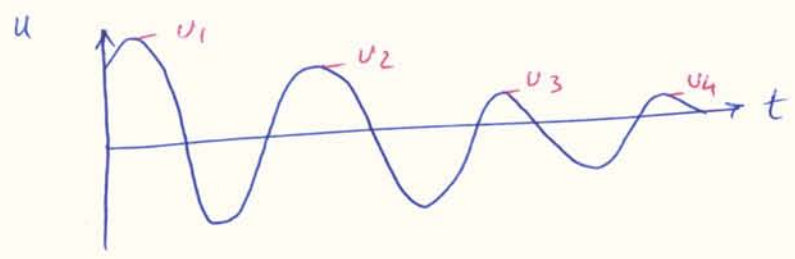
متغیر ζ در محیط رودخانه و غیره! (ارتداد صورت غلیظ می شود)

مقدار ζ برای سازه ها معادف بین ۰ تا ۰.۲۰ در حد ۱۰۰ تا ۲۰۰ درصد است. در این تفاوت T_D و T_n به هم نزدیکند.

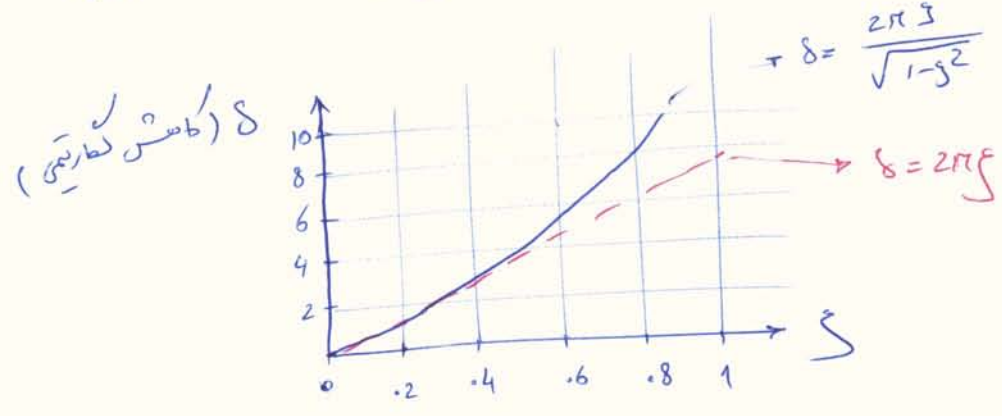


حالیست که نسبت تغییرات در زمان t به تغییرات در زمان $t+T_D$ (یک دوره ارتعاش کامل) مستقل از زمان t است.

$$\frac{u(t)}{u(t+T_D)} = \dots = e^{\int \omega_n T_D} = \exp\left(\frac{2\pi\xi}{\sqrt{1-\xi^2}}\right)$$



$$\Rightarrow \frac{u_i}{u_{i+1}} = \exp\left(\frac{2\pi\xi}{\sqrt{1-\xi^2}}\right) \Rightarrow \delta = \ln \frac{u_i}{u_{i+1}} = \frac{2\pi\xi}{\sqrt{1-\xi^2}}$$



برای مقادیر کم ξ $\sqrt{1-\xi^2} \approx 1$ است.

اگر میرای ضعیف باشد (اگر نوسان) جهات بجای اندازه گیری دورانه نبرد، چند دامنه در نظر گرفته شود.

$$\frac{u_1}{u_{j+1}} = \underbrace{\frac{u_1}{u_2}}_{e^\delta} \times \underbrace{\frac{u_2}{u_3}}_{e^\delta} \times \underbrace{\frac{u_3}{u_4}}_{e^\delta} \times \dots \times \underbrace{\frac{u_j}{u_{j+1}}}_{e^\delta} = e^{j\delta} \Rightarrow \delta = \frac{1}{j} \ln \frac{u_1}{u_{j+1}}$$

$\delta = 2\pi\xi$

$$2\pi\xi = \frac{1}{j} \ln \frac{u_1}{u_{j+1}}$$

آزادی ازاد

کتابه می برای سردهها و اتعی امان و غیره

$$J = \frac{1}{2\pi j} \ln \frac{u_i}{u_{i+j}}$$

$$= J = \frac{1}{2\pi j} \ln \frac{\bar{u}_i}{\bar{u}_{i+j}}$$

ساده
در این سردهها با هم قابل است
عبارت چون اندازه گیری است - آسان تر است

محل ۱-۲

۲-۲

طرح کنید

* قبل نیویسی نوسان دورانی تا قبل از رسیدن به دورانی

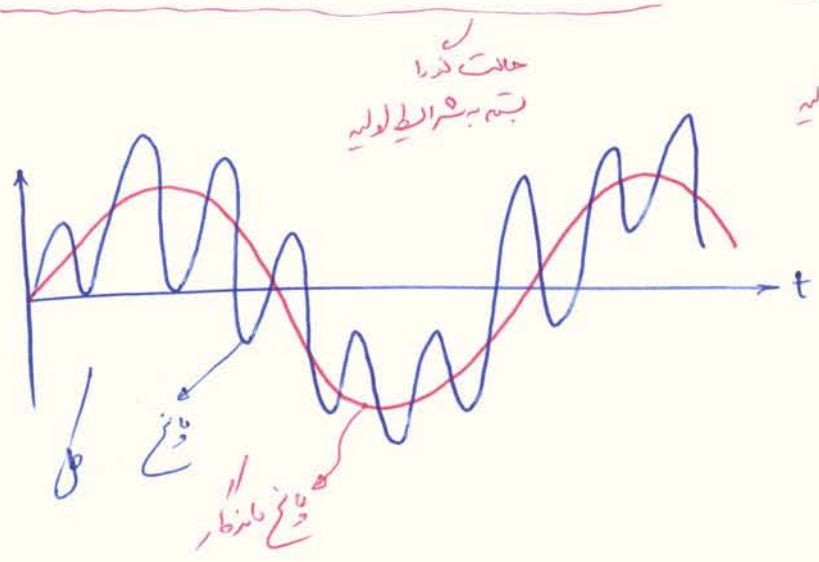
$m\ddot{u} + ku = P_0 \sin \omega t$

شرایط اولیه
 $u = u(0), \dot{u} = \dot{u}(0)$

$u = u_c(t) + u_p(t) \rightarrow C \sin \omega t = \frac{P_0}{k} \frac{1}{1 - (\frac{\omega}{\omega_n})^2} \sin \omega t, \omega \neq \omega_n$

$A \cos \omega_n t + B \sin \omega_n t$

$u(t) = u(0) \cos \omega_n t + \left[\frac{\dot{u}(0)}{\omega_n} - \frac{P_0}{k} \frac{\omega/\omega_n}{1 - (\omega/\omega_n)^2} \right] \sin \omega_n t + \left(\frac{P_0}{k} \right) \frac{1}{1 - (\omega/\omega_n)^2} \sin \omega t$



حالت پایدار
به سمت نیروی وارد شده و متناسب از شرایط اولیه

* نکته: اگر $u(0) = 0, \dot{u}(0) = 0$ نیز ارتعاش گذرا وجود خواهد داشت.

* در عمل میزین به مدت هر دو در لرزش گذرا و بعد از رسیدن به حالت پایدار. هر چه نسبت به میانگ سازده بیشتر باشد.

$u(t) = \frac{P_0}{k} \frac{1}{1 - (\frac{\omega}{\omega_n})^2} \sin \omega t = (u_{st})_0 \frac{1}{1 - (\frac{\omega}{\omega_n})^2} \sin \omega t$

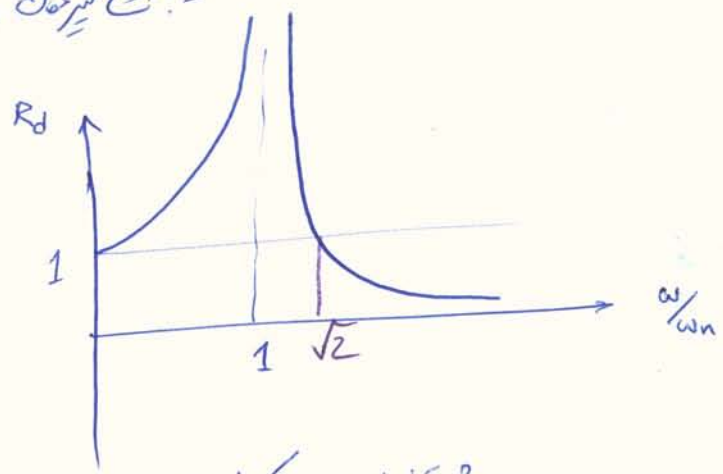
if $\omega < \omega_n \Rightarrow \frac{1}{1 - (\frac{\omega}{\omega_n})^2} > 0 \Rightarrow$ صورت مثبت است \Rightarrow در تندی به سمت راست بزرگتر از تندی است

if $\omega > \omega_n \Rightarrow \dots$ \Rightarrow سمت چپ است \Rightarrow ...

$$u(t) = \frac{P_0}{K} \frac{1}{1 - (\frac{\omega}{\omega_n})^2} \sin \omega t = (u_{st})_0 R_d \sin(\omega t - \phi)$$

where $R_d = \frac{1}{|1 - (\frac{\omega}{\omega_n})^2|}$ $\phi = \begin{cases} 0^\circ & \omega < \omega_n \\ 180^\circ & \omega > \omega_n \end{cases}$

$\frac{u_0}{(u_{st})_0} =$ که فریب می یابد تغییر شکل = نسبت حداکثر دامنه زلزله به استاتیکی



if $\frac{\omega}{\omega_n} \ll 1 \Rightarrow R_d \approx 1 \Rightarrow$ لرزه ها با لرزه های استاتیکی تفاوت زیادی ندارند.

if $\frac{\omega}{\omega_n} > \sqrt{2} \Rightarrow R_d < 1 \Rightarrow$ دامنه تغییر شکل زلزله کمتر از استاتیکی است.

if $\frac{\omega}{\omega_n} \rightarrow \infty \Rightarrow$ دامنه نوسان بسیار کوچک است (برابر لرزه های استاتیکی یا کمتر از آن).

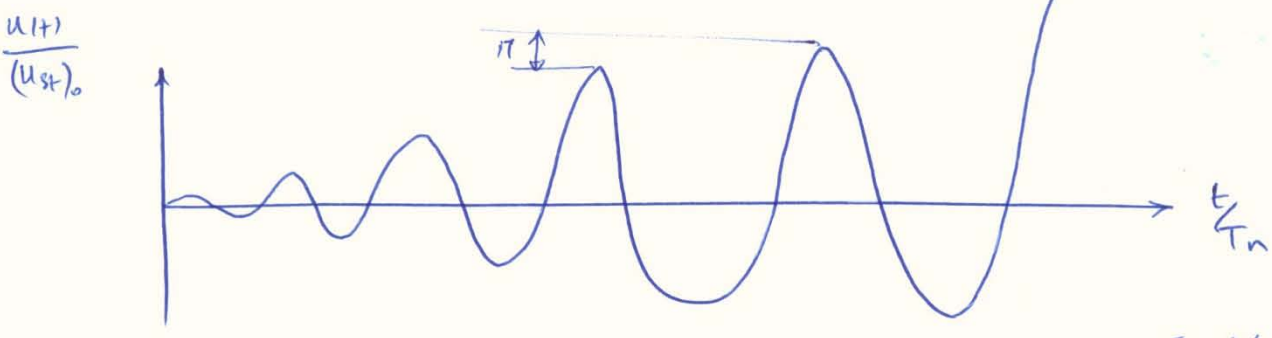
if $\frac{\omega}{\omega_n} \rightarrow 1 \Rightarrow R_d$ زیاد می شود.

بدره نکرده

if $\omega = \omega_n \Rightarrow$

حل می‌دهد در این صورت که $\omega = \omega_n$ در این حالت خاص
 خرابی را حل نمی‌کند.

$u_p(t) = \frac{-P_0}{2k} \omega_n t \cos \omega_n t$ & if $u(0) = 0$
 $\dot{u}(0) = 0 \Rightarrow u(t) = \frac{-1}{2} \left(\frac{P_0}{k} \right) (\omega_n t \cos \omega_n t - \sin \omega_n t)$
 $(u_{st})_0$



$\omega \neq \omega_n$

این تغییر در دامنه نوسان است.
 در کل با افزایش دامنه
 در سیستم ترد به ترد \leftarrow در این مورد
 در سیستم نرم به نرم \leftarrow در این مورد

$$m\ddot{u} + c\dot{u} + ku = P_0 \sin \omega t, \quad u = u(0), \quad \dot{u} = \dot{u}(0)$$

ارتقاء حادترین به برای لزج

$$u = u_p(t) + u_c(t) \rightarrow e^{-\zeta \omega_n t} (A \cos \omega_n t + B \sin \omega_n t)$$

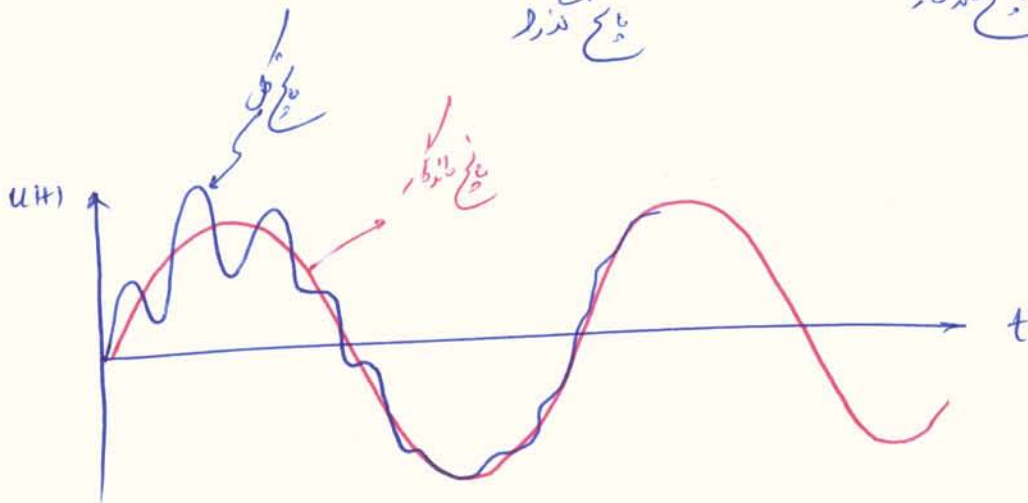
لذا $e^{-\zeta \omega_n t}$ سوه تا به این رسیدیم

$$C \sin \omega t + D \cos \omega t$$

$$C = \frac{P_0}{K} \frac{1 - \left(\frac{\omega}{\omega_n}\right)^2}{\left[1 - \left(\frac{\omega}{\omega_n}\right)^2\right]^2 + \left[2\zeta \frac{\omega}{\omega_n}\right]^2}$$

$$D = \frac{P_0}{K} \frac{-2\zeta \frac{\omega}{\omega_n}}{\left[1 - \left(\frac{\omega}{\omega_n}\right)^2\right]^2 + \left[2\zeta \frac{\omega}{\omega_n}\right]^2}$$

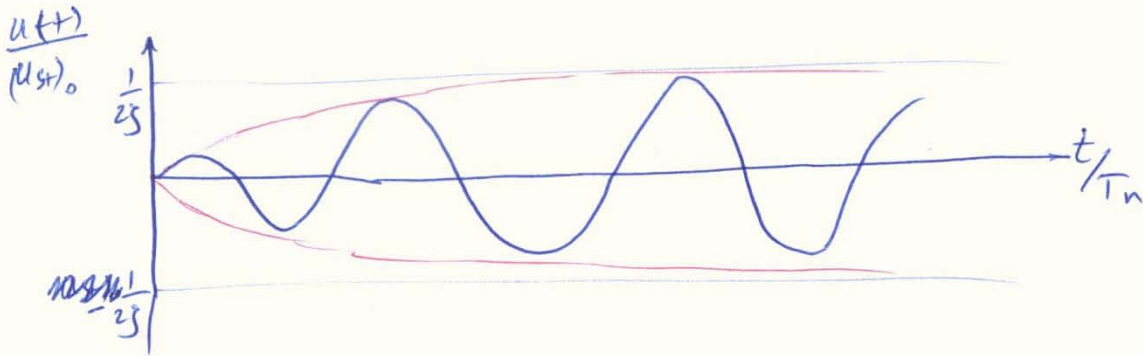
$$\Rightarrow u(t) = \underbrace{e^{-\zeta \omega_n t} (A \cos \omega_n t + B \sin \omega_n t)}_{\text{پایه گذر}} + \underbrace{C \sin \omega t + D \cos \omega t}_{\text{پایه ماندگار}}$$



* پایه گذر اصلن دارد قبل از آنکه سیستم به حالت ماندگار برسد، آن زمانه

9

if $\omega = \omega_n$ $\xrightarrow{\text{D, C, B, A}}$ $u(t) = (u_{st})_0 \cdot \frac{1}{2\zeta} \left[e^{-\zeta\omega_n t} \left(C_1 \omega_n t + \frac{\zeta}{\sqrt{1-\zeta^2}} \sin \omega_n t \right) - C_2 \omega_n t \right]$



$$u_0 = \frac{(u_{st})_0}{2\zeta}$$

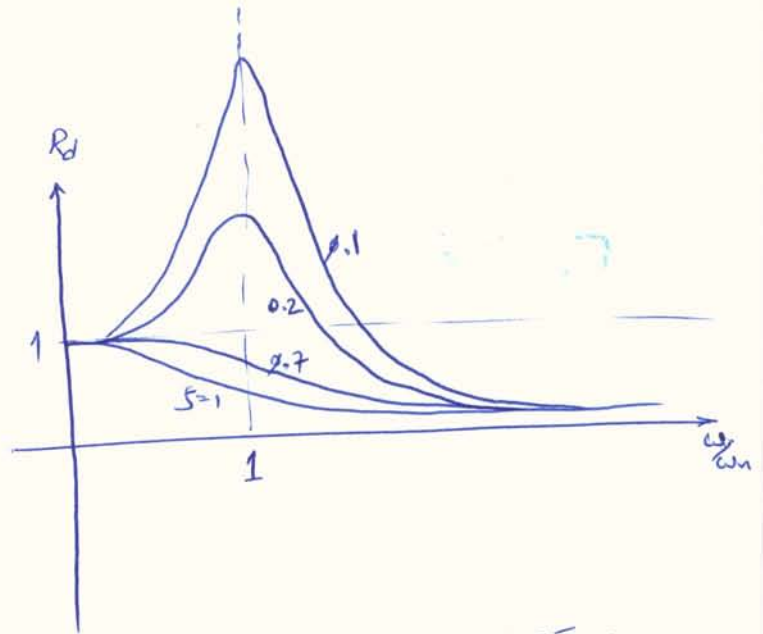
مبدأی باعث می شود که حد اکثر دامنه در تدریج محدود شود :

$$\text{if } \zeta = 0.05 \Rightarrow u_0 = 10 (u_{st})_0$$

$$u(t) = \frac{F_0}{K} K_d \sin(\omega t - \phi) \quad \phi = \tan^{-1}\left(\frac{\omega}{\omega_n}\right)$$

ماتریس فریب، تغییر شکل را می‌نویسیم.

$$R_d = \frac{u_0}{(u_{st})_0} = \frac{1}{\sqrt{\left[1 - \left(\frac{\omega}{\omega_n}\right)^2\right]^2 + \left[2\zeta \frac{\omega}{\omega_n}\right]^2}}$$



if $\frac{\omega}{\omega_n} \ll 1 \Rightarrow$ حتمی که تغییرات نبرد را ملازم $R_d \approx 1.0?$ ، مستقل از میرایی است
یعنی در تغییرات دینامیک تقریباً برابر است با تغییرات استاتاتیکی و در وسط سطح سیستم کشش می‌گردد.

if $\frac{\omega}{\omega_n} \gg 1 \Rightarrow$ حتمی که تغییرات نبرد را ملازم $R_d \rightarrow 0$ ، مستقل از میرایی است

$$\frac{u_0}{(u_{st})_0} \approx \frac{\omega_n^2}{\omega^2} = \frac{D_s K}{m \omega^2}$$

if $\frac{\omega}{\omega_n} \approx 1 \Rightarrow$ تغییر شکل دینامیک را در این محدوده میرایی بسیار مهم است $\frac{u_0}{(u_{st})_0} = \frac{1}{2\zeta}$
یعنی در سطح میرایی کشش می‌گردد.

$$\frac{u(t)}{P_0/k} = R_d \sin(\omega t - \phi) \Rightarrow \frac{\dot{u}(t)}{P_0/\sqrt{k m}} = R_v C_d(\omega t - \phi)$$

$$\frac{\dot{u}(t)}{P_0/k} = R_d \omega C_d(\omega t - \phi) \times \frac{\omega n}{\omega n} \Rightarrow \frac{\dot{u}(t)}{P_0/k} = \frac{\omega}{\omega n} R_d C_d(\omega t - \phi)$$

$$\Rightarrow \frac{\dot{u}(t)}{P_0/\sqrt{k m}} = R_v C_d(\omega t - \phi)$$

↓
فردیس سرعت

$$\Rightarrow \frac{\ddot{u}(t)}{P_0/k m} = -R_a \sin(\omega t - \phi) \quad , \quad R_a = \left(\frac{\omega}{\omega n}\right)^2 R_d$$

↓
فردیس شتاب

$$\Rightarrow \frac{R_a}{\left(\frac{\omega}{\omega n}\right)} = R_v = \frac{\omega}{\omega n} R_d$$

for $\zeta < \frac{1}{\sqrt{2}}$

$$\frac{dR_d}{d\left(\frac{\omega}{\omega n}\right)} = 0 \Rightarrow \text{فرکانس کمینه} = \omega_n \sqrt{1-2\zeta^2}$$

$$\Rightarrow \text{فرکانس کمینه} = \omega_n$$

$$\Rightarrow \text{فرکانس کمینه} = \omega_n / \sqrt{1-2\zeta^2}$$

در حالت کمینه

$$R_d = \frac{1}{2\zeta\sqrt{1-\zeta^2}}$$

$$R_v = \frac{1}{2\zeta}$$

$$R_a = \frac{1}{2\zeta\sqrt{1-\zeta^2}}$$

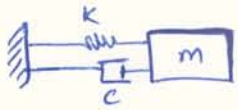
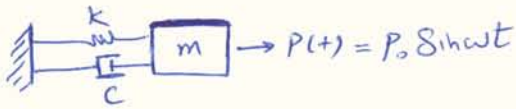
* یادآوری: برای سیستم‌های فرکانس کمینه ω_n در $\zeta < 0.2$ بود.

* نکته: برای سیستم‌های فرکانس کمینه برابر $\omega_n \sqrt{1-\zeta^2}$ است! و کمینه برای $\zeta < 0.2$ (غالباً) است. پس فرکانس کمینه در تمام سیستم‌ها برابر ω_n است.

طبیعی است که برای $\zeta < 0.2$ است.

Force Transmission and Vibration Isolation:

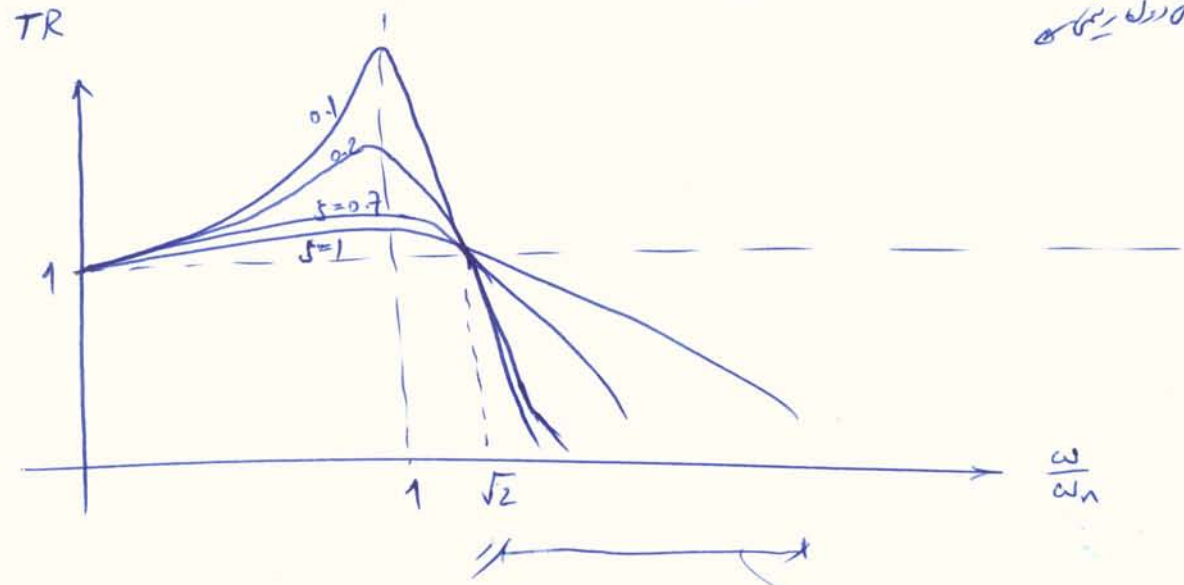
استانسیون و جداسازی ارتعاش



$$\left. \begin{aligned}
 \text{نیروی انتقال یافته} &= f_T = f_s + f_D = k u(t) + c \dot{u}(t) \\
 u(t) &= (u_{st})_0 R_d \sin(\omega t - \phi) \\
 \frac{\dot{u}(t)}{\frac{P_0}{\sqrt{km}}} &= R_r C_d \cos(\omega t - \phi)
 \end{aligned} \right\} \Rightarrow f_T = (u_{st})_0 R_d [k \sin(\omega t - \phi) + c \omega C_d \cos(\omega t - \phi)]$$

$$\left. \begin{aligned}
 \Rightarrow (f_T)_0 &= (u_{st})_0 R_d \sqrt{k^2 + c^2 \omega^2} \\
 (u_{st})_0 &= \frac{P_0}{k} \\
 \zeta &= \frac{c}{2m\omega_n}
 \end{aligned} \right\} \Rightarrow \frac{(f_T)_0}{P_0} = R_d \sqrt{1 + \left[2\zeta \frac{\omega}{\omega_n}\right]^2} \left. \begin{aligned} & \\ & R_d = \dots \end{aligned} \right\} \Rightarrow$$

$$TR = \frac{(f_T)_0}{P_0} = \left\{ \frac{1 + \left[2\zeta \frac{\omega}{\omega_n}\right]^2}{\left[1 - \left(\frac{\omega}{\omega_n}\right)^2\right]^2 + \left[2\zeta \left(\frac{\omega}{\omega_n}\right)\right]^2} \right\}^{1/2}$$



if $\frac{\omega}{\omega_n} > \sqrt{2} \Rightarrow$ ζ نسیرو انتقال یافته به مخرج می‌شود.

در این ناحیه جرم میز را می‌بینیم و بهر چه بزرگ است!

* اگر می‌توانیم در این ناحیه باشیم، او فای آن از لحظه شروع تا رسیدن به سرعت مطلوب افزایش می‌دهیم. اگر نه

این سطح می‌تواند به نرم‌تر شدن آنجا بهر چه در ω_n کم باشد و در $\frac{\omega}{\omega_n}$ زیاد است \leftarrow در این انتهای حالت ما می‌توانیم ζ نسیرو انتقال را قبل از رسیدن به

چون وقت داریم $\frac{\omega}{\omega_n} > \sqrt{2}$ باشد.

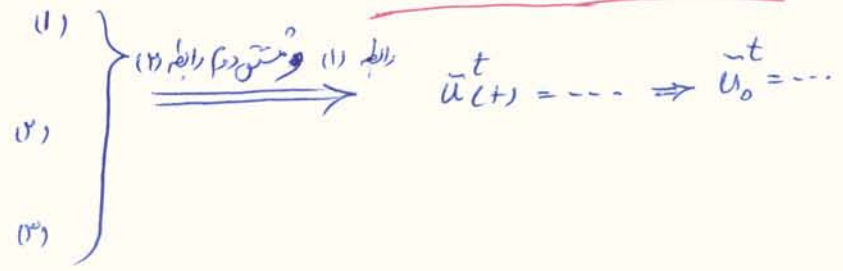
در این ناحیه در بزرگ ζ باشد و ما می‌توانیم نسیرو انتقال را قبل از رسیدن به در نهایت این را می‌بینیم.

پایخ حرکت زنده در حالت ارتعاشی

$$P_{eff}(t) = -m\ddot{u}_g(t)$$

$$\Rightarrow u(t) = \frac{-m\ddot{u}_{g0}}{k} R_d \sin(\omega t - \phi)$$

$$\ddot{u}^t = \ddot{u}_g^t + \ddot{u}^t$$



$$\Rightarrow TR = \frac{\ddot{u}_0^t}{\ddot{u}_{g0}^t} = \left\{ \frac{1 + [2\zeta \frac{\omega}{\omega_n}]^2}{[1 - (\frac{\omega}{\omega_n})^2]^2 + [2\zeta \frac{\omega}{\omega_n}]^2} \right\}^{1/2} \rightarrow \text{قابلیت اشکال برای حرکت زنده (۱) و (۲) مثال شریکیت}$$

if $\frac{\omega}{\omega_n} \ll 1 \Rightarrow \ddot{u}_0^t \approx \ddot{u}_{g0}^t \Rightarrow$

چون بعد از ضرب با زنده حرکت زنده

در تمام موارد وجود دارد

if $\frac{\omega}{\omega_n} \gg 1 \Rightarrow \ddot{u}_0^t \approx 0 \Rightarrow$

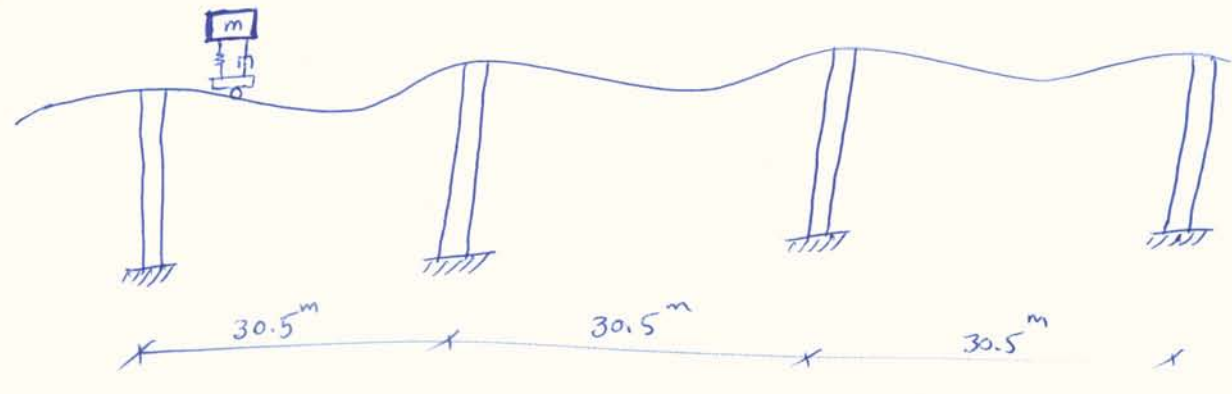
در حالت زنده در حال حرکت زنده است چون ثابت است \rightarrow معصوم حساب از لرزه

مثال ۳-۳ مطالعه در در

مثال ۳-۳ مطالعه در در $u_g(t) = u_{g0} \sin \omega t$ همان است که در

مثال ۳-۳ مطالعه در در $u_g(t) = u_{g0} \sin \omega t$ همان است که در

$$TR = \frac{\ddot{u}_0^t}{\ddot{u}_{g0}^t} = \text{the same}$$



به علت تغییر طول در ارتداد و فرس و سطوح جانبی میزان 10 mm افت رده است. در فرس تغییر شکل عرضی بار توالی لغزش سینیس با بانه حد اکثر 75 mm در طول بوج 30.5 m فرض نمود.

خودرود (حدک زلزله با این سیستم بزرگتر از آن) در حالت 1.182 تن جایگزین. نقش خودرود سینیس 145 kg بوده و میره یک نرزه 0.42 در حالت

مطربت الف) در لغه u_0^t در قس قائم با سینیس و در خودرود با سینیس 75 کیلو متر بر ثانیه حرکت سینیس

یبه) وقت سربت خودرود و طربت کد ایجا کد سینیس

ج) حل لغت الف) فرض وزن خودرود برابر 1.35 ton (تعداد سینیس کس)

$$u_g(t) = u_{g0} \sin \omega t$$

$$\omega = \frac{2\pi}{T}, T = \frac{L}{V}$$

$$\Rightarrow u_g(t) = 75 \sin 3.72 t$$

حالت الف

$$\omega_n = \sqrt{\frac{k}{m}} = 8.84 \text{ rad/s} \Rightarrow \frac{\omega}{\omega_n} = 0.42$$

$$TR = \frac{u_0^t}{u_{g0}} = \left[\frac{1 + [2 \times 0.4 \times 0.420]^2}{[1 - 0.420^2]^2 + [2 \times 0.4 \times (0.420)^2]} \right]^{1/2} = 1.186$$

$$\Rightarrow u_0^t = 1.186 \times 75 \text{ mm} = 89 \text{ mm}$$

حل ۹) گذری کوچک برد، تغییر در $\omega/\omega_n = 1$ رخ می‌دهد و نسبت قابل توجه است.

ظرفیت پیوسته تغییر رخ می‌دهد که TR حد اکثر دارد. $(\beta = \frac{\omega}{\omega_n})$

$$\Rightarrow TR^2 = \frac{1 + 0.64\beta^2}{(1 - 2\beta^2 + \beta^4) + 0.64\beta^2} = \frac{1 + 0.64\beta^2}{\beta^4 - 1.36\beta^2 + 1}$$

$$\Rightarrow \frac{d(TR^2)}{d\beta} = 0 \Rightarrow \beta = 0.893 \Rightarrow \omega = 0.893 \omega_n = 0.893 (8.84) = 7.89 \text{ rad/sec}$$

$$\Rightarrow v = \frac{\omega L}{2\pi} = \frac{7.89 \times 30.5}{2\pi} = 38.3 \text{ m/sec} = 138 \text{ km/h}$$

حل ج) فریب عبارت است از تغییر نسبت $(\frac{m_f}{m_e})$ (معمولاً مطلق شده)

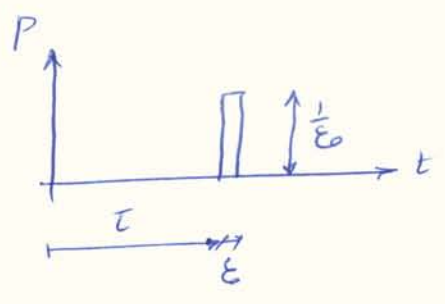
$$c = 2 \int_{f_{full}} \sqrt{k m_f} = 2 \int_{empty} \sqrt{k m_e} \Rightarrow \int_e = \int_f \left(\frac{m_f}{m_e} \right)^{1/2} = 0.4 \left(\frac{1.82}{1.35} \right)^{1/2} = 0.464$$

$$\omega_n = \sqrt{\frac{k}{m}} = \sqrt{\frac{145}{1350/481}} = 10.265 \text{ rad/sec} \Rightarrow \frac{\omega}{\omega_n} = \frac{3.72}{10.265} = 0.363$$

$$\Rightarrow TR = \frac{u_0^t}{u_{g0}} = \dots = 1.133 \Rightarrow u_0^t = 1.133 u_{g0} = 1.133 (75) \approx 85 \text{ mm}$$

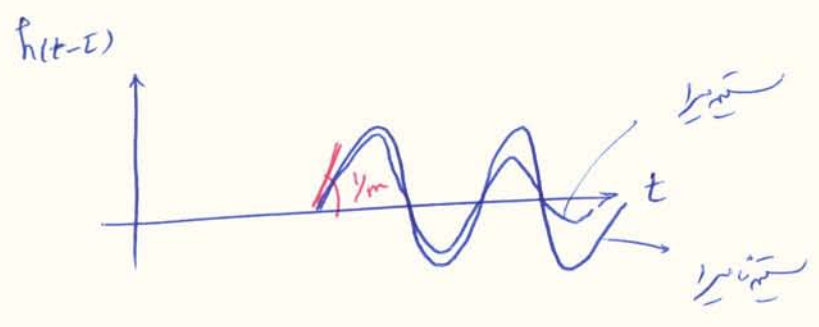
قانون دوم نیوتن $\Rightarrow \frac{d}{dt}(m\dot{u}) = P$ $P = m\ddot{u}$

تغییرات مختلف (مختار) جسم مادی نیروی وارد شده است



$$\delta(t-\tau) = \begin{cases} 1 & t = \tau \\ 0 & \text{otherwise} \end{cases}$$

دشک در آنجا



انتگرال گیری از طرف زمان نیروی

$$\int_{t_1}^{t_2} p dt = m(\dot{u}_2 - \dot{u}_1) = m \Delta \dot{u}$$

مقدار تغییر موضع

اگر $\epsilon \rightarrow 0$ آنگاه نیروی در زمان بی نهایت کوچک $\frac{1}{\epsilon} \rightarrow \infty$ و قدر و مقدار زمانی برابر با ϵ می باشد.
 پیرامون هر نقطه $t = \tau$ به m از غیر آنگاه: $(\dot{u}(\tau) = 0)$

$$\dot{u}(\tau) = \frac{1}{m}$$

پس فرض داریم که $\dot{u}(\tau) = 0$ و $\dot{u}(\tau) = \frac{1}{m}$ در $t = \tau$ و از آنجا که $\dot{u}(\tau) = 0$ است و $\dot{u}(\tau) = \frac{1}{m}$ است.

\Rightarrow ~~SDOF~~ $\Rightarrow h(t-\tau) = u(t) = \frac{1}{m\omega_n} \text{Sinh}[\omega_n(t-\tau)]$

\Rightarrow ~~SDOF~~ $\Rightarrow h(t-\tau) = u(t) = \frac{1}{m\omega_D} e^{-\zeta\omega_n(t-\tau)} \text{Sinh}[\omega_D(t-\tau)]$

کند $P(t)$ تابع دamped است، اگر انتگرال بعد از آن گرفته شود، $t > \tau$ دارد.

$$d u(t) = [P(\tau) d\tau] h(t-\tau) \quad t > \tau$$

$$\Rightarrow u(t) = \int_0^t P(\tau) h(t-\tau) d\tau$$

ریشه نا
 \Rightarrow

$$u(t) = \frac{1}{m\omega_n} \int_0^t P(\tau) \text{Sinh}[\omega_n(t-\tau)] d\tau$$

شرایط اولیه

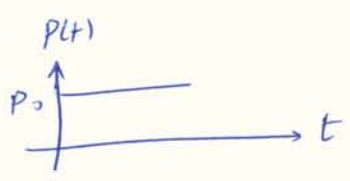
ریشه نا
 \Rightarrow

$$u(t) = \frac{1}{m\omega_D} \int_0^t P(\tau) e^{-\zeta\omega_n(t-\tau)} \text{Sinh}[\omega_D(t-\tau)] d\tau$$

یعنی قبل از رسیدن به این شرایط اولیه نباشد، به این تابع فوق به این تابع زلزله (تابع زمین) اگر SDOF میرا کند $u(0)$ و $\dot{u}(0)$ به این تابع برود.

$$u(t) = e^{-\zeta\omega_n t} \left[u(0) \cos\omega_D t + \left(\frac{\dot{u}(0) + \zeta\omega_n u(0)}{\omega_D} \right) \text{Sinh}\omega_D t \right]$$

$$\omega_D = \omega_n \sqrt{1-\zeta^2}$$

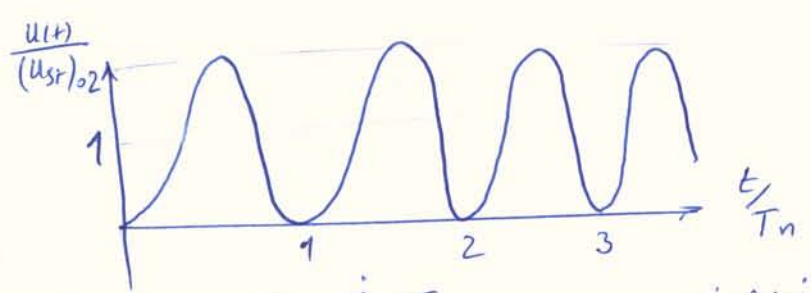


فرض SDOF یکپارچه است

در پاسخ به نیروی ثابت

$$u(t) = \frac{1}{m\omega_n} \int_0^t P_0 \sin[\omega_n(t-\tau)] d\tau = \frac{P_0}{m\omega_n} \int_0^t \sin[\omega_n(t-\tau)] d\tau$$

$$= \dots = (u_{st})_0 (1 - \cos \omega_n t)$$



نزد صفر بود

$$\frac{du(t)}{dt} = 0 \Rightarrow t = \frac{j}{2} T_n$$

$$\Rightarrow u_0 = 2(u_{st})_0$$

تفسیر: پس از اعمال ناگهانی نیرو در دوایر حالت استاتیکی

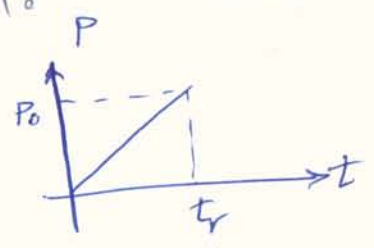
نظری که خواهم ببینیم!

لذات استقرالی در حال برابر SDOF میرا

$$u(t) = (u_{st})_0 \left[1 - e^{-\zeta \omega_n t} \left(\cos \omega_d t + \frac{\zeta}{\sqrt{1-\zeta^2}} \sin \omega_d t \right) \right]$$

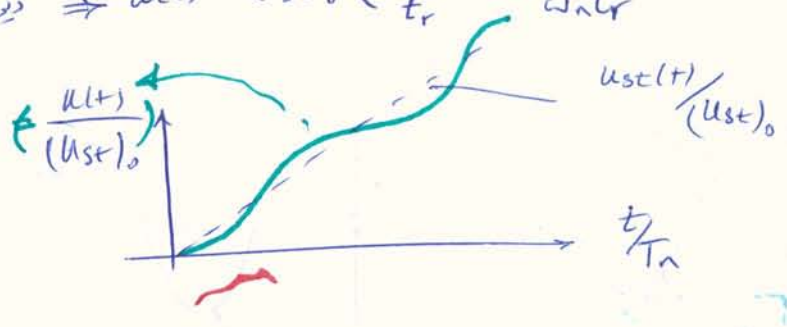
برای آنکه حرکت در حال قبیه است که برابر است جوابی خاص و عمومی هم بسته بود

پانچ شیبوں سے پہلے



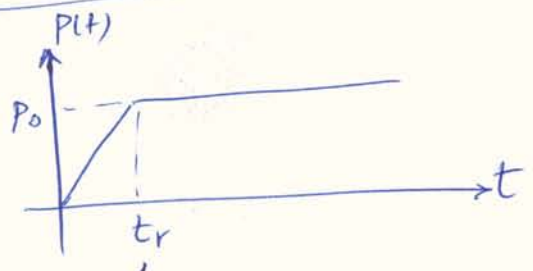
$$u(t) = \frac{1}{m\omega_n} \int_0^t \frac{P_0}{t_r} \sin \omega_n(t-\tau) d\tau$$

$$\Rightarrow \text{جس سے} \Rightarrow u(t) = (u_{st})_0 \left(\frac{t}{t_r} - \frac{\sin \omega_n t}{\omega_n t_r} \right)$$



پانچ شیبوں سے پہلے

پانچ شیبوں سے پہلے



پانچ شیبوں سے پہلے

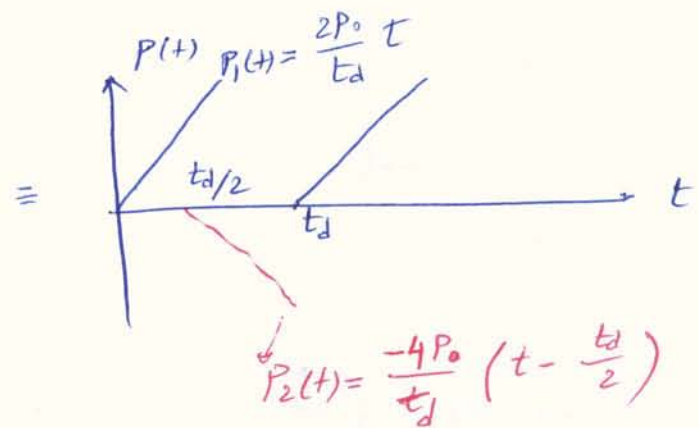
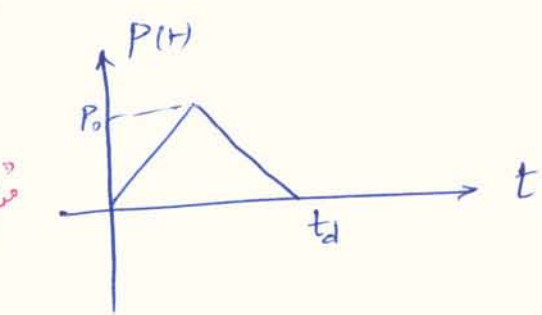
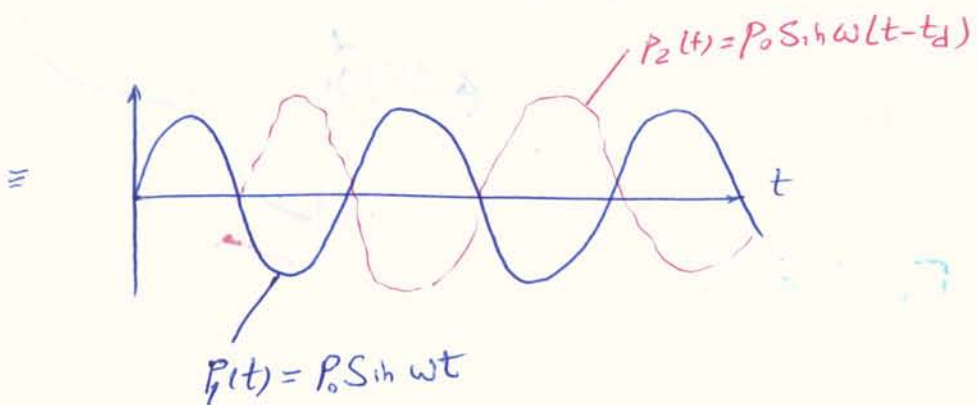
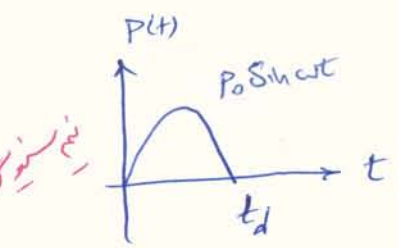
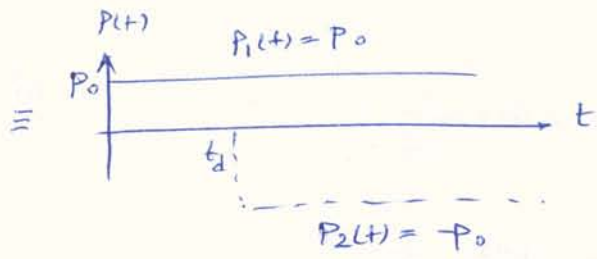
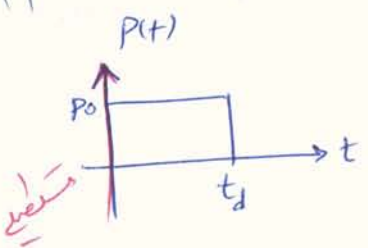
$$u(t) = (u_{st})_0 \left(\frac{t}{t_r} - \frac{\sin \omega_n t}{\omega_n t_r} \right) \quad t \leq t_r$$

$$t \leq t_r$$

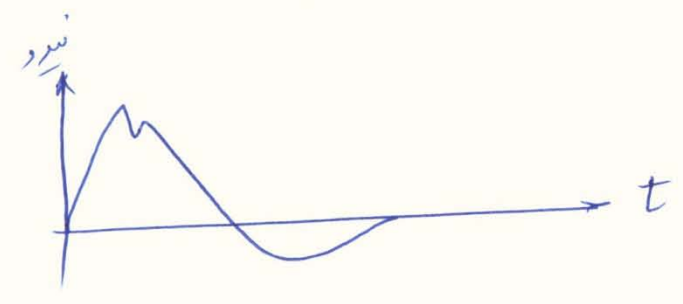
$$u(t) = u(t_r) C_3 \omega_n (t-t_r) + \frac{\dot{u}(t_r)}{\omega_n} \sin \omega_n (t-t_r) + (u_{st})_0 [1 - C_3 \omega_n (t-t_r)] \quad t > t_r$$

$$t > t_r$$

فانج بديون



تاریخ پر خوف ضربان



← ضربان سے ازالہ انجام

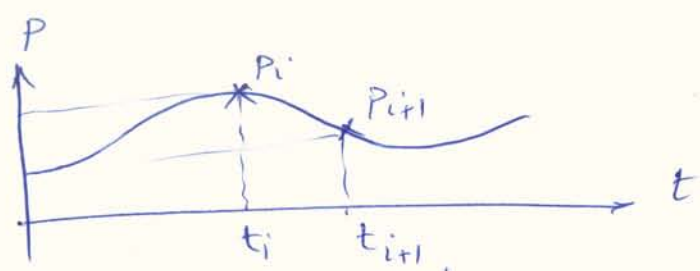
* معمولاً اگر کسی شخص کے ہاں ضربان بڑھ جائے تو اس کا دل دھڑکنے لگتا ہے۔ چونکہ دل دھڑکنے سے خون کی گردش میں رکاوٹ پڑتی ہے اور اس کے نتیجے میں جسم کو کافی مقدار میں آکسیجن نہ مل سکتی ہے۔

$$m\ddot{u} + c\dot{u} + ku = P(t)$$

$$\begin{cases} u = u(0) \\ \dot{u} = \dot{u}(0) \end{cases}$$

روش عددی برای حل مسئله

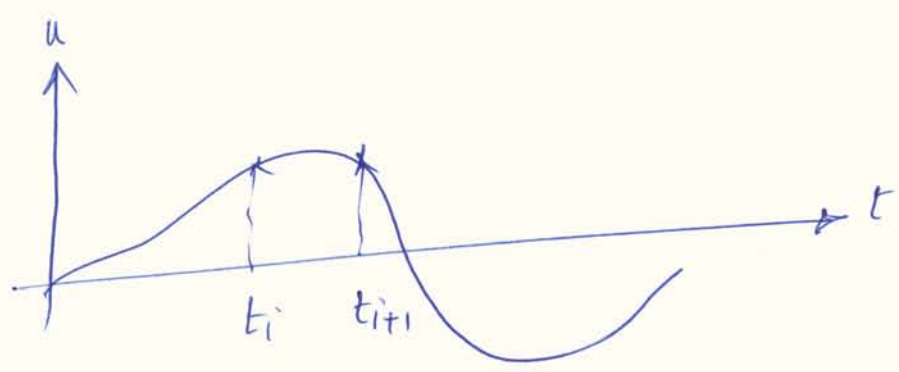
فرض کنیم $P(t)$ تغییر کند، سرنگدستان به صورت u_i, \dot{u}_i و u_{i+1}, \dot{u}_{i+1} در زمان t_i و t_{i+1} است.

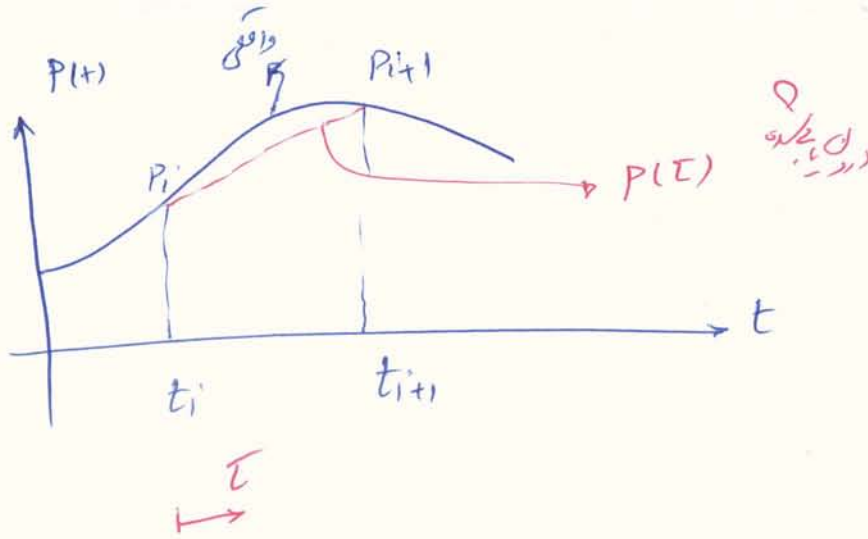


$$m\ddot{u}_i + c\dot{u}_i + ku_i = P_i$$

$$m\ddot{u}_{i+1} + c\dot{u}_{i+1} + ku_{i+1} = P_{i+1}$$

در بازه t_i تا t_{i+1} ، $P(t)$ تقریباً ثابت است. بنابراین در این بازه، $P(t) \approx P_i$ یا P_{i+1} در نظر گرفته می‌شود.





اول مقدار در زمان t_i یا t_{i+1}

where $\Delta P_i = P_{i+1} - P_i$

$$P(t) = P_i + \frac{\Delta P_i}{\Delta t_i} \tau$$

س.س. $\Rightarrow m\ddot{u} + kv = P_i + \frac{\Delta P_i}{\Delta t_i} \tau$

پایه τ (در فاصله τ در t_i تا t_{i+1}) $\tau \leq \Delta t_i$ حاصل جمع مقدار ذیل است:

۱- ارزشی از درجه اول تغییرات اولیه یا سرعت $\tau = 0$ است.

۲- پایانه به سرانجام P_i یا سرانجام اولیه صفر.

۳- پایانه به سرانجام بسیار $\frac{\Delta P_i}{\Delta t_i} \tau$ یا سرانجام اولیه صفر.

نتیجه:

$$u(\tau) = u_i C_3 \omega_n \tau + \frac{u_i}{\omega_n} \sin \omega_n \tau + \frac{P_i}{K} (1 - C_3 \omega_n \tau) + \frac{\Delta P_i}{K} \left(\frac{\tau}{\Delta t_i} - \frac{\sin \omega_n \tau}{\omega_n \Delta t_i} \right)$$

$$\frac{u(\tau)}{\omega_n} = -u_i \sin \omega_n \tau + \frac{u_i}{\omega_n} C_3 \omega_n \tau + \frac{P_i}{K} \sin \omega_n \tau + \frac{\Delta P_i}{K} \frac{1}{\omega_n \Delta t_i} (1 - C_3 \omega_n \tau)$$

ماتریس روابط قبلی در $\Sigma = \Delta t_i$ تغییر مکان و سرعت u_{i+1} و \dot{u}_{i+1} (رنگ زرد) نسبت به $i+1$ است.

$$u_{i+1} = u_i C_3(\omega_n \Delta t_i) + \frac{\dot{u}_i}{\omega_n} S_{ih}(\omega_n \Delta t_i) + \frac{P_i}{K} (1 - C_3(\omega_n \Delta t_i)) + \frac{\Delta P_i}{K} \frac{1}{\omega_n \Delta t_i} [\omega_n \Delta t_i - S_{ih}(\omega_n \Delta t_i)]$$

$$\frac{\dot{u}_{i+1}}{\omega_n} = -u_i S_{ih}(\omega_n \Delta t_i) + \frac{\dot{u}_i}{\omega_n} C_3(\omega_n \Delta t_i) + \frac{P_i}{K} S_{ih}(\omega_n \Delta t_i) + \frac{\Delta P_i}{K} \frac{1}{\omega_n \Delta t_i} [1 - C_3(\omega_n \Delta t_i)]$$

گلوله را با $\Delta P_i = P_{i+1} - P_i$ در روابط فوق قرار دهیم به روابط قبلی نسبت به $i+1$ می رسم:

$$\begin{cases} u_{i+1} = A u_i + B \dot{u}_i + C P_i + D P_{i+1} \\ \dot{u}_{i+1} = A' u_i + B' \dot{u}_i + C' P_i + D' P_{i+1} \end{cases}$$

ضرایب A, B, C, D

A', B', C', D'

بصورت (5.2.1) می نویسیم (۱ < i < n)

* نکته: که Δt_i هم باید روی بسجوخه است (مثل زنگوله)

* اگر فواصل زرد Δt_i یکسان باشد، فرآیند فوق را فقط یک بار در آن لحاظ می کرد.

* محدودیت به سمت چپ

$$T = 1$$

$$\alpha = 0.05$$

کمیونٹی کے لیے ایک نیا طریقہ کار
 کا استعمال کیا گیا ہے۔

تعمیرات

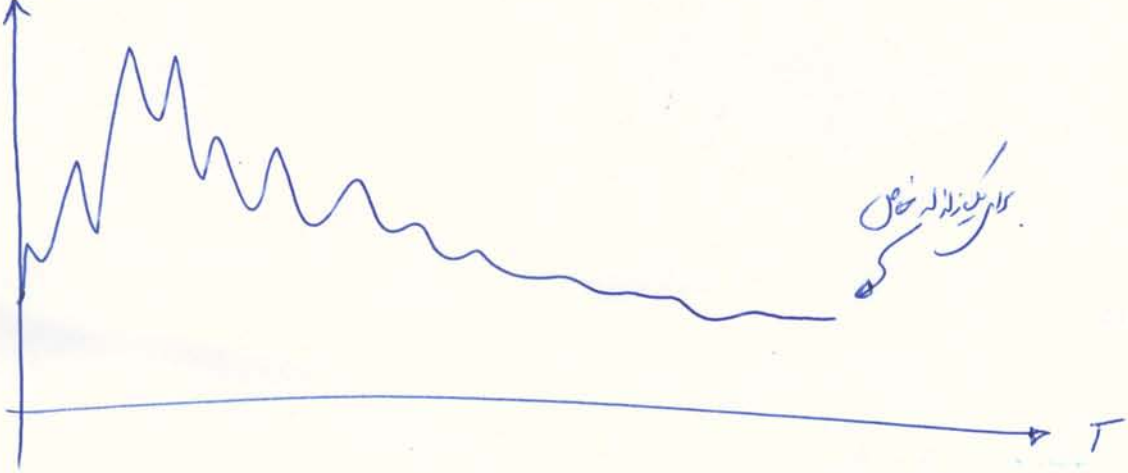
پہلے ہی سے

۱۰

محل افادت

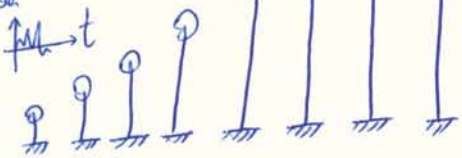
<http://peer.berkeley.edu/nga>

$S_a(T, \xi)$



کاربرد زلزله لرزه خیز

S_a فرض



فرض

سازه های پدید آید از این

در مهندسی

صرف نیرو

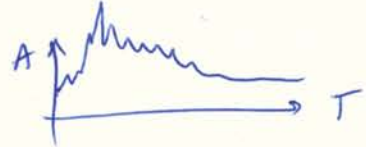
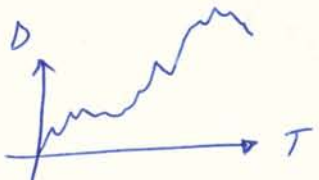
$$u_o(T_n, \xi) \equiv \max_t |u(t, T_n, \xi)|$$

صرف سرعت

$$\dot{u}_o(T_n, \xi) \equiv \max_t |\dot{u}(t, T_n, \xi)|$$

صرف شتاب

$$\ddot{u}_o^t(T_n, \xi) \equiv \max_t |\ddot{u}^t(t, T_n, \xi)|$$



جول لنگر u حساب می شود :

$$V = \omega_n D = \frac{2\pi}{T_n} D$$

Pseudo-velocity Response Spectrum

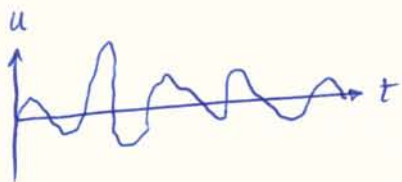
$$A = \omega_n^2 D = \left(\frac{2\pi}{T_n}\right)^2 D$$

Pseudo-acceleration Response Spectrum

اول لنگر شود

$$\ddot{u} + 2\zeta\omega_n\dot{u} + \omega_n^2 u = -\ddot{u}_g(t) \Rightarrow u \equiv u(t, T_n, \zeta)$$

با ω_n دو سیستم یا T_n یکسان، پارامترهای ζ و ω_n خواهند بود. k, m متنوع باشند



$A(t) \neq \ddot{u}(t)$

نیروی داخلی $\Rightarrow f_s(t) = k u(t)$
 $\omega_n = \sqrt{\frac{k}{m}}$
 $\Rightarrow f_s(t) = m \omega_n^2 u(t) = m A(t)$

حداکثر f_s با m متنوع است.

توضیح: کمیت V دارای بعد سرعت است
 نسبت سرعت به ω_n (نسبت سرعت)

$$V = \omega_n D = \frac{2\pi}{T_n} D$$

حداکثر انرژی $= \frac{1}{2} k u_0^2 = \frac{1}{2} k D^2 = \frac{1}{2} k \left(\frac{V}{\omega_n}\right)^2 = \frac{1}{2} m V^2$

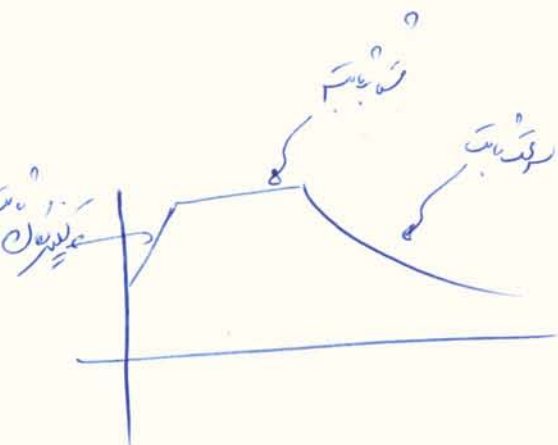
رضیانه

حداکثر f_s با m متنوع است

$$V_{bo} = f_{s0} = m A_0$$

$$= \frac{\omega}{g} A_0$$

فرکانس ω متنوع است
 فرکانس ω متنوع است



- اولین پدیده را فرد هم اول قرن بیستم برای آن تجزیه و تحلیل انجام داده بود و آن را در زمین لرزه در سیاتل (آتلانتیک) پدید آورده. برای آن به شماره $\frac{1}{12}$ وزن سازه تعیین شد و در حالتی که در نظر گرفته می شود.

- در مهر ۱۹۳۰، با استفاده از قانون دوم نیوتن و فرض صلب بودن سازه

$$V = M a(t)$$

$$= \frac{W}{g} a(t)$$

$$\Rightarrow V_{max} = \frac{W a_{max}}{g} = C W = \text{ضریب زلزله} \times \text{وزن سازه}$$

- اولین بار این رابطه در ۱۹۲۷ در آلمان (UBC) با ضریب $C = 0.075$ و $C = 0.1$ تعریف شد. ولی مورد استفاده قرار گرفت.

- بعد از سال ۱۹۵۲ در آمریکا (اولین) بعد از آن زمان که در نظر گرفته شد و در آن سازه های هم و در سال ۰.۱ و برای سازه های معمولی به مقدار ۰.۰۸ انتخاب شد.

- کاهش ضریب C از ضریب $\frac{a_{max}}{g}$ که در زلزله ها کمتر است بین ۰.۳ تا ۰.۸ و حتی بیشتر است، به مقدار ۰.۹

بسیار است. احتمال وقوع زلزله، شکل زمین و رفتار خاکهای سازه ها و ظرفیت فیلد آنرا می دانند.

رسال ١٩٤٤ء ميک، قبا، رسالہ ماہنامہ اہلی آغا، مدرسہ عربیہ اسلامیہ سے منظر لائے جا رہے ہیں۔

$$C = \frac{0.6}{N+4.5} \quad N \gg 13$$

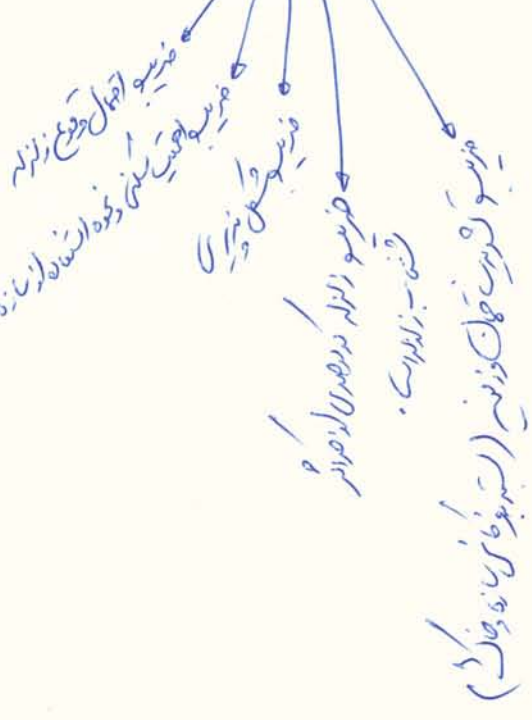
$V = K \cdot C \cdot W$ $K = \frac{2}{3} \text{ تا } \frac{4}{3}$ (فریبورق) - رسال ١٩٥٩ء

$$C = \frac{0.05}{T^{1/3}}$$

٧

- رسال ١٩٧٥ء

$$V = ZIKCSW$$



$$V = CW = \frac{ABI}{R} W$$

I: فریبہ اجماع
 AB: صفت و کثرت
 R: فریبورق

اکتوبر ٢٨ -

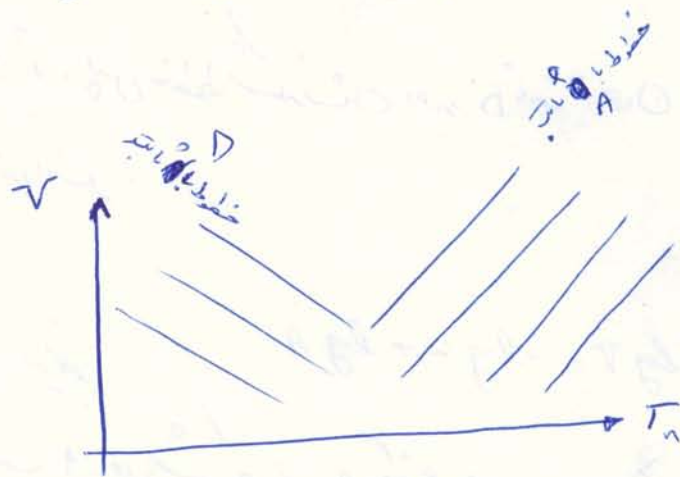
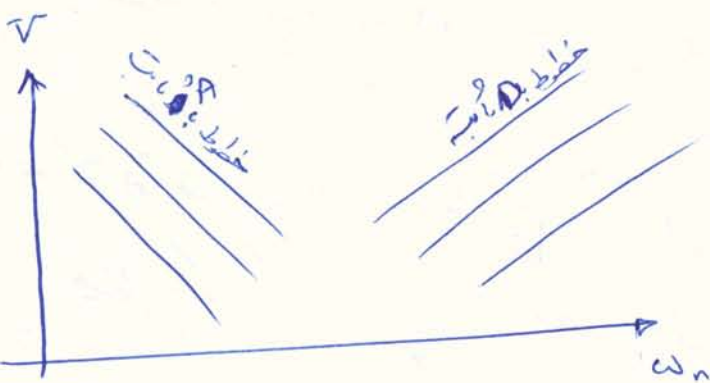
Combined D-V-A Spectrum

رابطه بین: $\frac{A}{\omega_n} = V = \omega_n D \Rightarrow \boxed{\frac{T_n}{2\pi} A = V = \frac{2\pi}{T_n} D}$

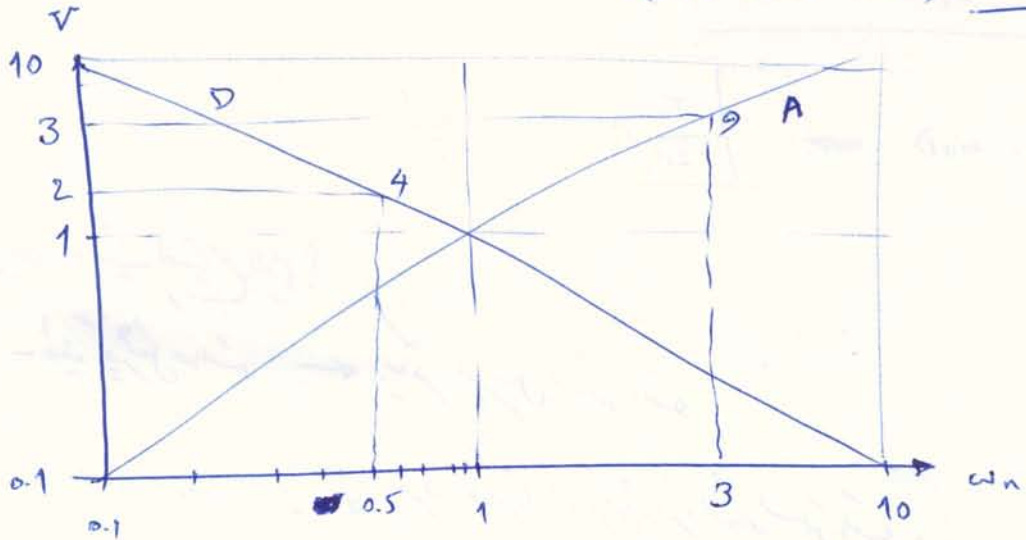
* چرا به هر سه صفت اکتیو داریم؟

- ۱ - صفت تغییر شکل حاصلش ← صفت تغییر شکل سیستم است.
- ۲ - صفت سست ← صفت حاصلش انرژی کمتر از انرژی ذخیره کرده در سیستم است.
- ۳ - صفت شبه گسب ← صفت حاصلش نیروی در حال استتار و در یک پایه است.

صفت ترکیبی D-V-A دانشمندان روزی در یک کلاس بودند → Veletsos & Newmark (1960)



نتیجه: مقیاس های هم‌جهان V, ω_n و V, T_n به هم تبدیل کرده
و هم‌جهان D و A نیستند یا تغییر شکل می‌دهند (اند)



* $\log V$ محور عرض ها و $\log w_n$ محور طول است.

در $\frac{A}{w_n} = V = w_n D \Rightarrow \log V = \log w_n + \log D$

که D ثابت باشد، رابطه فوق خط مستقیم به شیب $+1$ می باشد. پس خطوط شبکه‌ای در صفحه D ثابت، همان خطوط مستقیم به شیب $+1$ هستند که محور D را ۴ و محور A را ۹ نشان می دهد.

* اگر A ثابت باشد، رابطه در دو خط مستقیم به شیب -1 است در نتیجه خطوط شبکه‌ای که A ثابت را نشان می دهد همان خطوط به شیب -1 می باشد که محور A را ۹ و محور D را ۳ نشان می دهد.

حال به قضیه‌های علامت‌گذاری بپردازیم:

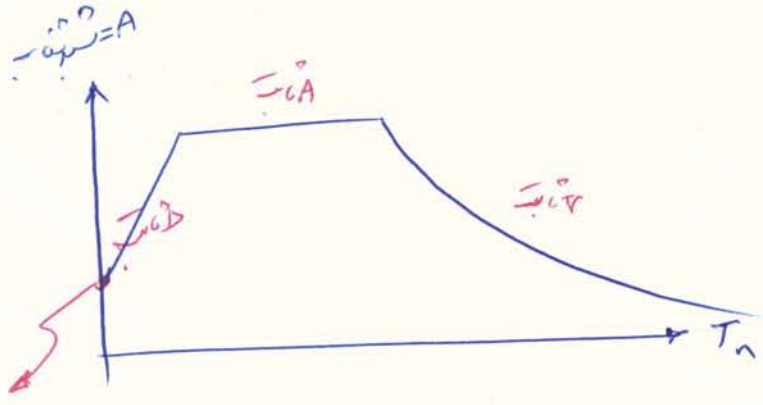
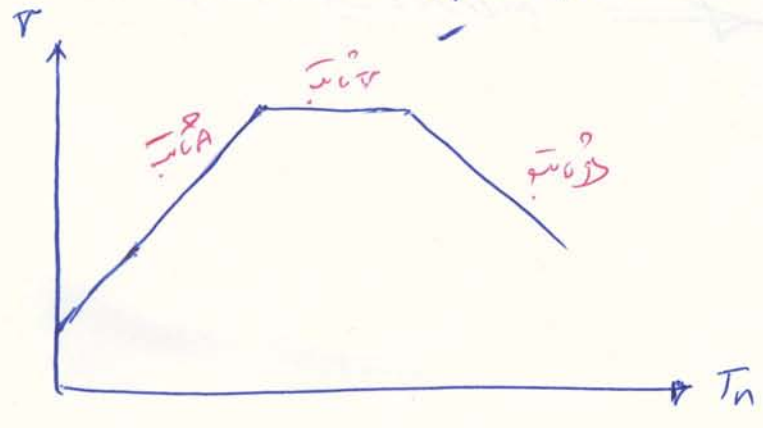
۱- $\text{if } w_n = 1 \Rightarrow \begin{cases} A = 1 \\ D = 1 \end{cases} \Rightarrow \begin{cases} w_n = 1 \\ V = 1 \end{cases}$ (توجه کنید که $w_n = 1$ و $V = 1$ به هم می خورند و A و D را ۹ نشان می دهد)

۲- محور A دارای شیب $+1$ است، پس نقاط روی آن دارای w_n و V یکسان هستند. مثلاً اگر $A = 9$ $\Rightarrow \begin{cases} w_n = 3 \\ V = 3 \end{cases}$ (توجه کنید که $w_n = \sqrt{A}$ و $V = \sqrt{A}$ در رابطه $A = w_n V$ صدق می کند)

~~$w_n A = \sqrt{A}$
 $V = \sqrt{A}$~~

۳- محور D دارای شیب -1 است

برای رتبه‌های سه‌جانبه که $w_n = \frac{1}{\sqrt{D}}$ $\Rightarrow \begin{cases} V = 2 \\ w_n = 1/2 \end{cases}$ $\Rightarrow D = \frac{V}{w_n}$ (توجه کنید که $w_n = \frac{1}{\sqrt{D}}$ و $V = \sqrt{D}$ در رابطه $A = w_n V$ صدق می کند)



PCIA

و A مستقل از غی است $\Rightarrow A \rightarrow U_{go}$ (یا) $T_n < 0.035$ let say T_n بر این حد است

لذا نظریه غیر انتمی هستند جانمایی زیاد بوده و ~~محدود~~ ساده با زمین حرکت کنند.

و D مستقل از نیرو است $\Rightarrow D \rightarrow U_{go}$ $\Rightarrow T_n > 15$ let say T_n بر این حد است

نیروی چون دانه غیر یک $\Rightarrow m \times A = نیرو$ $\Rightarrow A$ ضعیف است

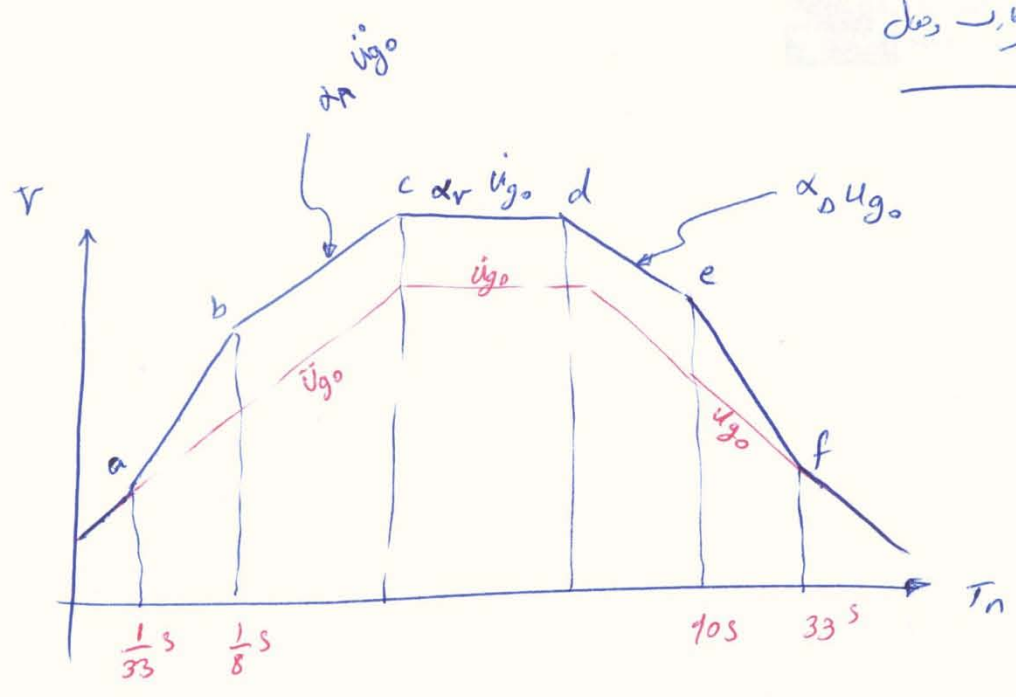
از نظریه غیر انتمی هم سبب زمین حرکت کنند

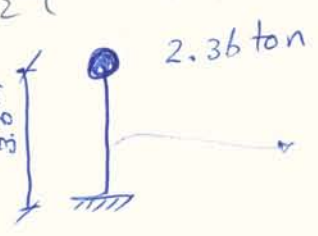
حجم مربعی مستطین، $V = a \cdot b \cdot h$ \leftarrow $V = \frac{1}{2} (a+b) \cdot h$ \leftarrow $V = \frac{1}{3} (a^2 + ab + b^2) \cdot h$



حجم مربعی مستطین، $V = a \cdot b \cdot h$
حجم منشور قائم، $V = \frac{1}{2} (a+b) \cdot h$
حجم هرم، $V = \frac{1}{3} (a^2 + ab + b^2) \cdot h$

صفحه نمره ۱ و ۲





قطر خارجی لوله = 114 mm

قطر داخلی لوله = 102 mm

$t = 6 \text{ mm}$, $w = 16 \text{ kg/m}$, $I = 301 \text{ cm}^4$, $E = 2 \times 10^6 \text{ kg/cm}^2$

با فرض $\xi = 2\%$ ، تغییر شکل حداکثر در تنش حد انعطاف در این مسئله با کت ارتعاشات الاستیک است.

حل :

$$k = \frac{3EI}{l^3} = \frac{3 \times 2 \times 10^6 \times 301}{360^3} = 38.7 \text{ kg/cm}$$

$$\Rightarrow \omega_n = \sqrt{\frac{k}{m}} = 4 \text{ rad/s}$$

از وزن سکون در مقابل وزن بحرانی

$$\Rightarrow m = \frac{w}{g} = 2.41 \text{ kg/cm}^2$$

$\Rightarrow T_n = \frac{2\pi}{\omega_n} = 1.58 \text{ s}$ (از زمین زلزله)

الستیک $\xi = 2\%$

$D = 12.5 \text{ cm}$
 $A = 0.20g$

$$\Rightarrow \text{حداکثر نیروی الاستیک در پایه} = f_{sn} = \frac{A}{g} w = 0.2 \times 2.36 = 0.47 \text{ ton}$$

$$\Rightarrow \text{لنگر خمشی در پایه} = M = 0.47 \times 3.6 = 1.69 \text{ ton.m} \Rightarrow \sigma_{max} = \frac{Mc}{I} = 3200 \text{ kg/cm}^2$$

تشریح تغییرات استوار (با توجه به اینکه در اینجا الاستیک فرض شده است)

~~تشریح تغییرات استوار~~

حالت فرض کنید که فیلدس طراح قسم بتدریج قطر لوله را ~~از ۱۰۰~~ افزایش دهد ،

قطر خارجی = 219 mm

قطر داخلی = 202.7 mm

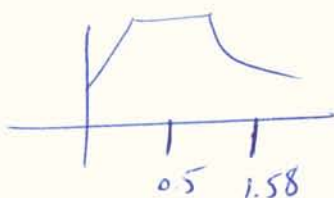
$t = 8.15 \text{ mm}$, $I = 3018 \text{ cm}^4$

\Rightarrow در این حالت $\dots \Rightarrow T_n = 0.5 \text{ (s)} \Rightarrow \begin{cases} D = 6.58 \text{ cm} \\ A = 1.1 \text{ g} \end{cases}$

$\Rightarrow f_{so} = \frac{A}{g} W = 1.1 \times 2.36 = 2.6 \text{ ton}$

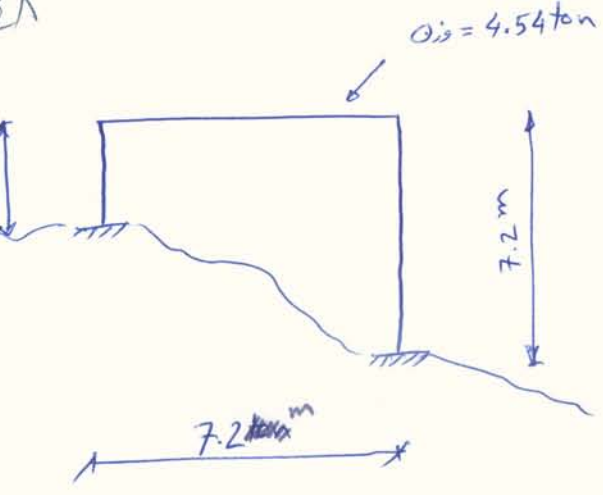
$\Rightarrow M_{base} = 2.6 \times 3.6 = 9.36 \text{ Ton}\cdot\text{m} \Rightarrow \sigma_{max} = \frac{MC}{I} = 3396 \frac{\text{kg}}{\text{cm}^2}$

چنین نیست که افزایش قطر منجر به کاهش بار و در نهایت افزایش تنش شد (کاهش زلزله شدت طبیعی)



← Period shifting

انتظار ما بر آنست که افزایش قطر منجر به کاهش تنش از آنست که به تعدادی فیلدس در یک حجم محدود است و می توانیم



Beams 100×25
 Columns 25×25 cm
 $\xi = 0.5$
 $E = 2 \times 10^5 \text{ kg/cm}^2$

خطایم تعیین حد الاستیک و نیروی استاتیکی و نیروی دینامیکی است. وقت ضعیف زلزله است.

حل: بدنه یعنی زیر کمر نسبت به ستون از وزن سرب استاده می شود.

$$k = \sum \left(\frac{12EI}{l^3} \right) = \frac{12 \times 2 \times 10^5 \times \left(\frac{25^4}{12} \right)}{360^3} + \frac{12 \times 2 \times 10^5 \times \left(\frac{25^4}{12} \right)}{720^3} = 1884 \text{ kg/cm}$$

1675 209

$T_n = 2\pi \sqrt{\frac{W}{gR}} = 0.3 \text{ sec}$ $\frac{\text{صف زلزله}}{\text{الستیک}}$ $D = 1.80$ $A = 0.769$

$V_{\text{short}} = k_{\text{short}} D = 1675 \times 1.80 \times 10^{-3} = 3.02 \text{ ton}$

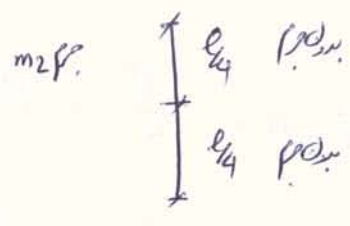
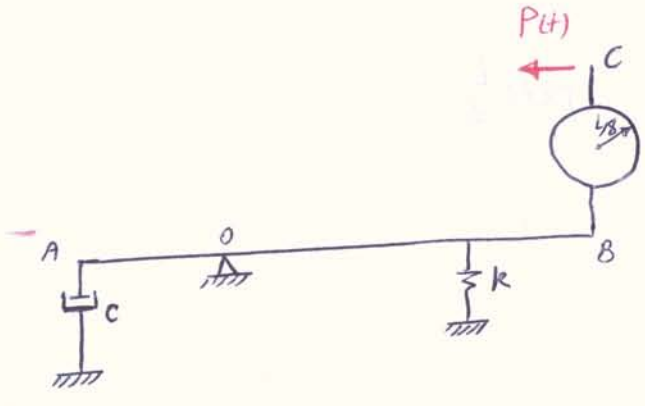
$V_{\text{long}} = k_{\text{long}} D = 209 \times 1.80 \times 10^{-3} = 0.38 \text{ ton}$

هر دو ستون یکسره شکل می یابند و لا محال می گسند و گسستن نیروهای دینامیکی بوجود می آید. پس مقدمات است
 نادیده گرفته می شوند. قانون ساده به یک فرضیات پیش بینی شده ای در سازه ها فرستاده است.

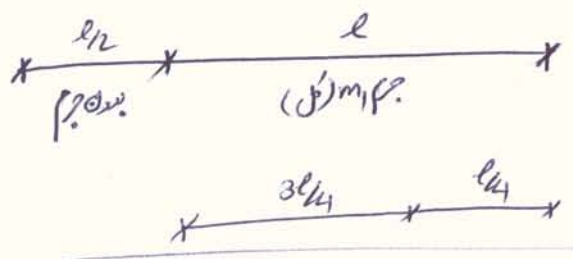
Generalized SDOF systems

* بسیاری از سازه‌ها و سیستم‌ها قابل تبدیل به سیستم SDOF هستند.

مسئله 8.1 مطابقت معادلات (ب) با شکل (الف)

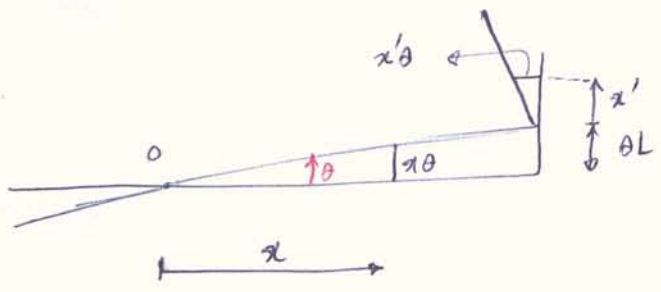


مسئله AB صلب است.

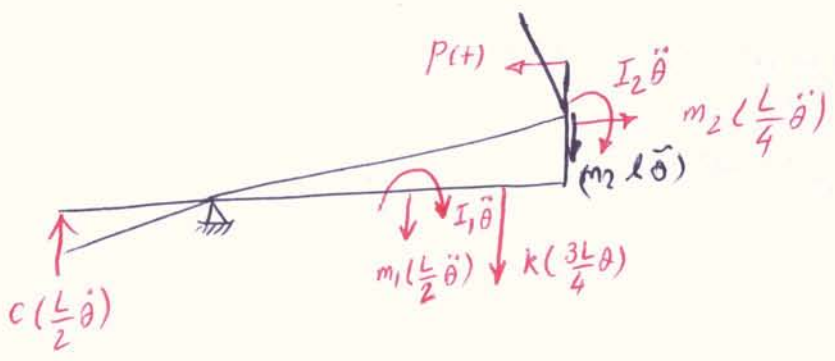


$u(x,t) = \underbrace{\psi(x)}_x \underbrace{z(t)}_{\theta(t)}$

حل:



کوئینسی شکل:



تقابل دینامیک:

$$\sum M_0 = 0 \Rightarrow I_1 \ddot{\theta} + (m_1 \frac{L}{2} \ddot{\theta}) \frac{L}{2} + I_2 \ddot{\theta} + (m_2 L \ddot{\theta}) L + (m_2 \frac{L}{4} \ddot{\theta}) \frac{L}{4} + (c \frac{L}{2} \dot{\theta}) \frac{L}{2} + (k \frac{3L}{4} \theta) \frac{3L}{4} = P(t) \frac{L}{2}$$

$$I_1 = \frac{m_1 L^2}{12}, \quad I_2 = m_2 \left(\frac{L}{8}\right)^2 = m_2 \frac{L^2}{128}$$

$$\left(\frac{m_1 L^2}{3} + \frac{137}{128} m_2 L^2 \right) \ddot{\theta} + \underbrace{\frac{c L^2}{4}}_{\tilde{c}} \dot{\theta} + \underbrace{\frac{9KL^2}{16}}_{\tilde{k}} \theta = \underbrace{P(t) \frac{L}{2}}_{\tilde{P}(t)}$$

$$\Rightarrow \boxed{\tilde{m} \ddot{\theta} + \tilde{c} \dot{\theta} + \tilde{k} \theta = \tilde{P}(t)}$$

$$\Rightarrow \omega_n = \sqrt{\frac{\tilde{k}}{3\tilde{m}}}, \quad \zeta = \frac{\tilde{c}}{2\sqrt{\tilde{k}\tilde{m}}}$$

if $c=0$, $P(t)=P_0 \Rightarrow \theta(t) = \frac{\tilde{P}_0}{\tilde{k}} (1 - \cos \omega_n t) = \frac{8P_0}{9KL} (1 - \cos \omega_n t)$

$$u(m,t) = x \theta(t)$$

$$u(x',t) = x' \theta(t)$$

تعبیر شود

اگر نیروی خارجی Q نیز به تیر وارد شود (به نقطه B) آن را $Q L \theta$ در خلاف جهت Q در نظر بگیریم تا حالت کامل شود

$$\tilde{m} \ddot{\theta} + \tilde{c} \dot{\theta} + (\tilde{k} - QL) \theta = \tilde{P}(t)$$

نیروی Q به سمت راست است و \tilde{k} به سمت چپ است. در صورتی که Q بزرگتر از \tilde{k} باشد (افزایش می‌دهد) می‌تواند

if $\tilde{k} - QL = 0 \Rightarrow$ $Q_{cr} = \frac{\tilde{k}}{L} = \frac{9KL}{16} =$ $\frac{9m_2 g}{16}$

... virtual $Z(t)$ is the single generalized coordinate expressing the motion of the system and the symbols with asterisks represent generalized physical properties corresponding to this coordinate. In general, the values of these properties can be determined by application of either the principle of virtual work, as illustrated by the previous examples, or Hamilton's principle as illustrated in Chapter 16. However, standardized forms of these expressions can be derived easily which are very useful in practice.

Consider an arbitrary one-dimensional system, as illustrated by the example in Fig. 8-3, assumed to displace only in a single shape $\psi(x)$ with displacement

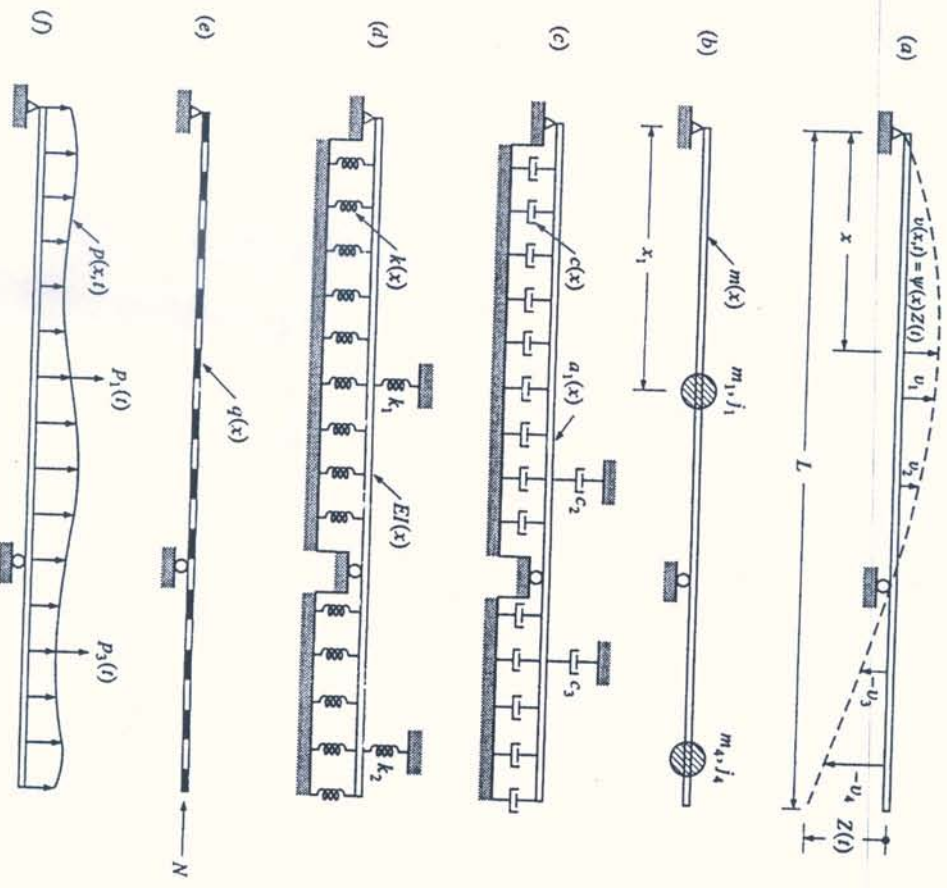


FIGURE 8-3 Properties of generalized SDOF system: (a) assumed shape; (b) mass properties; (c) damping properties; (d) elastic properties; (e) applied axial loading; (f) applied lateral loading.

expressed in terms of the generalized coordinate $Z(t)$ as given by

$$\psi(x, t) = \psi(x) Z(t)$$

Part of the total mass of the system is distributed in accordance with $m(x)$ and the remainder is lumped at discrete locations i ($i = 1, 2, \dots$) as denoted by m_i . External damping is provided by distributed dashpots varying in accordance with $c(x)$ and by discrete dashpots as denoted by the c_i values, and internal damping is assumed to be present in flexure as controlled by the uniaxial stress-strain relation of Eq. (8-8). The elastic properties of the system result from distributed external springs varying in accordance with $k(x)$, from discrete springs as denoted by the k_i values, and from distributed flexural stiffness given by $EI(x)$. External loadings are applied to the system in both discrete and distributed forms as indicated by the time-independent axial forces $q(x)$ and N and the time-dependent lateral forces $p(x, t)$ and $P_i(t)$. These loadings produce internal axial force and moment distributions $N(x)$ and $M(x, t)$, respectively.

Applying the procedure of virtual work to this general SDOF system in the same manner as it was applied to the previous example solutions, one obtains the following useful expressions for the contributions to the generalized properties:

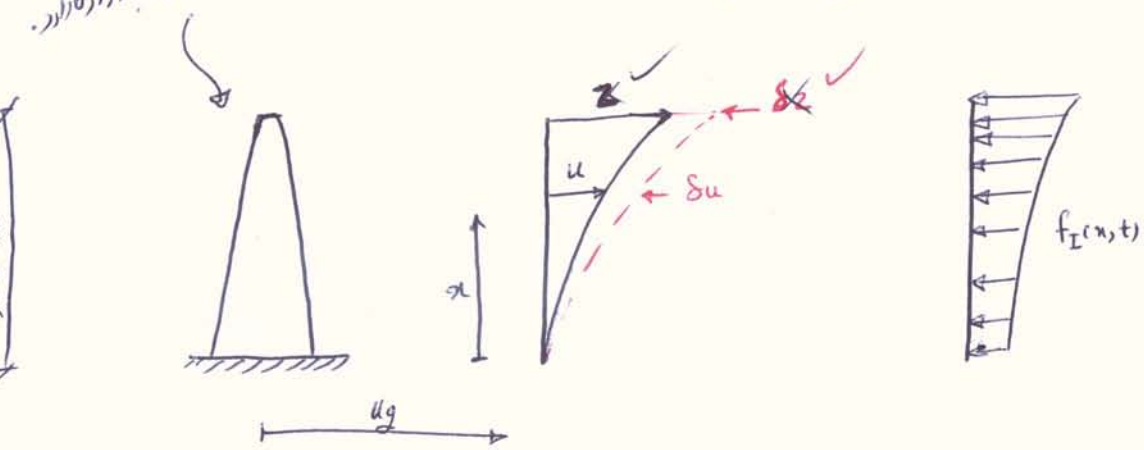
$$\begin{aligned}
 m_i^* &= \int_0^L m(x) \psi(x)^2 dx + \sum m_i \psi_i^2 + \sum j_i \psi_i'^2 \\
 c_i^* &= \int_0^L c(x) \psi(x)^2 dx + a_1 \int_0^L EI(x) \psi''(x)^2 dx + \sum c_i \psi_i^2 \\
 \bar{k}_i^* &= \int_0^L k(x) \psi(x)^2 dx + \int_0^L EI(x) \psi''(x)^2 dx + \sum k_i \psi_i^2 \\
 &\quad - \int_0^L N(x) \psi'(x)^2 dx \\
 p_i^*(t) &= \int_0^L p(x, t) \psi(x) dx + \sum P_i(t) \psi_i(x) + \dots
 \end{aligned}
 \tag{8-18}$$

The vectorial nature of the force and displacement quantities in the last of Eqs. (8-18) must be carefully noted. Only components of the forces in the directions of the corresponding assumed displacements can be included, and the positive sense of each force component must be assigned in accordance with the positive sense of the corresponding displacement.

The above generalized-coordinate concepts apply equally in the reduction of two-dimensional systems to a single degree of freedom. Consider, for example, the rectangular floor slab shown in Fig. 8-4 subjected to a distributed downward loading

تابع تغییر شکل موضعی (در این حالت اغلب جرم کمتر در قسمت و در قسمت انتهایی)

در واقع به نوبت داریم از طرف راست وارد.



$$u(x,t) = u(x,t) + u_g(t) \quad (1)$$

$$u(x,t) = \psi(x)z(t) \xrightarrow[\text{مزی}]{\text{فصل 9}} \psi(0) = 0, \psi'(0) = 0$$

$x=l \rightarrow$
 $u(l,t) = z(t)$
 $\psi(l) = 1$ (محول)

حالتی توانیم تابع ψ را فرض کنیم، برای مثال تغییر شکل \rightarrow بصورت زیر است:

$$u(x) = (3Lx^2 - x^3) / 6EI$$

چون حرکت داریم از طرف خود و بعد بر \rightarrow

$$\psi(x) = \frac{u(x)}{u(L)} = \frac{3x^2}{2L^2} - \frac{x^3}{2L^3}$$

باید رسم $u(x) = \psi(x)z$

نمیخواهیم در این تابع $\psi(x) = 1 - \cos \frac{\pi x}{2L}$ تغییر استفاده کرد.

* نکته: می توان از این تابع دیگری مانند $\psi(x) = \frac{x^2}{L^2}$ در صورت ضرورت الزامی نیست.

$$f_I(x,t) = -m(x) \ddot{u}(x,t) \xrightarrow{(1)} f_I(x,t) = -m(x) [\ddot{u}(x,t) + \ddot{u}_g(t)] \quad (2)$$

اصل تغییرهای مجازی \Rightarrow اصل تغییرهای مجازی \Rightarrow δW_E برابر با تغییر δW_I می باشد

$$\delta W_E = \int_0^L f_I(x,t) \delta u(x) dx \stackrel{(2)}{=} - \int_0^L m(x) \ddot{u}(x,t) \delta u(x) dx - \ddot{u}_g(t) \int_0^L m(x) \delta u(x) dx$$

$$\delta W_I = \int_0^l M(n,t) \delta K(n) dn \Rightarrow \delta W_I = \int_0^l EI(n) \ddot{u}(n,t) \delta[u''(n)] dn$$

$$M(n,t) = EI(n) \ddot{u}(n,t)$$

$$\delta K(n) = \delta[u''(n)]$$

تغییرات مجاز در u و u'' است

$$\Rightarrow \begin{cases} \ddot{u}(n,t) = \psi''(n) z(t) \\ \ddot{u}(n,t) = \psi(n) \ddot{z}(t) \end{cases}$$

$$\begin{cases} \delta u(n) = \psi(n) \delta z \\ \delta[u''(n)] = \psi''(n) \delta z \end{cases}$$

$$\delta W_E = -\delta z \left[\ddot{z} \int_0^l m(n) [\psi(n)]^2 dn + \ddot{u}_g(t) \int_0^l m(n) \psi(n) dn \right]$$

$$\delta W_I = \delta z \left[z \int_0^l EI(n) [\psi''(n)]^2 dn \right]$$

معمولاً $\delta z \neq 0$

$$\delta W_E = \delta W_I \Rightarrow \delta z \left[\tilde{m} \ddot{z} + \tilde{k} z + \tilde{L} \ddot{u}_g(t) \right] = 0 \xrightarrow{\delta z \neq 0} \boxed{\tilde{m} \ddot{z} + \tilde{k} z + \tilde{L} \ddot{u}_g(t) = 0}$$

$$\tilde{m} = \int_0^l m(n) [\psi(n)]^2 dn$$

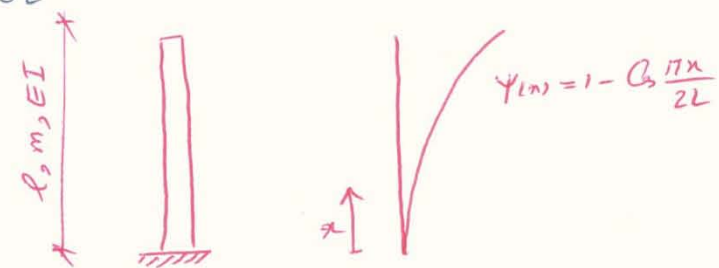
$$\tilde{k} = \int_0^l EI(n) [\psi''(n)]^2 dn$$

$$\tilde{L} = \int_0^l m(n) \psi(n) dn$$

$$\Rightarrow \ddot{z} + \omega_n^2 z = -\tilde{\Gamma} \ddot{u}_g(t) \quad \text{where} \quad \tilde{\Gamma} = \frac{\tilde{L}}{\tilde{m}}$$

$$\omega_n^2 = \frac{\tilde{k}}{\tilde{m}} = \frac{\int_0^l EI(n) [\psi''(n)]^2 dn}{\int_0^l m(n) [\psi(n)]^2 dn}$$

همه ψ دقت کنید ω_n دقت کنید که خواص را بدید.



مسئله: با فرض تابع شکل $y(x) = 1 - C_3 \frac{\pi x}{2L}$

برای حرکت سیستم رابطه حرکت ارتعاش زمین را برابر با $y(x)$ در نظر بگیرید.

در فرکانس پایین آنرا تقریب کنید.

$$\tilde{m} = m \int_0^l \left(1 - C_3 \frac{\pi x}{2L}\right)^2 dx = 0.227 mL$$

$$\tilde{k} = EI \int_0^l \left(\frac{\pi^2}{4L^2}\right)^2 C_3^2 \frac{\pi x}{2L} dx = 3.04 \frac{EI}{L^3}$$

$$\tilde{L} = m \int_0^l \left(1 - C_3 \frac{\pi x}{2L}\right) dx = 0.363 mL$$

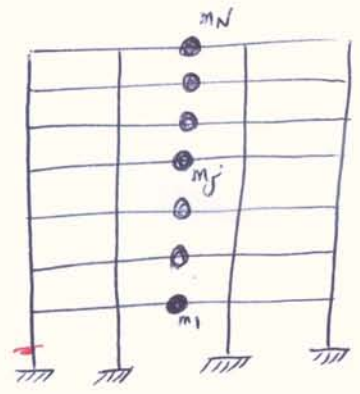
$$\omega_n = \sqrt{\frac{\tilde{k}}{\tilde{m}}} = \frac{3.66}{L^2} \sqrt{\frac{EI}{m}}$$

در صورت ω در حد پایین فرکانس ارتعاش زمین را در نظر بگیرید.

در این مسئله

قابها برهم

تکلیف در هر یک از قابها در هر دو طرفه است



u_j(t) = \psi_j z(t), j=1, 2, \dots, N

u_j^t(t) = u_j(t) + u_g(t)

به دنبال تغییرات اینها

\tilde{m} \ddot{z} + \tilde{k} z = -\tilde{L} \ddot{u}_g(t)

\tilde{m} = \sum_{j=1}^N m_j \psi_j^2

\tilde{k} = \sum_{j=1}^N k_j (\psi_j - \psi_{j-1})^2

\sum_{\text{ستونها}} \frac{12EI}{R^3}

\tilde{L} = \sum_{j=1}^N m_j \psi_j

روابط قبلی را می توان به صورت ماتریس نوشت

\underline{m} = [m_1, m_2, \dots, m_N], \underline{\psi} = [\psi_1, \psi_2, \dots, \psi_N]

\tilde{m} = \underline{\psi}^T \underline{m} \underline{\psi}, \tilde{k} = \underline{\psi}^T \underline{k} \underline{\psi}, \tilde{L} = \underline{\psi}^T \underline{m} \underline{1}

بردار

انتقال: اگر ساختمان برهم نشود می توان از روابط ماتریس فوق استفاده کرد.

\omega_n^2 = \frac{\tilde{k}}{\tilde{m}} = \frac{\sum_{j=1}^N k_j (\psi_j - \psi_{j-1})^2}{\sum_{j=1}^N m_j \psi_j^2} = \frac{\underline{\psi}^T \underline{k} \underline{\psi}}{\underline{\psi}^T \underline{m} \underline{\psi}}

$$\ddot{z} + \omega_n^2 z = -\tilde{\Gamma} \ddot{u}_g(t)$$

where $\tilde{\Gamma} = \frac{\tilde{L}}{m}$

فردی دلتا و بزرگی

حاصل می شود $u_{j0} = \psi_j z_0 = \psi_j \tilde{\Gamma} D$

$$j = 1, 2, \dots, N$$

با شماره از طرف طبع:

از ضمیمه

حاصل می شود $f_{j0} = \tilde{\Gamma} m_j \psi_j A$

$$j = 1, 2, \dots, N$$

حاصل می شود $V_{i0} = \sum_{j=i}^N f_{j0}$

حاصل می شود $M_{i0} = \sum_{j=i}^N (h_j - h_i) f_{j0}$

$$h_i =$$

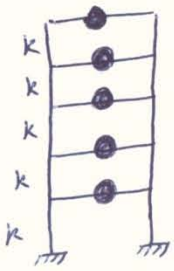
ارتفاع از پایه زمین

حاصل می شود $T_{b0} = \sum_{j=1}^N f_{j0}$

حاصل می شود $M_{b0} = \sum_{j=1}^N h_j f_{j0}$

مسئله 8.6 را مطالعه کنید.

لرزش اجزای پل در برابر P



$$\tilde{m} = \sum_{j=1}^5 m_j \psi_j^2 = m \frac{1^2 + 2^2 + 3^2 + 4^2 + 5^2}{5^2} = \frac{11}{5} m$$

$$\tilde{k} = \sum_{j=1}^5 k_j (\psi_j - \psi_{j-1})^2 = k \frac{1^2 + 1^2 + 1^2 + 1^2 + 1^2}{5^2} = \frac{k}{5}$$

$$\tilde{L} = \sum_{j=1}^5 m_j \psi_j = m \frac{1+2+3+4+5}{5} = 3m$$

$$\tilde{m} = \frac{11}{5} \Rightarrow \ddot{z} + \omega_n^2 z = -\frac{15}{11} \ddot{u}_g(t)$$

که 2 تغییر مکان جابجایی در راستای هم باشد (مستوی) $(\psi_j = 1)$

$$\omega_n = \sqrt{\frac{k/5}{11m/5}} = 0.302 \sqrt{\frac{k}{m}}$$

مقدار ω_n در حدود 0.3 دهه بزرگتر از مقدار دقیق است.

Rayleigh's Method, 1873

روش رالی

این روش برای سیستم‌های تک‌درجه‌ای و می‌تواند استفاده کند.

$$\omega_n = \sqrt{\frac{k_{eq}}{m}}$$

۱- سیستم جرم-فنر

$$\omega_n^2 = \frac{\int_0^l EI(x) [\psi''(x)]^2 dx}{\int_0^l m(x) [\psi(x)]^2 dx}$$

۲- سیستم با جهش در جرم گسترده

$$\omega_n^2 = \frac{\sum_{j=1}^N k_j (\psi_j - \psi_{j-1})^2}{\sum_{j=1}^N m_j \psi_j^2} = \frac{\psi^T K \psi}{\psi^T m \psi}$$

۳- سیستم با جرم متمرکز (قاب‌پوش)

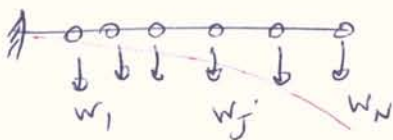
اصطلاحاً به آن خارج قسمت رالی می‌گویند.

* فرکانس تقریبی حاصل از روش رالی (با ψ فرضاً همواره نزدیک‌ترین فرکانس میس (کمترین فرکانس ارتعاش) است)

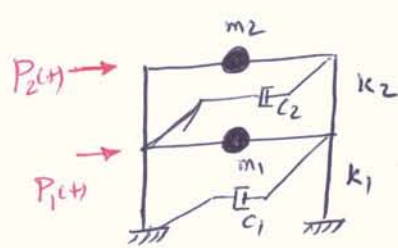
* خارج قسمت رالی (همی‌دهندگی) وقتی ψ نامناسب (تخمین بسیار خوبی از فرکانس اصلی ارتعاش نیست) می‌دهد.

* انتخاب ψ ، دقت روش را مشخص می‌کند.

نیمه‌آنتی‌سیمیتریک، تغییر شکل ساده‌گت نزدیک‌ترین که به صورت جاسی وارد می‌شوند است.

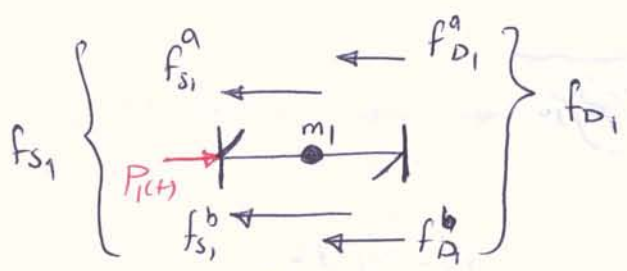
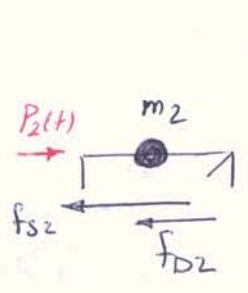


از کتاب بزرگ رو صیغه شروع می‌کنیم
 ترجمه است
 از تئوری شکل جدول تعداد ستونها صرف نظر کرده‌ایم
 از آنم نزدیک جدول درستی نسبتا صرف نظر کرده‌ایم



تعداد درجه‌های آزادی هم مستقل لازم بره توین و صفت تیر شکل یافته جمها
 نسبت به صفت لولین و تعداد درجه آزادی (رینج) نامبره‌ها بود.

نویسنده معادلات رینج



$$m_2 \ddot{u}_2 + f_{D2} + f_{s2} = P_2(t)$$

$$m_2 \ddot{u}_2 + f_{D2} + f_{s2} = P_2(t)$$

$$\Rightarrow \begin{bmatrix} m_1 & 0 \\ 0 & m_2 \end{bmatrix} \begin{bmatrix} \ddot{u}_1 \\ \ddot{u}_2 \end{bmatrix} + \begin{Bmatrix} f_{D1} \\ f_{D2} \end{Bmatrix} + \begin{Bmatrix} f_{s1} \\ f_{s2} \end{Bmatrix} = \begin{Bmatrix} P_1(t) \\ P_2(t) \end{Bmatrix}$$

or

$$\boxed{m \ddot{u} + f_D + f_s = P(t)}$$

$V_j = k_j \Delta_j$ $u_j - u_{j-1} =$ *تغییر طول به نسبت جرم*

کمیته جرم
شرایط پیوستگی

$$f_{s2} = k_2(u_2 - u_1)$$

$$\Rightarrow f_{s1}^a = -f_{s2} = k_2(u_1 - u_2)$$

$$\Rightarrow f_{s1} = \underbrace{f_{s1}^b}_{\text{میتواند}} + \underbrace{f_{s1}^a}_{\text{پیوستگی}} = k_1 u_1 + k_2(u_1 - u_2)$$

$$\Rightarrow \begin{cases} f_{s1} \\ f_{s2} \end{cases} = \begin{bmatrix} k_1 + k_2 & -k_2 \\ -k_2 & k_2 \end{bmatrix} \begin{bmatrix} u_1 \\ u_2 \end{bmatrix}$$

ماتریس کوپل شده \longleftrightarrow *از عملیات جرم قابل حصول است*

$$V_j = c_j \dot{\Delta}_j$$

به نسبت جرم

$$\Rightarrow f_{D2} = c_2(\dot{u}_2 - \dot{u}_1)$$

$$\Rightarrow f_{D1} = c_1 \dot{u}_1 + c_2(\dot{u}_1 - \dot{u}_2)$$

$$\Rightarrow \begin{cases} f_{D1} \\ f_{D2} \end{cases} = \begin{bmatrix} c_1 + c_2 & -c_2 \\ -c_2 & c_2 \end{bmatrix} \begin{bmatrix} \dot{u}_1 \\ \dot{u}_2 \end{bmatrix}$$

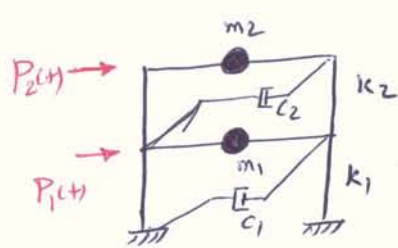
ماتریس کوپل شده

$$\Rightarrow \underline{m} \ddot{\underline{u}} + \underline{c} \dot{\underline{u}} + \underline{k} \underline{u} = \underline{P}(t) \rightarrow$$

شکل در معادله دینامیک حرکت است
که معمولاً هم شکل u_1 و هم u_2 در آن باشد!

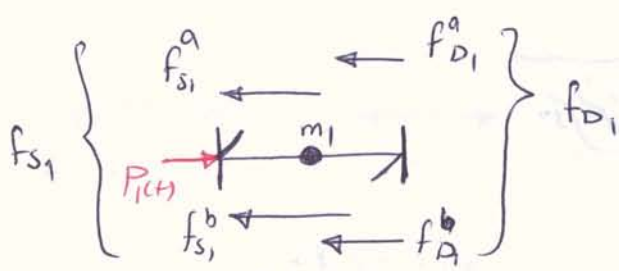
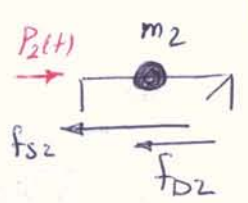
So it is a Coupled Equation.

از قاب برقی دو صفت شروع می کنیم
 مبرصا مد انت
 از تغییر شکل محزون برضاد ستمو صر ففر ستمو اس
 از اثر ستمو محزون در ستمو ستمو ستمو ستمو اس



تعداد تغییر شکل ها مستقل لازم بر تونی و صفت تغییر شکل یافته جها
 نسبت به صفت اولیون و تعداد درج است از درون (نویسی) نامبره ها سدر

نویسنه معادلات زین سیک



$$m_2 \ddot{u}_2 + f_{D2} + f_{s2} = P_2(t)$$

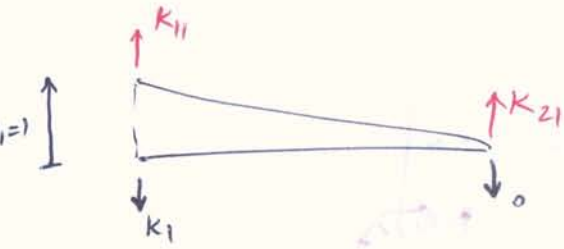
$$m_2 \ddot{u}_2 + f_{D2} + f_{s2} = P_2(t)$$

$$\begin{bmatrix} m_1 & 0 \\ 0 & m_2 \end{bmatrix} \begin{bmatrix} \ddot{u}_1 \\ \ddot{u}_2 \end{bmatrix} + \begin{Bmatrix} f_{D1} \\ f_{D2} \end{Bmatrix} + \begin{Bmatrix} f_{s1} \\ f_{s2} \end{Bmatrix} = \begin{Bmatrix} P_1(t) \\ P_2(t) \end{Bmatrix}$$

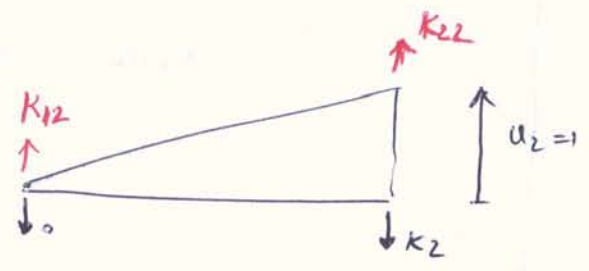
or

$$\boxed{m \ddot{u} + f_D + f_s = P(t)}$$

$$K = \begin{bmatrix} K_{11} & K_{12} \\ K_{21} & K_{22} \end{bmatrix}$$



$$u_1 = 1, u_2 = 0$$



$$u_1 = 0, u_2 = 1$$

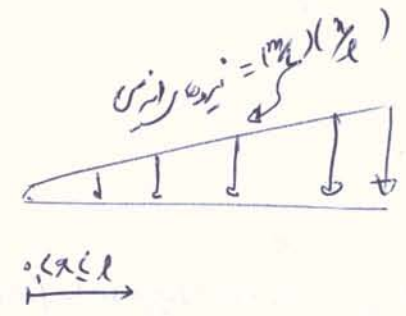
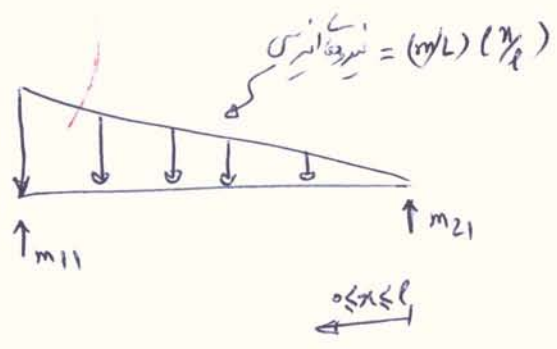
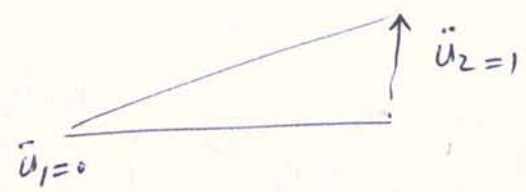
$$\Rightarrow K = \begin{bmatrix} K_1 & 0 \\ 0 & K_2 \end{bmatrix}$$

سکات ۳ - تعیین مقدار جابجایی

حاصل آنگاه از فرمول درستی داریم:

$m_{ij} =$ نیرو در سر ۱ اگر در سر ۱ واحد جابجایی داشته باشیم و در سر ۲ واحد جابجایی نداشته باشیم.

و اگر در سر ۲ واحد جابجایی داشته باشیم و در سر ۱ واحد جابجایی نداشته باشیم.



$$m_{11} = m/3$$

$$m_{21} = m/6$$

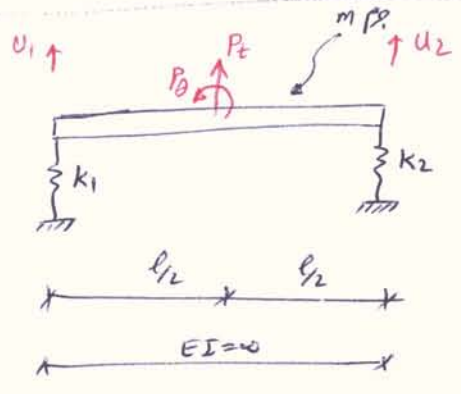
$$m_{22} = m/3$$

$$m_{12} = m/6$$

برای قاب n طبقه

$$\underline{k} = \begin{bmatrix} k_1+k_2 & -k_2 & 0 & 0 \\ & k_2+k_3 & -k_3 & \\ & & k_3+k_4 & -k_4 \\ & & & \dots \\ & & & & k_{N-1}+k_N & -k_N \\ & & & & & k_N \end{bmatrix}$$

Ex. 9.2

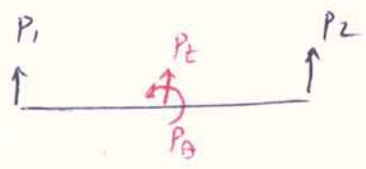


معادله حرکت سازه در بارهای ایستاتی نباید

سکات ۱ - تعیین درجات آزادی نسبی

مترادف: این دو حرکت هم همگامند یعنی

سکات ۲ - نیروهای سازه در جهت راست و چپ از مرکز در نتیجه اعمال بارها



$$\begin{cases} P_1 + P_2 = P_T \\ P_2 l = P_B + P_T l/2 \end{cases} \Rightarrow \begin{cases} P_1 = P_T/2 - P_B/l \\ P_2 = P_B/l + P_T/2 \end{cases}$$

سکات ۳: تعیین درجه نسبی

از تکمیل بارها می توانیم بدست آوریم که

$k_{ij} =$ نیروی درجه آزادی i را برای ایجاد تغییرات واحد در درجه آزادی j می توانیم بدست آوریم

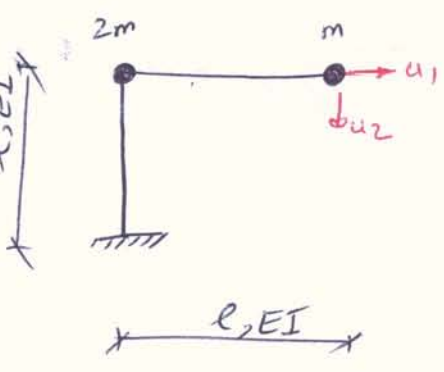
$$m\ddot{u} + ku = P(t)$$

$$\Rightarrow \frac{m}{6} \begin{bmatrix} 2 & 1 \\ 1 & 2 \end{bmatrix} \begin{bmatrix} \ddot{u}_1 \\ \ddot{u}_2 \end{bmatrix} + \begin{bmatrix} k_1 & 0 \\ 0 & k_2 \end{bmatrix} \begin{bmatrix} u_1 \\ u_2 \end{bmatrix} = \begin{bmatrix} P_{1/2} - P_0/l \\ P_{2/2} + P_0/l \end{bmatrix}$$

the equation of motion is coupled!

مثال 9.3 مطالعه شود.
9.4
9.5

Ex. 9.6



معادله ارتعاشی را برای این سیستم (از نظر شکل فیزیکی در دو درجه آزادی) در دو جهت بردار هم‌افزون بنویسید.

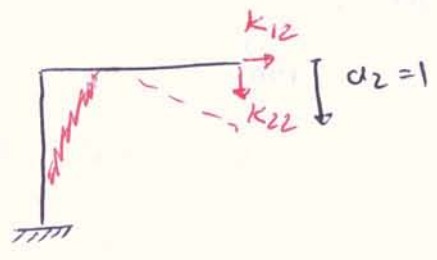
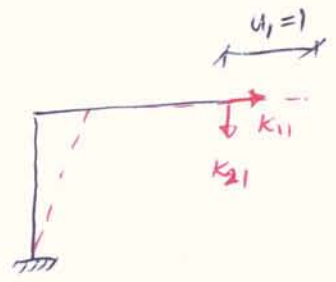
تفسیر ماتریس

$$2m + m = 3m$$

چون $u_1 = 1$ به سازه داده شود (مورد هم‌افزون) سازه را در جهت u_2 حرکت می‌دهیم (مورد عمود) و سازه را در جهت u_1 حرکت می‌دهیم (مورد عمود) و سازه را در جهت u_2 حرکت می‌دهیم (مورد عمود).

$$m \ddot{u}_2 = 1$$

$$m = \begin{bmatrix} 3m & 0 \\ 0 & m \end{bmatrix}$$



تفسیر ماتریس

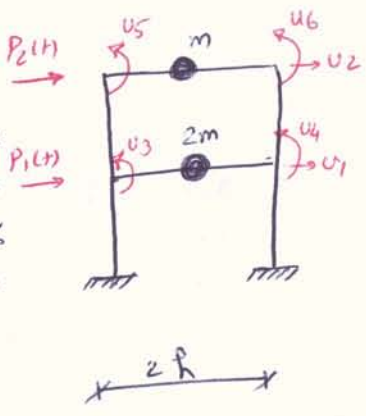
$$K = \frac{6EI}{7l^3} \begin{bmatrix} 8 & -3 \\ -3 & 2 \end{bmatrix}$$

بر اساس روش گزینش اعداد : $\frac{6EI}{7l^3}$ نسبت زلزله است :

$$\begin{bmatrix} 3m & 0 \\ 0 & m \end{bmatrix} \begin{Bmatrix} \ddot{u}_1 \\ \ddot{u}_2 \end{Bmatrix} + \frac{6EI}{7l^3} \begin{bmatrix} 8 & -3 \\ -3 & 2 \end{bmatrix} \begin{Bmatrix} u_1 \\ u_2 \end{Bmatrix} = \begin{Bmatrix} 0 \\ 0 \end{Bmatrix}$$

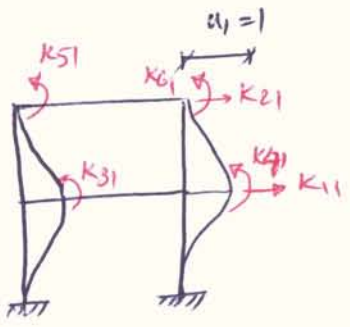
Ex. 9.7.

لذا تغییر شکل محاسبه شود و در هر دو طرف

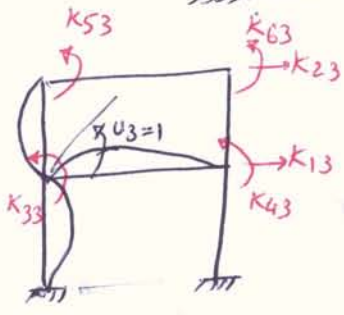


$\left. \begin{array}{l} \text{بردار طول} \\ \text{بردار چرخش} \end{array} \right\} EI$
 $\left. \begin{array}{l} \text{بردار طول} \\ \text{بردار چرخش} \end{array} \right\} 2EI$

درجه آزادی
 درجه درجه



or



در واقع 3 بار باید عمل شود تا هر دو قسمتی را رسم کرد

$$k = \frac{EI}{h^3} \begin{bmatrix} 72 & -24 & 6h & 6h & -6h & -6h \\ & 24 & 6h & 6h & 6h & 6h \\ & & 16h^2 & 2h^2 & 2h^2 & 0 \\ & & & 16h^2 & 0 & 2h^2 \\ & & & & 0 & 2h^2 \\ & & & & h^2 & 6h^2 \end{bmatrix}$$

Sym

در تغییر شکل صاف و ... از آنجا که ...

$$m = m \begin{bmatrix} 2 & & & & & \\ & 1 & & & & \\ & & 0 & & & \\ & & & 0 & & \\ & & & & 0 & \\ & & & & & 0 \end{bmatrix}$$

$$u = \begin{bmatrix} u_1 \\ u_2 \\ u_3 \\ u_4 \\ u_5 \\ u_6 \end{bmatrix}$$

$$m\ddot{u} + ku = p(t)$$

معادله ارتعاشی بصورت ذیل است:

- با فرض معادله در نظر هستند
- در جهتهای در راستای جرم می سنتر وجود دارد!

Static Condensation
تأمین استاتیکی

توجه: در صورتی که درجه آزادی مورد نظر کم باشد،
مسئله در حال قبل در یک همبندی، هم در درجه آزادی مورد نظر باشد.

حال اگر در این حالت حرکت در این سیستم (مثل زلزله) باشد، می توانیم از تکرار امپدانس استفاده کنیم.

تکرار درجه آزادی (دینامیک)

$$\begin{bmatrix} m_{tt} & 0 \\ 0 & 0 \end{bmatrix} \begin{bmatrix} \ddot{u}_t \\ \ddot{u}_0 \end{bmatrix} + \begin{bmatrix} k_{tt} & k_{t0} \\ k_{0t} & k_{00} \end{bmatrix} \begin{bmatrix} u_t \\ u_0 \end{bmatrix} = \begin{bmatrix} P_t(t) \\ 0 \end{bmatrix}$$

درجه آزادی مورد نظر (تکرار شده)

$$\Rightarrow \begin{cases} m_{tt} \ddot{u}_t + k_{tt} u_t + k_{t0} u_0 = P_t(t) \\ k_{0t} u_t + k_{00} u_0 = 0 \end{cases} \Rightarrow u_0 = -k_{00}^{-1} k_{0t} u_t$$

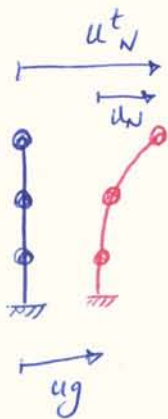
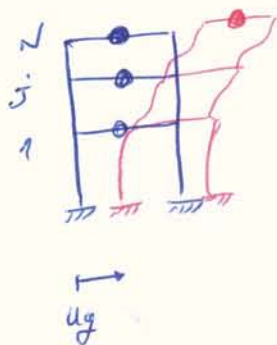
$$m_{tt} \ddot{u}_t + (k_{tt} - k_{0t}^T k_{00}^{-1} k_{0t}) u_t = P_t(t)$$

\hat{k}_{tt}

$$\Rightarrow \boxed{m_{tt} \ddot{u}_t + \hat{k}_{tt} u_t = P_t(t)} \xrightarrow{\mathcal{D}} u_t(t) \xrightarrow{\text{بر بستن}} u_0(t) \xrightarrow{\text{بر بستن}}$$

مثال 9.8 و 9.9

قالب دو جرمه - ارتعاش استاتیکی زمین



برابر عرضی $\Rightarrow u_{z1}^t = u_1(t) + u_g(t)$ $\xrightarrow{P.N.}$ $u_{1+}^t = u_1(t) + u_g(t)$ $\begin{matrix} \nearrow \\ \text{بردار بردار} \\ \text{در فضای مختصات} \\ \text{دو جرمه باشند} \end{matrix}$

در این حالت $\Rightarrow f_I + f_D + f_S = 0 \Rightarrow m\ddot{u} + c\dot{u} + ku = -m_1\ddot{u}_g(t)$

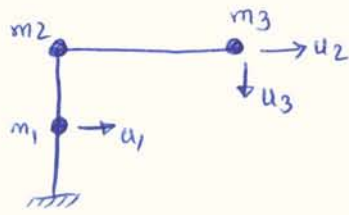
* N عدد درجه‌های ارتعاش برابر می‌شود (مثلاً 2 درجه‌ای)

* هر جرم k از تمام استیج به سمت دیگر تا به برابری رسیدن در تمام دور و حذف شود.

* به غیر از آن که در زلزله مثل حرکت زمین $(\ddot{u}_g(t) - m_2 \ddot{u}_g(t))$ در دور می‌باشند (غیر)

$\Rightarrow P_{eff}(t) = -m_1\ddot{u}_g(t)$

سازه و محق بهم درجه آزادی در انتهای حرکت زمین نیستند



$$m = \begin{bmatrix} m_1 & & \\ & m_2 + m_3 & \\ & & m_3 \end{bmatrix}$$

معادله حرکت از صورت $\underline{m} \ddot{\underline{u}}^t = \underline{m} (\ddot{\underline{u}} + \ddot{\underline{u}}_g)$ که

$$= \begin{bmatrix} m_1 & & \\ & m_2 + m_3 & \\ & & m_3 \end{bmatrix} \begin{bmatrix} \ddot{u}_1 + \ddot{u}_g \\ \ddot{u}_2 + \ddot{u}_g \\ \ddot{u}_3 + 0 \end{bmatrix}$$

$$\Rightarrow P_{eff} = \begin{bmatrix} m_1 & & \\ & m_2 + m_3 & \\ & & m_3 \end{bmatrix} \begin{bmatrix} -\ddot{u}_g \\ -\ddot{u}_g \\ 0 \end{bmatrix} = \begin{bmatrix} m_1 & & \\ & m_2 + m_3 & \\ & & m_3 \end{bmatrix} (-\ddot{u}_g) \begin{bmatrix} 1 \\ 1 \\ 0 \end{bmatrix}$$

بردار اثر - یعنی که درجه آزادی هم در انتهای حرکت زمین نیستند، هر دو درجه آزادی را به هم می‌زنند

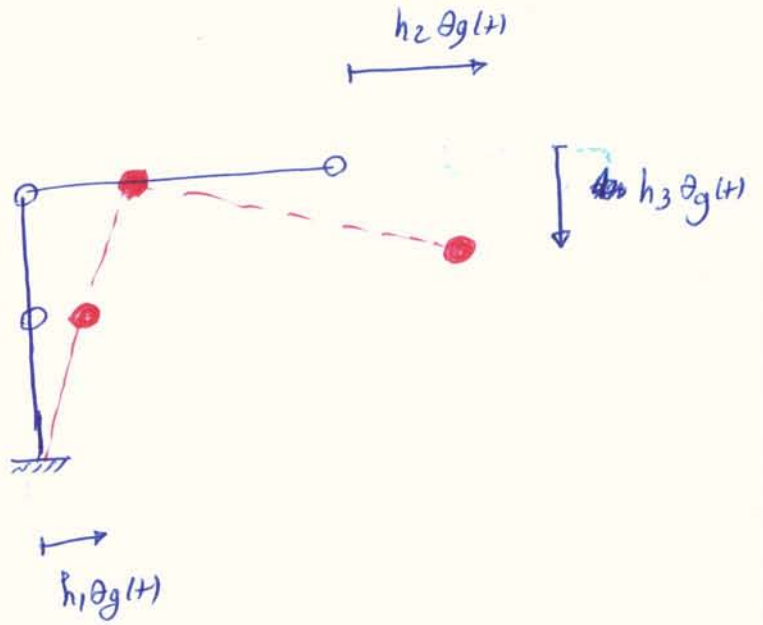
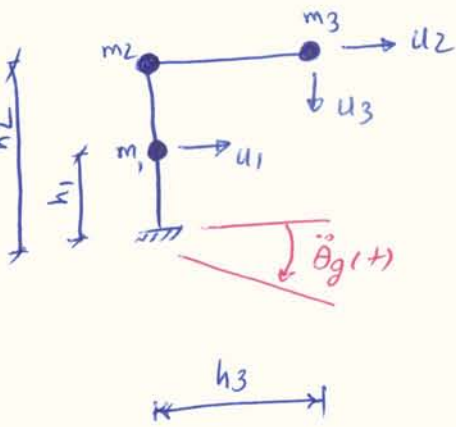
$$= \begin{bmatrix} -m_1 \ddot{u}_g (+) \\ -(m_2 + m_3) \ddot{u}_g (+) \\ 0 \end{bmatrix}$$

$m_{12} = 0$ = میرود 1 به آزادی 2 - دترمینان درجه آزادی یکسان است

میرود

* وقت دورا زمین

- معرکہ وقت دورا زمین اندازہ گیری کا نمونہ



عملی لول تبدیل
رکن بنیے

$$= \underline{m \ddot{u}} = \begin{bmatrix} m_1 & & \\ & m_2+m_3 & \\ & & m_3 \end{bmatrix} \begin{bmatrix} \ddot{u}_1 + h_1 \ddot{\theta}_g(t) \\ \ddot{u}_2 + h_2 \ddot{\theta}_g(t) \\ \ddot{u}_3 + h_3 \ddot{\theta}_g(t) \end{bmatrix}$$

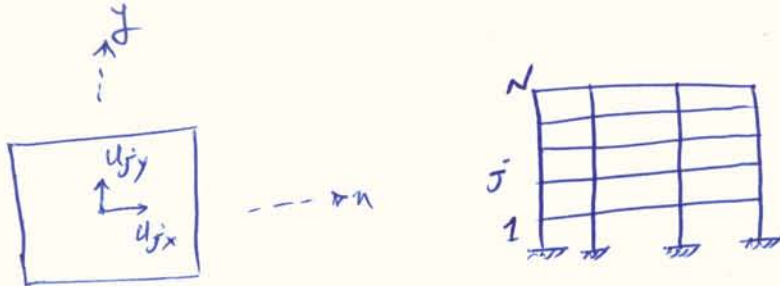
کے تحت تغیر شکل کا نمونہ

بہاگت دورا زمین
(سازہ طلب ہے)

$$\Rightarrow P_{eff} = \begin{bmatrix} m_1 & & \\ & m_2+m_3 & \\ & & m_3 \end{bmatrix} [-\ddot{\theta}_g(t)] \begin{bmatrix} h_1 \\ h_2 \\ h_3 \end{bmatrix} = \begin{bmatrix} -m_1 h_1 \ddot{\theta}_g(t) \\ -(m_2+m_3) h_2 \ddot{\theta}_g(t) \\ -m_3 h_3 \ddot{\theta}_g(t) \end{bmatrix}$$

ساختارهای ممتد در پلان - حرکت انتقالی زمین

ساختار N طبقه دارا کفها صلب و ممتد در پلان



* می توان ساختار را با تعداد معادله حرکت مستقل از هم در نظر گرفت.

مثلاً: اگر قاب نام در دسترس است

$$f_{si} = k_{xi} u_{xi}$$

که نسبت درجه آزادی

تغییرات است

چون تعداد معادله حرکت (درجهت n) تغییرات بین لاکل است.

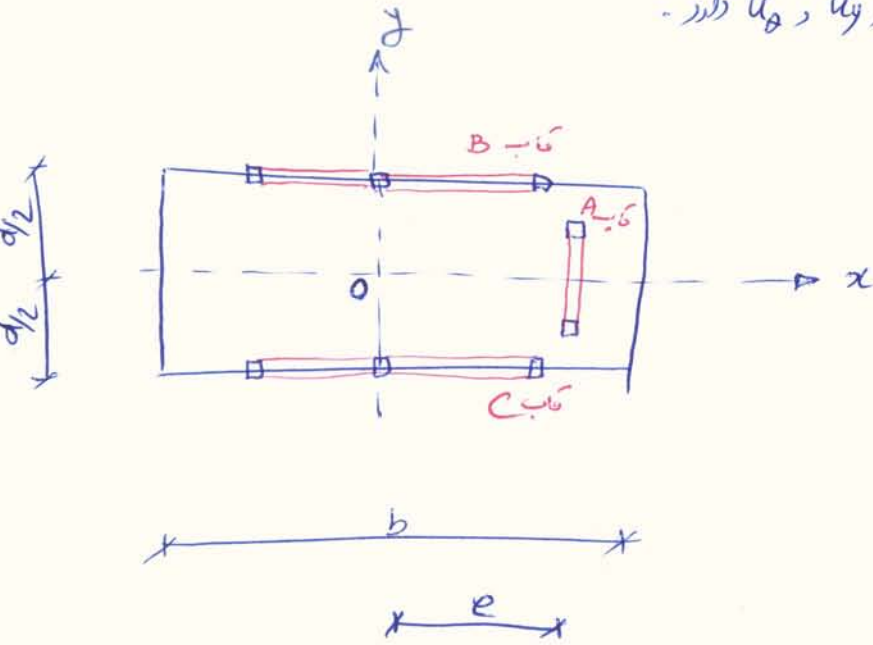
$$u_{xi} = u_x$$

$$\begin{cases} f_{s1} = k_{x1} u_x \\ f_{s2} = k_{x2} u_x \\ \vdots \\ f_{sN} = k_{xN} u_x \end{cases} \Rightarrow \sum f_{si} = \sum k_{xi} u_x \Rightarrow \boxed{f_s = k_x u_x}$$

تغییرات درجه آزادی

نسبت درجه آزادی در تمام نقاط

* در این حالت اگر فرض کنیم که در دو جهت x و y خواص E و I یکسان است.
 * منحنی تغییرات u_x و u_y در طول u دارد.



$\uparrow \ddot{u}_y(t)$

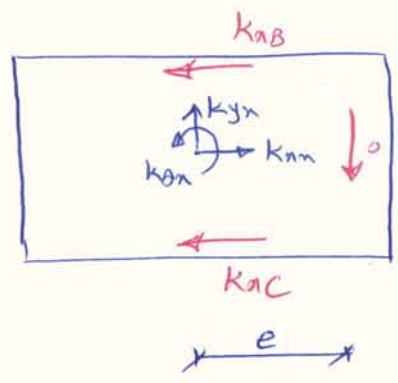
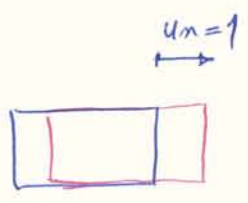
$$\begin{bmatrix} f_{sx} \\ f_{sy} \\ f_{s\theta} \end{bmatrix} = \begin{bmatrix} k_{xx} & k_{xy} & k_{x\theta} \\ k_{yx} & k_{yy} & k_{y\theta} \\ k_{\theta x} & k_{\theta y} & k_{\theta\theta} \end{bmatrix} \begin{bmatrix} u_x \\ u_y \\ u_\theta \end{bmatrix} \quad \leftarrow \quad \underline{f_s} = \underline{k} \underline{u}$$

فرض کنید $k_{xc} = k_{xb} = k_y$ برابر k_y باشد.

$$\begin{cases} f_{sA} = k_y u_A \\ f_{sB} = k_{x\theta} u_B \\ f_{sC} = k_{xc} u_C \end{cases}$$

بدون استفاده از روش گزینشی
قابل حصول است.

a) $u_x = 1, u_y = 0, u_\theta = 0$



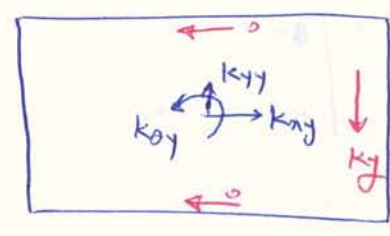
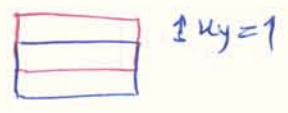
\Rightarrow

$$k_{NN} = k_{NB} + k_{NC}$$

$$k_{yN} = 0$$

$$k_{\theta N} = \frac{d}{2} (k_{NC} - k_{NB})$$

b) $u_x = 0, u_y = 1, u_\theta = 0$

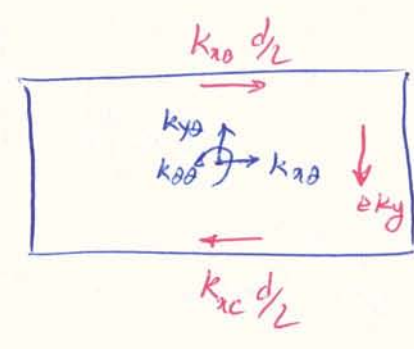
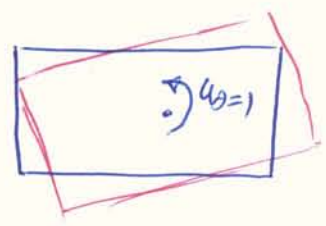


$$k_{NY} = 0$$

$$k_{YY} = k_Y$$

$$k_{\theta Y} = e k_Y$$

c) $u_x = u_y = 0, u_\theta = 1$



$$k_{N\theta} = \frac{d}{2} (k_{NC} - k_{NB})$$

$$k_{Y\theta} = e k_Y$$

$$k_{\theta\theta} = e^2 k_Y + \left(\frac{d^2}{4}\right) (k_{NB} + k_{NC})$$

V^r

$$\Rightarrow K = \begin{bmatrix} K_{NB} + K_{NC} & 0 & \frac{d}{2}(K_{NC} - K_{NB}) \\ 0 & K_y & eky \\ \frac{d}{2}(K_{NC} - K_{NB}) & eky & e^2ky + \frac{d^2}{4}(K_{NB} + K_{NC}) \end{bmatrix}$$

$$\underline{f_I} = \begin{Bmatrix} f_{Ix} \\ f_{Iy} \\ f_{I\theta} \end{Bmatrix} = \begin{bmatrix} m & & \\ & m & \\ & & I_0 \end{bmatrix} \begin{Bmatrix} \ddot{u}_n^t \\ \ddot{u}_y^t \\ \ddot{u}_\theta^t \end{Bmatrix}$$

نیروی انحرافی

$$\Rightarrow \begin{bmatrix} m & & \\ & m & \\ & & I_0 \end{bmatrix} \begin{bmatrix} \ddot{u}_x \\ \ddot{u}_y \\ \ddot{u}_\theta \end{bmatrix} + \begin{bmatrix} K_{nn} & 0 & K_{n\theta} \\ 0 & K_{yy} & K_{y\theta} \\ K_{\theta n} & K_{\theta y} & K_{\theta\theta} \end{bmatrix} \begin{bmatrix} u_n \\ u_y \\ u_\theta \end{bmatrix} = - \begin{bmatrix} m \ddot{u}_{gx}(t) \\ m \ddot{u}_{gy}(t) \\ I_0 \ddot{u}_{g\theta}(t) \end{bmatrix}$$

نتیجه: اگر فقط یک از حرکت زلزله داشته باشیم، مثلاً $\ddot{u}_{gx}(t)$ ، آن معادله دینامیک دوم نبر موارد غیر همخوانی خواهد داشت که علت آن عدم تکیه بر مرکز است.

مکانی خاص: $(e=0)$

$$\begin{bmatrix} m & & \\ & m & \\ & & I_0 \end{bmatrix} \begin{bmatrix} \ddot{u}_x \\ \ddot{u}_y \\ \ddot{u}_\theta \end{bmatrix} + \begin{bmatrix} 2K_n & 0 & 0 \\ 0 & K_y & 0 \\ 0 & 0 & \frac{d^2}{2}K_n \end{bmatrix} \begin{bmatrix} u_n \\ u_y \\ u_\theta \end{bmatrix} = - \begin{bmatrix} m \ddot{u}_{gx}(t) \\ m \ddot{u}_{gy}(t) \\ I_0 \ddot{u}_{g\theta}(t) \end{bmatrix} \quad (K_B = K_C)$$

جابجایی است که معادله غیر همبسته هستند، لذا مستقل از یکدیگرند. یعنی اینده:

۱- حرکت از زمین برآید از نقطه با یک تندی در دوران در دوری که در اصل معادله دینامیک اول در یک می آید.

۲-

۳- سیستم همبسته حرکت می کند و مرکز آن در دوران زمین حرکت می کند.

معادله ارتعاش آزاد سیستم MDOF بصورت ذیل است:

$$m\ddot{u} + ku = 0$$

$$u = u(0) \\ \dot{u} = \dot{u}(0)$$



تایزنه
تایزنه

$$u(t) = q_n(t) \phi_n$$

$$\Rightarrow u(t) = \phi_n (A_n \cos \omega_n t + B_n \sin \omega_n t)$$

فرض کنیم $q_n(t) = A_n \cos \omega_n t + B_n \sin \omega_n t$

$$\Rightarrow \text{فرض کنیم } q_n(t) = A_n \cos \omega_n t + B_n \sin \omega_n t \Rightarrow [-\omega_n^2 m \phi_n + k \phi_n] q_n(t) = 0$$

$q_n(t) \neq 0$
 $\Rightarrow u(t) = 0$ در همه جا
 بجز انتهای آن. یعنی ارتعاش صورت می‌گیرد.

Matrix eigenvalue Problem
 مسئله مقدار ویژه ماتریس

$$k \phi_n = \omega_n^2 m \phi_n$$

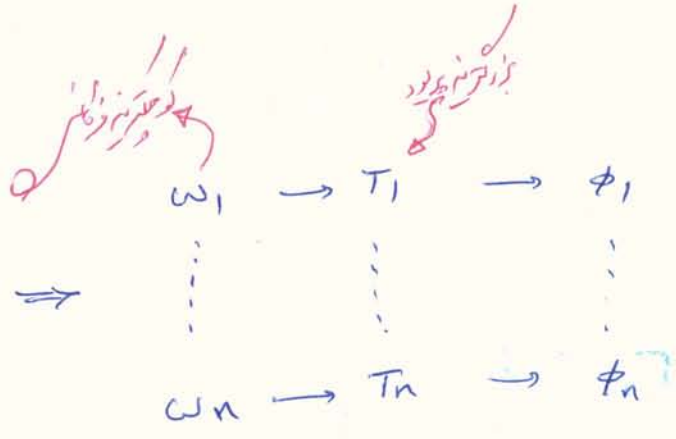
k و m مقدار هستند و ω_n^2 و ϕ_n مجهول هستند.
 اسکالر بردار

$$\Rightarrow [k - \omega_n^2 m] \phi_n = 0 \rightarrow N \text{ معادله همبسته است}$$

این N معادله یک مسئله جواب دارد در بین N فرایض صورت می‌گیرد.

$\Rightarrow \det [K - \omega_n^2 M] = 0 \Rightarrow$ *یک ضربه عملی از دیدگاه N مرتبه N مرتبه*
در صورت همی آید.

معادله مشخصه (فرکانس)



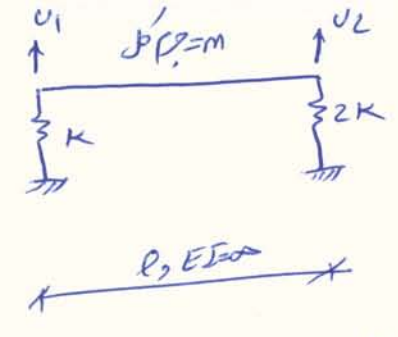
\Rightarrow *در N مرتبه همی برابر ω_n^2 دارد.*
در مرتبه

حول m و k مقدار k و m مثبت معنی اند
 (اگر k و m استیجی انجام شده باشد، m مثبت معنی خواهد بود)

ϕ حالت همی

به صورت مختلفه N مرتبه N مرتبه از دیدگاه N مرتبه از دیدگاه N مرتبه

Ex 10.1



$$\underline{m} = \frac{m}{6} \begin{bmatrix} 2 & 1 \\ 1 & 2 \end{bmatrix}, \quad \underline{k} = k \begin{bmatrix} 1 & 0 \\ 0 & 2 \end{bmatrix} \Rightarrow \underline{k} - m \omega_n^2 \underline{m} = \begin{bmatrix} k - \frac{m \omega_n^2}{3} & -m \omega_n^2 / 6 \\ -m \omega_n^2 / 6 & 2k - \frac{m \omega_n^2}{3} \end{bmatrix}$$

$$\Rightarrow \det[\underline{k} - \omega_n^2 \underline{m}] = 0 \Rightarrow m^2 \omega_n^4 - 12km \omega_n^2 + 24k^2 = 0 \Rightarrow \omega_1^2 = 2.536 \frac{k}{m}$$

$$\omega_2^2 = 9.464 \frac{k}{m}$$

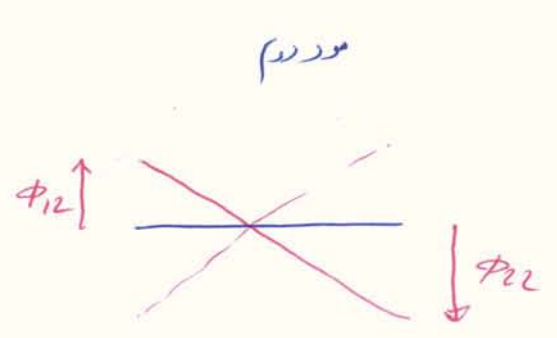
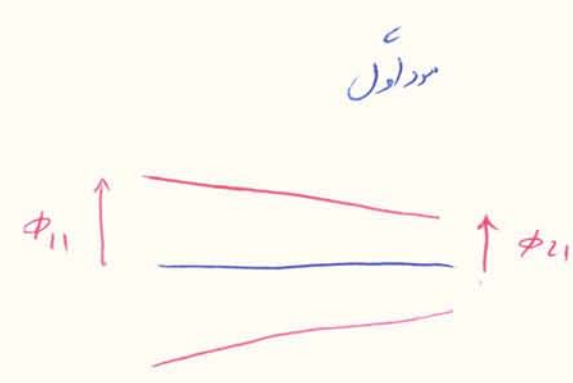
$$\Rightarrow \begin{cases} \omega_1 = 1.592 \sqrt{\frac{k}{m}} \\ \omega_2 = 3.076 \sqrt{\frac{k}{m}} \end{cases} \Rightarrow \begin{cases} T_1 = \frac{2\pi}{\omega_1} = 3.946 \sqrt{\frac{m}{k}} \\ T_2 = \frac{2\pi}{\omega_2} = 2.042 \sqrt{\frac{m}{k}} \end{cases}$$

$$[\underline{k} - \omega_n^2 \underline{m}] \{\phi_n\} = \underline{0} \xrightarrow{\text{for } \omega_1} k \begin{bmatrix} 0.155 & -0.423 \\ -0.423 & 1.165 \end{bmatrix} \begin{bmatrix} \phi_{11} \\ \phi_{21} \end{bmatrix} = \begin{bmatrix} 0 \\ 0 \end{bmatrix}$$

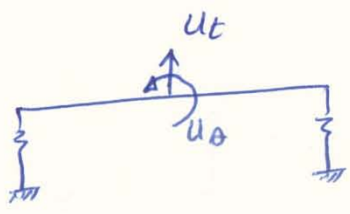
$$\text{if } \phi_{11} = 1 \Rightarrow \phi_{21} = 0.366 \Rightarrow \phi_1 = \begin{bmatrix} 1 \\ 0.366 \end{bmatrix}$$

$$[\underline{k} - \omega_n^2 \underline{m}] \{\phi_n\} = \underline{0} \xrightarrow{\text{for } \omega_2} k \begin{bmatrix} -2.155 & -1.577 \\ -1.577 & -1.155 \end{bmatrix} \begin{bmatrix} \phi_{12} \\ \phi_{22} \end{bmatrix} = \begin{bmatrix} 0 \\ 0 \end{bmatrix}$$

$$\text{if } \phi_{12} = 1 \Rightarrow \phi_{22} = -1.366 \Rightarrow \phi_2 = \begin{bmatrix} 1 \\ -1.366 \end{bmatrix}$$



عنه حبيب



کنترل سیم در کمانش در بدو

صم استوار کرد در کمانش با هم به این روش قبلی رسم را

$$\underline{k} \underline{\phi}_n = \omega_n^2 \underline{m} \underline{\phi}_n \xrightarrow{\text{ضرب در } \underline{\phi}_r^T} \underline{\phi}_r^T \underline{k} \underline{\phi}_n = \omega_n^2 \underline{\phi}_r^T \underline{m} \underline{\phi}_n \quad (1) \quad \underline{\text{تولد می‌دهد}}$$

$$\underline{k} \underline{\phi}_r = \omega_r^2 \underline{m} \underline{\phi}_r \xrightarrow{\text{ضرب در } \underline{\phi}_n^T} \underline{\phi}_n^T \underline{k} \underline{\phi}_r = \omega_r^2 \underline{\phi}_n^T \underline{m} \underline{\phi}_r \quad (2)$$

$$\textcircled{1} \xrightarrow{\text{کسر از (2) بر (1)}} \underline{\phi}_n^T \underline{k} \underline{\phi}_r = \omega_n^2 \underline{\phi}_n^T \underline{m} \underline{\phi}_r \xrightarrow{\text{تفاضل}} (\omega_n^2 - \omega_r^2) \underline{\phi}_n^T \underline{m} \underline{\phi}_r = 0$$

if $\omega_n \neq \omega_r \Rightarrow$

$$\underline{\phi}_n^T \underline{m} \underline{\phi}_r = 0$$

$$\underline{\phi}_n^T \underline{k} \underline{\phi}_r = 0$$

همین ترتیب می‌توانستیم برای ω_r هم

نتیجه گرفته می‌شود:

$$\underline{\phi}_1^T \underline{m} \underline{\phi}_2 = 0$$

$$\langle 1 \quad 0.366 \rangle \frac{m}{6} \begin{bmatrix} 2 & 1 \\ 1 & 2 \end{bmatrix} \begin{Bmatrix} 1 \\ -0.366 \end{Bmatrix} = 0$$

تقلید فردی اجاب مسئله که ما داریم در بعضی ذرات قطره هستند.

$$\underline{K} = \underline{\Phi}^T \underline{k} \underline{\Phi}$$

$$\underline{M} = \underline{\Phi}^T \underline{m} \underline{\Phi}$$

$$K_n = \underline{\phi}_n^T \underline{k} \underline{\phi}_n$$

$$M_n = \underline{\phi}_n^T \underline{m} \underline{\phi}_n$$

که در آن $\underline{\phi}_n$ همواره قطره‌ها را می‌زنند

در K و M مثبت هستند و همواره قطره M و K نیز مثبت خواهد بود

$$K_n = \underline{\phi}_n^T (\omega_n^2 \underline{m} \underline{\phi}_n) = \omega_n^2 (\underline{\phi}_n^T \underline{m} \underline{\phi}_n) = \omega_n^2 M_n$$

۷۹

که ماتریس مودال

$$\Phi = [\phi_{jn}] = \begin{bmatrix} \phi_{11} & \phi_{12} & \dots & \phi_{1n} \\ \phi_{21} & \phi_{22} & \dots & \phi_{2n} \\ \vdots & \vdots & \ddots & \vdots \\ \phi_{n1} & \phi_{n2} & \dots & \phi_{nn} \end{bmatrix}$$

\uparrow \uparrow \uparrow
 ϕ_1 ϕ_2 ϕ_n

ماتریس طبیعی

$$\Omega^2 = \begin{bmatrix} \omega_1^2 & & & \\ & \omega_2^2 & & \\ & & \dots & \\ & & & \omega_n^2 \end{bmatrix}$$

برای هر مودال n داریم $k\phi_n = m\phi_n\omega_n^2$ $\xrightarrow{\text{در یک طرف ضرب}} k\Phi = m\Phi\Omega^2$

کار انجام شده توسط نیروها انرژیس در n ام به علت تغییر مکان در r ام مساوی منفی است.

نهایت : مساوی δ در نظر بگیریم که در مورد n ام یا تغییر مکان زیر در حال لرزش است :

$$\left\{ \begin{array}{l} u_n(t) = q_n(t) \phi_n \Rightarrow \ddot{u}_n(t) = \ddot{q}_n(t) \phi_n \Rightarrow (f_I)_n = -m \ddot{u}_n(t) = -m \phi_n \ddot{q}_n(t) \\ u_r(t) = q_r(t) \phi_r \end{array} \right.$$

کار انجام شده توسط نیروها انرژیس در n ام
 تحت تیر شکل ها که در r ام

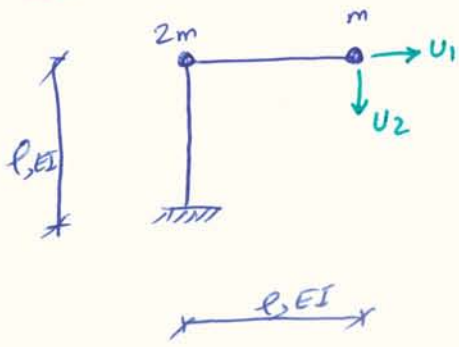
$$= (f_I)_n^T u_r = -(\phi_n^T m \phi_r) \ddot{q}_n(t) q_r(t) = 0$$

جمعینیز در آن نسبت کمند

کار انجام شده توسط نیروها استاتیکی (معدل) تغییر مکان در n ام به علت تغییر مکان در r ام مساوی منفی است.

Ex 10.3

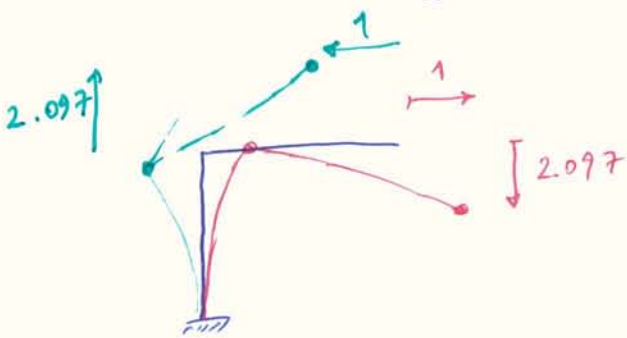
Ex 10.2



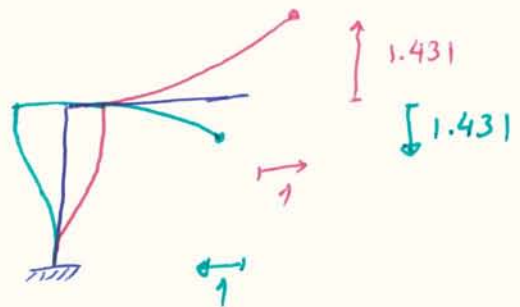
ازین سیستم: $m = \begin{bmatrix} 3m & 0 \\ 0 & m \end{bmatrix}$, $k = \frac{6EI}{7l^3} \begin{bmatrix} 8 & -3 \\ -3 & 2 \end{bmatrix}$

$\det [k - \omega_n^2 m] = 0 \implies \lambda = \frac{7ml^3}{6EI} \omega^2 \implies 3\lambda^2 - 14\lambda + 7 = 0$ $\begin{cases} \lambda_1 = 0.5695 \\ \lambda_2 = 4.0972 \end{cases}$

$\implies \begin{cases} \omega_1 = 0.6987 \sqrt{\frac{EI}{ml^3}} \\ \omega_2 = 1.874 \sqrt{\frac{EI}{ml^3}} \end{cases} \implies \phi_1 = \begin{Bmatrix} 1 \\ 2.097 \end{Bmatrix} , \phi_2 = \begin{Bmatrix} 1 \\ -1.431 \end{Bmatrix}$

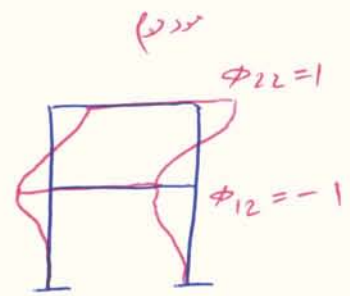
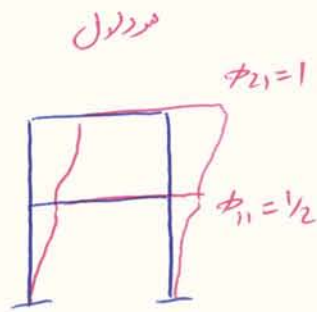
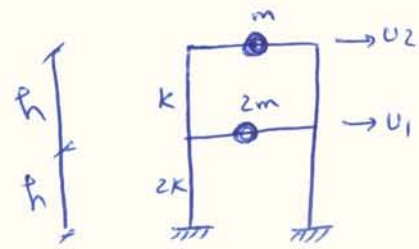


مورد اول ارتعاش



مورد دوم ارتعاش

Ex 10.4



$$m = \begin{bmatrix} 2m & \\ & m \end{bmatrix}, \quad k = \begin{bmatrix} 3k & -k \\ -k & k \end{bmatrix}$$

$$\det [k - \omega_n^2 m] = 0 \Rightarrow (2m^2)\omega^4 - 5km\omega^2 + 2k^2 = 0 \Rightarrow \begin{cases} \omega_1 = \sqrt{\frac{k}{2m}} \\ \omega_2 = \sqrt{\frac{2k}{m}} \end{cases}, \quad k = \frac{24EIc}{h^3}$$

$$\Rightarrow \omega_1 = 3.464 \sqrt{\frac{EIc}{m h^3}} \Rightarrow \phi_1 = \begin{Bmatrix} 0.5 \\ 1 \end{Bmatrix}, \quad \phi_2 = \begin{Bmatrix} -1 \\ 1 \end{Bmatrix}$$

$$\omega_2 = 6.928 \sqrt{\frac{EIc}{m h^3}}$$

$$M_n = \phi_n^T m \phi_n = 1$$

نکته: برای اینکه محاسبات ساده شود (اصطلاحات) صورتی است که مورد دوم

$$M_1 = \phi_1^T m \phi_1 = m < \frac{1}{2} \quad | \quad \begin{bmatrix} 2 & 0 \\ 0 & 1 \end{bmatrix} \begin{Bmatrix} 0.5 \\ 1 \end{Bmatrix} = \frac{3}{2} m$$

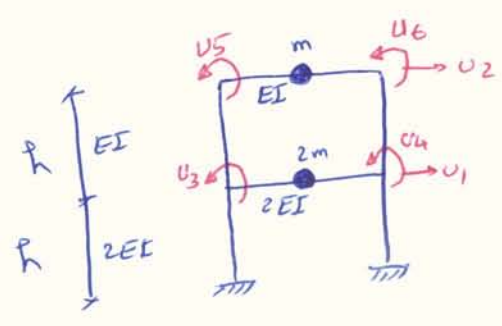
شکل درستی

برای اینکه M_1 واحد شود باید ϕ_1 بر $\sqrt{\frac{3m}{2}}$ تقسیم کرد.

$$\phi_1 = \frac{1}{\sqrt{6m}} \begin{Bmatrix} 1 \\ 2 \end{Bmatrix}$$

شکل درستی ϕ_1

Ex 10.5



$h = 3 \text{ meter}$

Static Condensation $\Rightarrow m_{tt} = m \begin{bmatrix} 2 & 1 \\ 1 & 1 \end{bmatrix}$, $\hat{k}_{tt} = \frac{EI}{h^3} \begin{bmatrix} 54.88 & -17.51 \\ -17.51 & 11.61 \end{bmatrix}$

$\rightarrow \det [k_{tt} - \omega^2 m_{tt}] = 0 \Rightarrow \omega_1 = 2.198 \sqrt{\frac{EI}{mh^3}}$
 $\omega_2 = 5.850 \sqrt{\frac{EI}{mh^3}} \Rightarrow \phi_1 = \begin{Bmatrix} 0.3871 \\ 1 \end{Bmatrix}, \phi_2 = \begin{Bmatrix} -1.2921 \\ 1 \end{Bmatrix}$

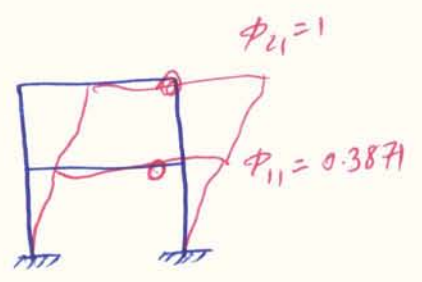
نکته: فرکانس ثابت به شکل قبل هم سره (برای در زیا در سره). دلیل آن اینست که الواف فیدرین تیر نیز در حساب آورده شده است.

$u_0 = -K_{00}^{-1} K_{0t} u_t$

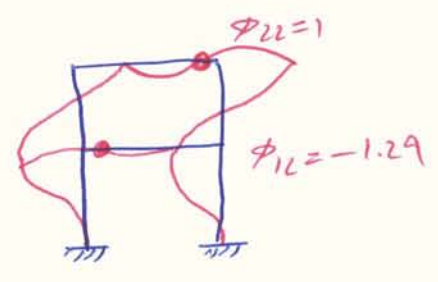
$\begin{Bmatrix} u_3 \\ u_4 \\ u_5 \\ u_6 \end{Bmatrix} = \frac{1}{h} \begin{bmatrix} -0.4426 & -0.2459 \\ -0.4426 & -0.2459 \\ 0.9836 & -0.7869 \\ 0.9836 & -0.7869 \end{bmatrix} \begin{Bmatrix} 0.3871 \\ 1 \end{Bmatrix} = \frac{1}{h} \begin{Bmatrix} -0.4172 \\ -0.4172 \\ -0.4061 \\ -0.4061 \end{Bmatrix}$ در صورت اول

$\begin{Bmatrix} u_3 \\ u_4 \\ u_5 \\ u_6 \end{Bmatrix} = \frac{1}{h} \begin{Bmatrix} 0.3258 \\ 0.3258 \\ -2.0573 \\ -2.0573 \end{Bmatrix}$

در صورت دوم

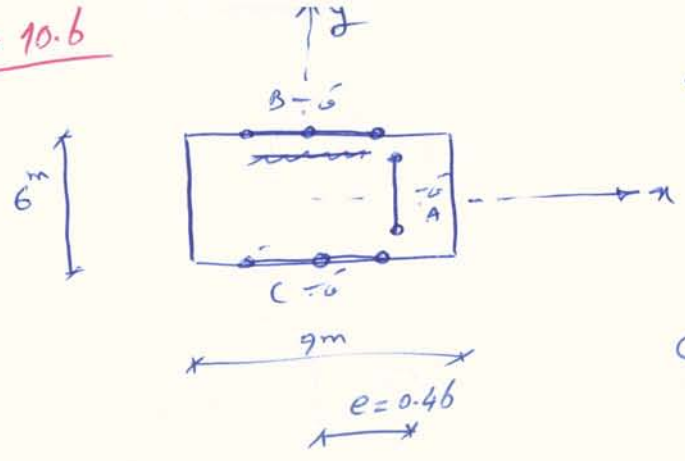


مورد اول



مورد دوم

Ex 10.6



وزن سطح = $500 \frac{kg}{m^2}$

A- \bar{c} $\rightarrow k_y = 112 \frac{ton}{m}$

C و B- \bar{c} $\rightarrow k_n = 60 \frac{ton}{m}$

محل ارتعاش $h = 3.6m$

وزن سطح = $\omega = 9 \times 6 \times 0.5 = 27 \text{ ton}$

جرم سطح = $m = \frac{\omega}{g} = 2.752 \text{ ton sec}^2/m$

$I_0 = \frac{m(b^2 + d^2)}{12} = 26.83 \text{ ton} \cdot m^2/s^2$

که
مان اینترتین
حول محور z

حل:

$$\begin{bmatrix} m & & \\ & m & \\ & & I_0 \end{bmatrix} \begin{Bmatrix} \ddot{u}_x \\ \ddot{u}_y \\ \ddot{\theta} \end{Bmatrix} + \begin{bmatrix} 2k_n \\ 0 \\ 0 \end{bmatrix} \begin{Bmatrix} u_x \\ u_y \\ \theta \end{Bmatrix} = - \begin{Bmatrix} 0 \\ 0 \\ 0 \end{Bmatrix}$$

$\begin{bmatrix} 0 & 0 \\ k_y & ek_y \\ ek_y & \frac{2}{d^2} k_n \end{bmatrix}$

می توانید ضرب $\det[k - \omega^2 m] = 0$ را بردارید یا اینده:

$m\ddot{u}_n + 2k_n u_n = 0$

معادله ارتعاشی است که می توان از آن به کمک مشتق حل کرد.
بصورت رابده

$\omega_2 = \sqrt{\frac{2k_n}{m}} = \sqrt{\frac{2 \times 60}{2.752}} = 6.6 \text{ rad/sec}$

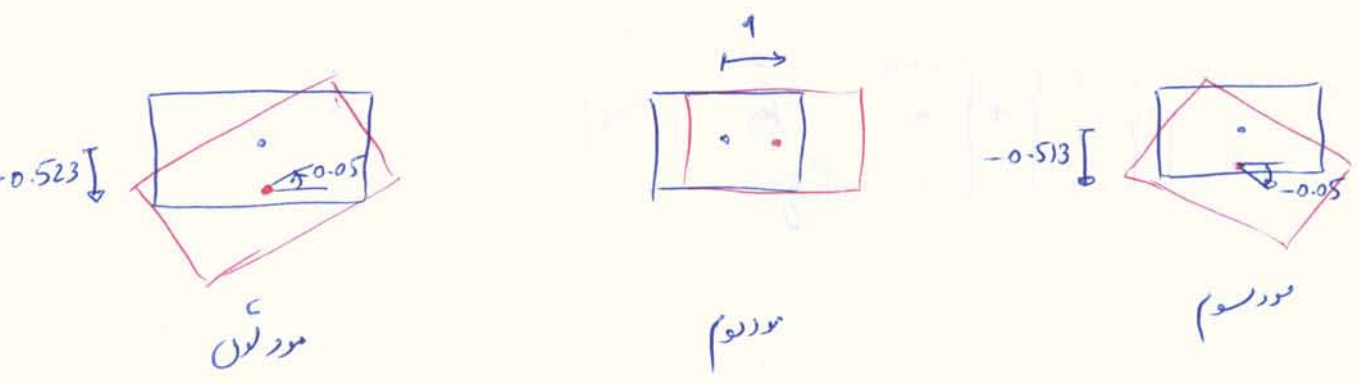
که چون این دو فرکانس ارتعاشی خواهد بود

مقدار حرکت کردن کتبات باقی مانده بعد از زبراس :

$$\begin{bmatrix} 2.752 & 0 \\ 0 & 26.83 \end{bmatrix} \begin{bmatrix} \bar{u}_y \\ \bar{u}_\theta \end{bmatrix} + \begin{bmatrix} 112 & 51.52 \\ 51.52 & 1103.7 \end{bmatrix} \begin{bmatrix} u_y \\ u_\theta \end{bmatrix} = \begin{bmatrix} 0 \\ 0 \end{bmatrix}$$

$\Rightarrow \det [K - \omega^2 m] = 0 \Rightarrow \dots \Rightarrow \omega_1 = 5.9 \Rightarrow \phi_1 = \begin{Bmatrix} -0.523 \\ 0.05 \end{Bmatrix}$
 $\omega_3 = 6.8 \Rightarrow \phi_3 = \begin{Bmatrix} -0.513 \\ -0.050 \end{Bmatrix}$

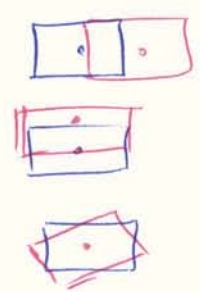
لکه ترکیب به صورت قبل : $\phi_1 = \begin{Bmatrix} 0 \\ -0.523 \\ 0.05 \end{Bmatrix}$, $\phi_2 = \begin{Bmatrix} 1 \\ 0 \\ 0 \end{Bmatrix}$, $\phi_3 = \begin{Bmatrix} 0 \\ -0.513 \\ -0.050 \end{Bmatrix}$



حالت خاص $e = 0$

در این حالت هوس ارتعاش مستقل از هم اند.

$\omega_3 = \omega_n = 6.6 \text{ rad/s}$
 $\omega_2 = \omega_y = 6.38 \text{ ''}$
 $\omega_1 = \omega_\theta = 6.34 \text{ ''}$



Modal Expansion of displacements

حرکت در مختصات N می توان به N بردار مورد نیاز جمع کرد.

$$u = \sum_{r=1}^N \phi_r q_r = \Phi q$$

برای n امین مختصات $r=n$

$$\phi_n^T m u = \sum_{r=1}^N (\phi_n^T m \phi_r) q_r$$

$$\Rightarrow \phi_n^T m u = (\phi_n^T m \phi_n) q_n \Rightarrow q_n = \frac{\phi_n^T m u}{\phi_n^T m \phi_n} = \frac{\phi_n^T m u}{M_n}$$

مثال: برای قاب برشی مثال 10.4، بردار تغییر مکان $u = \begin{Bmatrix} 1 \\ 1 \end{Bmatrix}$ را، بردارها مورد نیاز استخراج کنید.

مثال: برای قاب برشی مثال 10.4، بردار تغییر مکان

$$\phi_1 = \begin{Bmatrix} 0.5 \\ 1 \end{Bmatrix}, \phi_2 = \begin{Bmatrix} -1 \\ 1 \end{Bmatrix}$$

$$q_1 = \frac{\langle 0.5 \ 1 \rangle \begin{bmatrix} 2m & 0 \\ 0 & m \end{bmatrix} \begin{Bmatrix} 1 \\ 1 \end{Bmatrix}}{\langle 0.5 \ 1 \rangle \begin{bmatrix} 2m & 0 \\ 0 & m \end{bmatrix} \begin{Bmatrix} 0.5 \\ 1 \end{Bmatrix}} = \frac{2m}{3m/2} = \frac{4}{3}$$

$$q_2 = \frac{\langle -1 \ 1 \rangle \begin{bmatrix} 2m & \\ & m \end{bmatrix} \begin{Bmatrix} 1 \\ 1 \end{Bmatrix}}{\langle -1 \ 1 \rangle \begin{bmatrix} 2m & \\ & m \end{bmatrix} \begin{Bmatrix} -1 \\ 1 \end{Bmatrix}} = \frac{-m}{3m} = -\frac{1}{3}$$

$$\Rightarrow u = \sum_{r=1}^2 \phi_r q_r = \frac{4}{3} \begin{Bmatrix} 0.5 \\ 1 \end{Bmatrix} + \left(-\frac{1}{3}\right) \begin{Bmatrix} -1 \\ 1 \end{Bmatrix} = \begin{Bmatrix} 1 \\ 1 \end{Bmatrix}$$

$$m\ddot{u} + ku = 0$$

$$u = u(0), \quad \dot{u} = \dot{u}(0)$$

در اینجا
 \Rightarrow
 حالت عمومی

$$u(t) = \sum_{n=1}^N \phi_n (A_n \cos \omega_n t + B_n \sin \omega_n t)$$

شکل $2N$ ثابت استقراری است.

مشتق \Rightarrow

$$\dot{u}(t) = \sum_{n=1}^N \phi_n \omega_n (-A_n \sin \omega_n t + B_n \cos \omega_n t)$$

$t=0 \Rightarrow$

$$u(0) = \sum_{n=1}^N \phi_n A_n, \quad \dot{u}(0) = \sum_{n=1}^N \phi_n \omega_n B_n$$

(I)

که در اینجا N معادله جبراً همبسته داریم. بنابراین ما
 A_n و B_n پیدا می‌کنیم.

با استفاده از روابط تجربی معادله بردارها $u(0)$ و $\dot{u}(0)$ داریم:

$$u(0) = \sum_{n=1}^N \phi_n q_n(0)$$

$$\dot{u}(0) = \sum_{n=1}^N \phi_n \dot{q}_n(0)$$

با استفاده از روابط
 بجزینجوری

$$q_n(0) = \frac{\phi_n^T m u(0)}{M_n}$$

$$\dot{q}_n(0) = \frac{\phi_n^T m \dot{u}(0)}{M_n}$$

(II)

(II)(I) $\Rightarrow A_n = q_n(0) = \dots$

$$B_n = \frac{\dot{q}_n(0)}{\omega_n} = \dots$$

$$\Rightarrow u(t) = \sum_{n=1}^N \phi_n \left[q_n(0) \cos \omega_n t + \frac{\dot{q}_n(0)}{\omega_n} \sin \omega_n t \right]$$

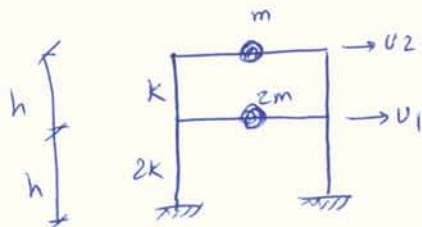
با این دو جمله در داخل کروشه
 می‌توانیم با تغییر نام لوله $q_n(0)$ در صورت لوله $\dot{q}_n(0)$

یا لوله $q_n(0)$

$$u(t) = \sum_{n=1}^N \phi_n q_n(t)$$

where $q_n(t) = q_n(0) \cos \omega_n t + \frac{\dot{q}_n(0)}{\omega_n} \sin \omega_n t$

مطلوبت پاسخ ارتعاشی آزاد است تغییر شکل اولیه $u(0) = \begin{bmatrix} 1 \\ 2 \end{bmatrix}$



$$u(0) = \begin{Bmatrix} 1 \\ 2 \end{Bmatrix}, \quad \dot{u}(0) = \begin{Bmatrix} 0 \\ 0 \end{Bmatrix}$$

جواب

از شرطها

$$\Rightarrow q_n(0) = \begin{Bmatrix} 2 \\ 0 \end{Bmatrix}, \quad \dot{q}_n(0) = \begin{Bmatrix} 0 \\ 0 \end{Bmatrix}$$

$$\Rightarrow q_n(t) = \begin{Bmatrix} 2 C_3 \omega_1 t \\ 0 \end{Bmatrix}$$

$$\Rightarrow u(t) = \begin{Bmatrix} u_1(t) \\ u_2(t) \end{Bmatrix} = \begin{Bmatrix} \frac{1}{2} \\ 1 \end{Bmatrix} 2 C_3 \omega_1 t = \begin{Bmatrix} 1 \\ 2 \end{Bmatrix} C_3 \omega_1 t$$

where $\omega_1 = \sqrt{\frac{k}{2m}}$

$q_2(t) = 0$ یعنی مد دوم مشارکتی در پاسخ ندارد.

نتیجه

و کاملاً پاسخ ارتعاشی آزاد است.

توجه این امر است که تغییر شکل اولیه متناسب با مد اول (و بنابراین مد دوم وجود ندارد) بوده است.

90 Ex. 10.10.

the same Ex., but if $u(0) = \begin{Bmatrix} -1 \\ 1 \end{Bmatrix}$

$$\Rightarrow q_n(t) = \begin{Bmatrix} 0 \\ C_3 \omega t \end{Bmatrix}$$

$$\Rightarrow u(t) = \begin{Bmatrix} u_1(t) \\ u_2(t) \end{Bmatrix} = \begin{Bmatrix} -1 \\ 1 \end{Bmatrix} C_3 \omega t$$

برعکس مثل قبل

اینجا حرکتی برابر یک بود دوم نبود.

Ex 10.11

if $u(0) = \begin{Bmatrix} -1/2 \\ 2 \end{Bmatrix}$

$$q_n(0) = \begin{Bmatrix} 1 \\ 1 \end{Bmatrix} \Rightarrow q_n(t) = \begin{Bmatrix} q_{n1}(t) \\ q_{n2}(t) \end{Bmatrix} = \begin{Bmatrix} C_3 \omega t \\ C_3 \omega t \end{Bmatrix}$$

$$\Rightarrow u(t) = \begin{Bmatrix} u_1(t) \\ u_2(t) \end{Bmatrix} = \begin{Bmatrix} 1/2 \\ 1 \end{Bmatrix} C_3 \omega t + \begin{Bmatrix} -1 \\ 1 \end{Bmatrix} C_3 \omega t$$

خود عددی نمی توانست!

$m\ddot{u} + c\dot{u} + ku = 0$ where $u = u(t)$, $\dot{u} = \dot{u}(t)$

$u = \Phi q \Rightarrow m\Phi\ddot{q} + c\Phi\dot{q} + k\Phi q = 0 \xrightarrow[\Phi^T]{\text{مضرب در}} M\ddot{q} + C\dot{q} + Kq = 0$

که در آن ماتریس M و K قطری اند و $C = \Phi^T C \Phi$

* بعد توزیع در درجه آزادی C می تواند $\left\{ \begin{array}{l} \text{قطری نباشد} \leftarrow \text{میرا غیر مکرر یک} \\ \text{مقادیر دیگه در آن غیر صفر است} \leftarrow \text{میرا مکرر یک} \end{array} \right.$

* به همین دلیل اغلب میرا بصورت $\left\{ \begin{array}{l} \text{قطری فرض می شود} \\ \text{میرا غیر مکرر یک در فوکتورین} \end{array} \right.$

حل زنی کنند که در هر درجه آزادی q_n $\left\{ \begin{array}{l} \text{در اینجهت مردها بصورتی حرکت می کنند میرا می قرار ندادند} \\ \text{شما بر این فرض و مردها بصورتی} \end{array} \right.$

ابتدا برای سیستم بیرون می سبب می شوند و پس از $\left\{ \begin{array}{l} \text{برای فرض فرض می کنیم به روشی سیستم می کند از دست} \\ \text{مردم به قرار می برد} \end{array} \right.$

$\ddot{q}_n + 2\zeta_n \omega_n \dot{q}_n + \omega_n^2 q_n = 0$

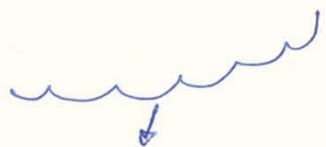
ف - ارتعاشی $\zeta_n < 1$ SDOF ω_n

حل در صورت $\zeta_n < 1$ $\Rightarrow q_n(t) = e^{-\zeta_n \omega_n t} \left[q_n(0) \cos \omega_{nD} t + \frac{\dot{q}_n(0) + \zeta_n \omega_n q_n(0)}{\omega_{nD}} \sin \omega_{nD} t \right]$

where $\omega_{nD} = \omega_n \sqrt{1 - \zeta_n^2}$
که این فرض می میرا

۹۲

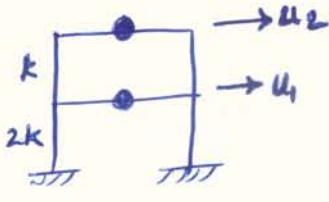
$$\Rightarrow u(t) = \sum_{n=1}^N \phi_n e^{-\zeta_n \omega_n t} \left[q_n(0) \zeta_n \omega_n + \frac{\dot{q}_n(0) + \zeta_n \omega_n q_n(0)}{\omega_{nD}} \sin \omega_{nD} t \right]$$



موتیوں کے ارتعاش کی ابتدائی حالت اور ابتدائی رفتار کے اثرات

ایک خاص وقت پر $u(t)$ کا پلاٹ دیکھ کر $u(0)$ اور $\dot{u}(0)$ کی قیمتیں معلوم کی جاسکتی ہیں۔

$u(0) = \begin{Bmatrix} -1 \\ 1 \end{Bmatrix}$ $c = \sqrt{\frac{km}{200}}$ $\omega = \sqrt{\frac{km}{m}}$



در مثال 10.10، $q_n(0)$ محاسب کرده است

$$q(0) = \begin{Bmatrix} q_1(0) \\ q_2(0) \end{Bmatrix} = \begin{Bmatrix} 0 \\ 1 \end{Bmatrix}$$

$$\dot{q}(0) = \begin{Bmatrix} \dot{q}_1(0) \\ \dot{q}_2(0) \end{Bmatrix} = \begin{Bmatrix} 0 \\ 0 \end{Bmatrix}$$

پاسخ ارتعاشی در رابطه قیاسی:

$$u(t) = \begin{Bmatrix} u_1(t) \\ u_2(t) \end{Bmatrix} = \begin{Bmatrix} -1 \\ 1 \end{Bmatrix} e^{-\zeta_2 \omega_2 t} \left(\cos \omega_{2D} t + \frac{\zeta_2}{\sqrt{1-\zeta_2^2}} \sin \omega_{2D} t \right)$$

که مورد نیاز است

* $\omega_2 = \sqrt{\frac{2k}{m}}$ ، $\zeta_2 = 0.1$ نسبت قیاسی

* چون $q_1(t) = 0$ است، مدل لایه جمع رکن در آن در نظر گرفته می شود $\sum_{n=1}^2$ به $\sum_{n=2}^2$ تبدیل می شود

قوانین تندی برای

$c = a_0 m$

که :
واحدش دالر

$c = a_1 k$

که
واحدش دالر

برای رایی

Rayleigh Damping

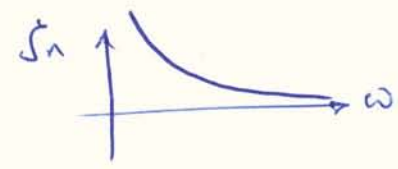
در یک مدل
اندازه برای تغییر در جرم یا تغییر در انعطاف تبدیل به قوانین شود

* اندازه برای با تناسب با جرم در نظر بگیریم، آنوقت برای هر n ام :

$C_n = a_0 M_n \Rightarrow \dot{\delta}_n = \frac{a_0}{2} \frac{1}{\omega_n}$

که رابطه
مغزی
با ω_n است

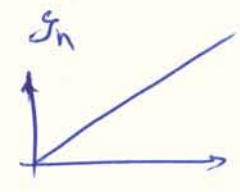
(از رابطه) $\dot{\delta}_n = \frac{C_n}{2M_n \omega_n}$ استوار شده



* اندازه برای با تناسب با تغییر در k استوار شده

$C_n = a_1 \omega_n^2 M_n \Rightarrow \dot{\delta}_n = \frac{a_1}{2} \omega_n$

که رابطه
مغزی
با ω_n است



ولیکنه نتایج اینهاست میانه گشت در میرا بر سر همه تحملت تفاوت به زیاد نذر در

نیاز این برای رایی میانه

$$c = a_0 m + a_1 k \Rightarrow \int_n = \frac{a_0}{2} \frac{1}{\omega_n} + \frac{a_1}{2} \omega_n$$

اندازه‌های را در دو صورت نازش برانیم ✓

$$\frac{1}{2} \begin{bmatrix} \frac{1}{\omega_i} & \omega_i \\ \frac{1}{\omega_j} & \omega_j \end{bmatrix} \begin{Bmatrix} a_0 \\ a_1 \end{Bmatrix} = \begin{Bmatrix} \int_i \\ \int_j \end{Bmatrix}$$

$$\text{if } \int_i = \int_j = \int \Rightarrow a_0 = \int \frac{2\omega_i \omega_j'}{\omega_i + \omega_j} \quad \rightarrow \quad a_1 = \int \frac{2}{\omega_i + \omega_j}$$

$$[M]\{\ddot{u}(t)\} + [C]\{\dot{u}(t)\} + [K]\{u(t)\} = \{P(t)\} = -[M]\{r\}\ddot{u}_g(t)$$

بکار آید مودز سازه را در جهت ارتداد

تعیین مودز

$$[\Phi] = \{ \{\phi_1\}, \dots, \{\phi_r\}, \dots, \{\phi_N\} \}$$

$$\{u(t)\} = \sum_{r=1}^N \phi_r q_r(t) = [\Phi] \{q(t)\}$$

جهت ارتداد در مودز و نسبت به مودز

$$[\Phi]^T [M] [\Phi] \{\ddot{q}(t)\} + [\Phi]^T [C] [\Phi] \{\dot{q}(t)\} + [\Phi]^T [K] [\Phi] \{q(t)\} = -[\Phi]^T [M] \{r\} \ddot{u}_g(t)$$

ماتریس قطری (شماره مودز) ماتریس قطری ماتریس قطری

$$\Rightarrow M_j \ddot{q}_j(t) + C_j \dot{q}_j(t) + K_j q_j(t) = L'_j \ddot{u}_g(t)$$

where $M_j = \{\phi'_j\}^T [M] \{\phi'_j\}$

$$K_j = \{\phi'_j\}^T [K] \{\phi'_j\} = \omega_j^2 M_j$$

نسبت مودز

$$C_j = \{\phi'_j\}^T [C] \{\phi'_j\} = 2\zeta_j \omega_j M_j$$

$$L'_j = -\{\phi'_j\}^T [M] \{r\} = \gamma_j M_j$$

که فرکانس مودز است و در مودز

که مودز {φ_j} نسبت به مودز سازه همبسته (رنال) مودز

$$\{\phi_j\} = \frac{1}{\sqrt{M_j}} \{\phi'_j\}$$

$$\{\phi_j\}^T [M] \{\phi_j\} = 1$$

خرام مودز

$$K_j = \omega_j^2 M_j$$

$$C_j = 2\zeta_j \omega_j M_j$$

$$\gamma_j = -\{\phi_j\}^T [M] \{r\} = -\sum_{i=1}^N m_i \phi_{j,i} r_i$$

تفاوت

$$\gamma_j = \gamma'_j \sqrt{M_j} \Rightarrow$$

۹۷
 بعد از گذشتن از چندین مورد، به این نتیجه رسیدیم که مجموع پاسخ‌ها به هم برابر است با مجموع پاسخ‌ها به هم.
 این نتیجه را می‌توانیم به این صورت بیان کنیم:
 اگر در هر یک از موارد فوق، $u_j(t)$ را به عنوان $q_j(t)$ در نظر بگیریم، داریم:
 $q_j(t) = \int_0^t \delta_j \ddot{u}_g(\tau) h_j(t-\tau) d\tau$ (انتگرال لایبونیچ)

نتیجه گیری: $q_j(t)$ با $u_j(t)$ برابر است.

* حل مورد سوم به صورت زیر است (انتگرال لایبونیچ):
 $q_j(t) = \int_0^t \delta_j \ddot{u}_g(\tau) h_j(t-\tau) d\tau$

$$\Rightarrow \{u(t)\} = \{\phi_1\} q_1(t) + \{\phi_2\} q_2(t) + \dots + \{\phi_N\} q_N(t) = \sum_{r=1}^N \{\phi_r\} q_r(t)$$

سومین مورد \Rightarrow
 (ii)
 $u_i(t) = \phi_{i1} q_1(t) + \phi_{i2} q_2(t) + \dots + \phi_{iN} q_N(t) = \sum_{j=1}^N \phi_{ij} q_j(t)$

or

$$u_i(t) = - \sum_{j=1}^N \delta_j \phi_{ij} \int_0^t \ddot{u}_g(\tau) h_j(t-\tau) d\tau$$

روش استاتیکی مدل (تقریبی)

در این روش، بارهای پویا را به صورت بارهای ثابت در نظر می‌گیریم:

$$\{f_s\} = [K] \{u\}$$

$$= [K] [\Phi] \{q\} = \sum_{j=1}^N [K] \{\phi_j\} q_j(t) = \sum_{j=1}^N \omega_j^2 [M] \{\phi_j\} q_j(t)$$

با در نظر گرفتن بردار (همه) درجه‌های آزادی و جمع نبردهای درجه‌های آزادی، نیروی پویا را به صورت زیر می‌نویسند:

$$V = \sum_{i=1}^N f_{si} = \{1\}^T \{f_s\} = \omega_1^2 \underbrace{\{1\}^T [M] \{\phi_1\}}_{\delta_1 M_1} q_1(t) \Rightarrow$$

در اینجا $\{r\} = \{1\}$ $\Rightarrow \delta_1 = \{1\}^T [M] \{\phi_1\} / M_1$

$$V = \delta_1 M_1 \omega_1^2 q_1(t)$$

$$\Rightarrow V_{max} = \delta_1^2 M_1 \omega_1^2 \left\{ \int_0^t \ddot{u}_g(\tau) h_1(t-\tau) d\tau \right\}_{max}$$

برابر با طبقه بندی می‌شود

$$= \delta_1^2 M_1 \omega_1^2 S_d(\omega_1 \xi_1)$$

$$= \delta_1^2 M_1 S_a(\omega_1 \xi_1)$$

معمولاً $\delta_1 < 1$

اولاً فریب بدین دلیل کمتر از واحد است و پس $\delta_1^2 M_1$ برابر است با کسری از جرم کل سازه.

توجه داشته باشید که حذف اثر سازه بالا اثر عمده تأثیر خود را در جرم سازه در محاسبات حذف خواهد کرد. در اصطلاحات پدیده **Missing Mass Effect** می‌گویند. در محاسبه‌ها می‌تواند این مورد را نادیده بگیریم.

$$\Rightarrow V_{max} = \alpha N_T S_a(\omega_1 \xi_1) = \frac{A W_T}{R} \frac{S_a(\omega_1 \xi_1)}{g} = A \cdot B$$

$\frac{I}{R}$

(مقیاس) = A.B
↓
۲۸۰۰

$$\Rightarrow \boxed{V_{max} = \frac{A B I}{R} W}$$

قابل استناد برای طراحی سازه ها و ...
اولیه
مقیاس، و غیره

Response Spectrum Method

Newmark & Rosenblath, [143]

فاندرین قبل می باشد، این تفاوت که یکبار در نظر گرفته می شود و در نظر گرفته می شوند.

$$\{u\} = [\Phi] \{q\} = \sum_{j=1}^N \{\phi_{ij}\} q_j$$

← بردار تغییر مکان

$$u_i(t) = \sum_{j=1}^N \phi_{ij} q_j(t)$$

← تغییر مکان طبقه نام

$$(u_{ij})_{max} = \phi_{ij} \gamma_j S_d(\omega_j)$$

← مبالغه ژامین مورد تغییر مکان طبقه نام

$$f_{s,ij} = (\omega_j^2 m_i) [\phi_{ij} \gamma_j S_d(\omega_j)]$$

← مبالغه برانگیخته با کسب هم بردار اندازه که قطبها

$$= \gamma_j \phi_{ij} w_i S_d(\omega_j) / g$$

where $w_i = m_i g$

$$\bar{S}_d = S_d / g$$

$$\Rightarrow V_j = \text{شیرجه برسی یا برسی از} = \sum_{i=1}^N \gamma_j \phi_{ij} w_i \bar{S}_d(\omega_j)$$

مستقیم

$$= \left(\sum_{i=1}^N \phi_{ij} w_i \right) \gamma_j \bar{S}_d(\omega_j)$$

$$\Rightarrow \gamma_j = \frac{\{\phi_j\}^T [M] \{1\}}{\{\phi_j\}^T [M] \{\phi_j\}} = \frac{\sum_{i=1}^N m_i \phi_{ij}}{\sum_{i=1}^N m_i \phi_{ij}^2} = \frac{\sum_{i=1}^N w_i \phi_{ij}}{\sum_{i=1}^N w_i \phi_{ij}^2}$$

بسیار نظر به این است

$$V_j = \left[\frac{(\sum w_i \phi_{ij})^2}{\sum w_i \phi_{ij}^2} \right] \bar{S}_a(w_j) = W_j \cdot AB_j$$

وزن مورد نیاز (W_j)
از ۲۸- طبق

بازنه‌ها مرتبه‌بندی شده و برای سازه‌ها حسب فریب کاهش R و نظیر نمودن فریب‌ها تحت سازه (I) خواص لازم است:

$$V_j = \frac{AB_j I}{R} W_j$$

با توجه به اینکه در هر هم فریب‌ها هم در هر یک از آنها با توجه به مختلف بودن باید به ترتیب مورد توجه:

* روش ABS

$$V = \sum_{j=1} |V_j| = |V_1| + |V_2| + \dots$$

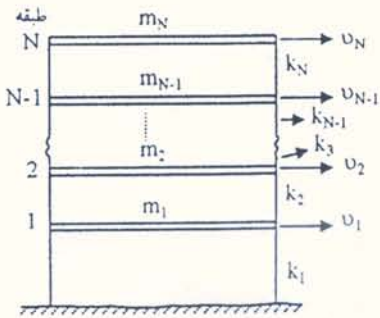
* روش SRSS

$$V = \sqrt{V_1^2 + V_2^2 + \dots}$$

همچنین در هر دو روش انتخاب شود، وقت این روش افزایش پیدا خواهد کرد.

* روش CQC اثرات اندر اثر مرده‌ها هم در نظر گرفته شود.

ماتریسهای جرم و سختی و میرایی ساختمان برشی و پیچشی



ساختمان برشی: هر طبقه دارای یک درجه آزادی (u_i) که تغییر مکان طبقه نسبت به فونداسیون می باشد.

$$[K] = \begin{bmatrix} k_1 + k_2 & -k_2 & 0 & \dots & 0 \\ & k_2 + k_3 & -k_3 & \dots & 0 \\ & & k_3 + k_4 & \dots & -k_4 \\ & & & \dots & \vdots \\ & & & & k_{N-1} + k_N & -k_N \\ & & & & & k_N \end{bmatrix}$$

Sym. (N x N)

$$[M] = \begin{bmatrix} m_1 & & & & 0 \\ & m_2 & & & \\ & & \dots & & \\ & & & m_{N-1} & \\ 0 & & & & m_N \end{bmatrix}$$

(N x N)

ماتریس جرم قطری می باشد.

ساختمان پیچشی: هر طبقه دارای سه درجه آزادی x_i, y_i, θ_i می باشد (شکل مقابل):

$$\{V\}^T = \{x_1 \ y_1 \ \theta_1 \ x_2 \ y_2 \ \theta_2 \ \dots \ x_N \ y_N \ \theta_N\}^T$$

بردار تغییر مکان درجات آزادی سیستم:

ماتریس جرم [M]:

با فرض متمرکز بودن جرم سازه در طبقات، ماتریس جرم سیستم قطری خواهد بود.

$$[M] = \begin{bmatrix} m_1 & & & & & \\ & m_1 & & & & \\ & & m_1 r_1^2 & & & \\ & & & m_2 & & \\ & & & & m_2 & \\ & & & & & m_2 r_2^2 \\ & & & & & & \dots \end{bmatrix}$$

(3N x 3N)

جرم طبقه i ام $= m_i$

ممان اینرسی طبقه i ام $= I_i = m_i r_i^2$

شعاع جیراسیون طبقه i ام $= r_i$

ماتریس سختی [K]:

$$[K] = \begin{bmatrix} K^1 + K^2 & -K^2 & 0 & \dots & 0 \\ & K^2 + K^3 & -K^3 & \dots & 0 \\ & & \dots & \dots & \vdots \\ & & & & K^{N-1} + K^N & -K^N \\ & & & & & K^N \end{bmatrix}$$

Sym. (3N x 3N)

بردار ضریب تأثیر زلزله

$$[K^i] = \begin{bmatrix} k_{x_i} & 0 & -(e_{y_i} k_{x_i}) \\ 0 & k_{y_i} & +(e_{x_i} k_{y_i}) \\ -(e_{y_i} k_{x_i}) & +(e_{x_i} k_{y_i}) & (k_{\theta_i} + e_{x_i}^2 k_{y_i} + e_{y_i}^2 k_{x_i}) \end{bmatrix}$$

$$e_{x_i} = \frac{\sum_{j=1}^n k_{y_{ij}} x_{ij}}{\sum_{j=1}^n k_{y_{ij}}}; \quad \{r_x\}^i = \{1 \ 0 \ 0\}^T; \quad \{r_y\}^i = \{0 \ 1 \ 0\}^T$$

$$k_{\theta_i} = \sum_{j=1}^n k_{x_{ij}} y_{ij}^2 + k_{y_{ij}} x_{ij}^2 \quad ; \quad n = \text{تعداد ستونهای در یک طبقه} \quad ; \quad x_{ij} = \text{فاصله ستون j در طبقه i از محور مختصات در جهت x}$$

ماتریس میرایی [C]:

ماتریس میرایی از نظر فرم، شبیه ماتریس سختی می باشد. با این تفاوت که مقادیر $c_{x_i}, c_{y_i}, c_{\theta_i}$ جایگزین مقادیر $k_{x_i}, k_{y_i}, k_{\theta_i}$ می شوند.

$$c_{x_i} = 2\zeta_{x_i} \sqrt{k_{x_i} m_i}; \quad c_{y_i} = 2\zeta_{y_i} \sqrt{k_{y_i} m_i}; \quad c_{\theta_i} = 2\zeta_{\theta_i} \sqrt{k_{\theta_i} I_i}$$

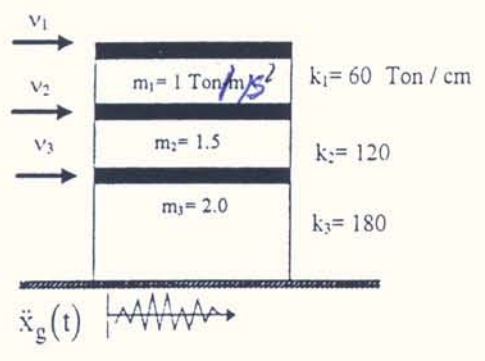
که در آن ζ_{x_i} و ζ_{y_i} = ضرایب میرایی سیستم در جهت x و y هر طبقه است.

$\omega_1 = 7.04$
 $\omega_2 = 19.72$
 $\omega_3 = 28.49$

روش محاسبه دینامیکی
 (پاسخ طیفی)

الف: مشخصات دینامیکی سیستم
 ۱- معادله حرکت

$[M] \{\ddot{V}\} + [K] \{V\} = -[M] \{1\} \ddot{X}_g(t)$

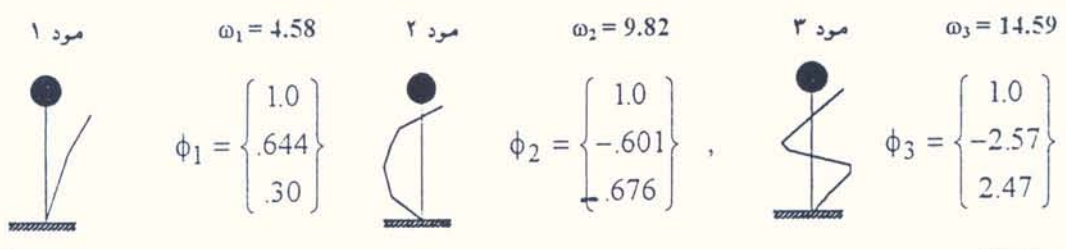


$M = \begin{bmatrix} 1.0 & 0 & 0 \\ 0 & 1.5 & 0 \\ 0 & 0 & 2 \end{bmatrix}, K = 60 \begin{bmatrix} 1 & -1 & 0 \\ -1 & 3 & -2 \\ 0 & -2 & 5 \end{bmatrix}$

۲- محاسبه فرکانسها

$\text{Det.}[K - \omega^2 M] = 0 \Rightarrow \omega_1 = 4.58 \text{ rad/sec.} \quad T_1 = 1.37 \text{ sec.}$
 $\omega_2 = 9.82 \text{ rad/sec.} \quad T_2 = .640 \text{ sec.}$
 $\omega_3 = 14.59 \text{ rad/sec.} \quad T_3 = .431 \text{ sec.}$
 $T = \frac{2\pi}{\omega}$

۳- محاسبه اشکال مود



۴- محاسبه جرم مودی (Mn)

$M_1 = \phi_1^T M \phi_1 = \sum_{i=1}^3 m_i \phi_{1i}^2 = 1 \times (1)^2 + 1.5 \times (.644)^2 + 2 \times (.3)^2 = 1.802$
 $M_2 = 1 \times (1)^2 + 1.5 \times (-.601)^2 + 2 \times (-.676)^2 = 2.456$
 $M_3 = 23.10$

$(\phi_1, \phi_2, \phi_3) = \begin{bmatrix} 1.0 & 1.0 & 1.0 \\ .644 & -.601 & -2.57 \\ .3 & -.676 & 2.47 \end{bmatrix}$

۵- محاسبه ضریب تاثیر زلزله در هر مود

$\gamma_n = \frac{L_n}{M_n}, L_n = \{\phi_n\}^T [M] \{1\} = \sum_{i=1}^3 m_i \phi_{ni}$

$$L_1 = \sum_{i=1}^3 m_i \phi_{1i} = 1 \times 1 + 1.5 \times 0.644 + 2 \times 0.3 = 2.566 \rightarrow \gamma_1 = \frac{2.566}{1.802} = 1.425$$

$$L_2 = -1.254 \rightarrow \gamma_2 = \frac{-1.254}{2.455} = -0.51$$

$$L_3 = 2.08 \rightarrow \gamma_3 = \frac{2.08}{23.10} = 0.09$$

در ساختمان لرزه $\sum \gamma_i = 1$

جرم موثر مودی که بیانگر تاثیر مودها نیز می باشد به صورت زیر محاسبه می گردد.

$$\bar{M}_n = \frac{L_n^2}{M_n} = L_n \gamma_n$$

$$\bar{M}_1 = 3.656, \bar{M}_2 = 0.641, \bar{M}_3 = 0.188, \sum \bar{M}_n = 4.485 \approx \sum m_n = 4.5$$

$\sum \bar{M}_n = \sum m_n$ مجموع جرم موثر مودی برابر با مجموع جرم سازه است

• مشاهده می شود که ضریب تاثیر زلزله یا جرم موثر در مودهای بالا کاهش پیدا می کند. به عبارتی تاثیر مودهای بالا در پاسخ قابل صرف نظر کردن است. در ساختمانهای برشی جمع ضرایب تاثیر مودها ($\sum \gamma_i$) برابر با یک است.

بنابراین معیار در نظر گرفتن تعداد مودها در محاسبات پاسخ مقدار γ_n یا \bar{M}_n است. تعداد مودها طوری انتخاب می شود که دربرگیرنده ۹۰ تا ۹۵ درصد جرم کل سازه ($\sum \bar{M}_n = 0.9 \sum m_n$) باشد یا مودهایی حذف می گردد که ضریب تاثیر مود در مقایسه با دیگر ضرایب تاثیر قابل صرف نظر کردن باشد.

۶- محاسبه پاسخ مودی

$$v_n = \phi_n \gamma_n S_{dn} = \phi_n \gamma_n \frac{S_{vn}}{\omega_n} = \phi_n \gamma_n \frac{S_{an}}{\omega_n^2}$$

الف - تغییر مکان

مقادیر طیف بستگی به فرکانس و ضریب میرایی دارد. لذا باید ضریب میرایی مناسب سازه انتخاب شود. اگر ضریب میرایی ۰.۵٪ فرض شود مقادیر طیف تغییر مکان خواهند شد:

$$\omega_1 = 0.73 \text{ HZ} \Rightarrow S_{d1} = 17 \text{ cm}, S_{v1} = 78 \text{ cm/sec}, S_{a1} = 357 \text{ cm/sec}^2$$

$$\omega_2 = 1.56 \text{ HZ} \Rightarrow S_{d2} = 7 \text{ cm}, S_{v2} = 68.7 \text{ cm/sec}, S_{a2} = 675 \text{ cm/sec}^2$$

$$\omega_3 = 2.32 \text{ HZ} \Rightarrow S_{d3} = 5 \text{ cm}, S_{v3} = 73 \text{ cm/sec}, S_{a3} = 1065 \text{ cm/sec}^2$$

$$v_1 = \begin{Bmatrix} 1 \\ 0.644 \\ 0.3 \end{Bmatrix} (1.425) (17) = \begin{Bmatrix} 24.2 \\ 15.6 \\ 7.3 \end{Bmatrix}$$

مود ۱

$$v_2 = \begin{Bmatrix} 1.0 \\ -0.601 \\ -0.676 \end{Bmatrix} (-0.51) (7) = \begin{Bmatrix} -3.57 \\ 2.15 \\ 2.41 \end{Bmatrix}$$

مود ۲

$$v_3 = \begin{Bmatrix} 1.0 \\ -2.57 \\ 2.47 \end{Bmatrix} (0.09) (5) = \begin{Bmatrix} .45 \\ -1.16 \\ 1.11 \end{Bmatrix}$$

مود ۳

محاسبه تغییرمکان با روش ترکیب مودها
روش ABS: جمع قدر مطلق پاسخ هر مود (مدرده و افسوس نیستند)

$$v = \sum_{i=1}^3 |v_i| = \begin{Bmatrix} 28.2 \\ 18.9 \\ 10.82 \end{Bmatrix}$$

تغییرمکان طبقه بالا

روش SRSS: جذر مجموع مربع پاسخ مودها

$$v = \sqrt{\sum_{i=1}^3 v_i^2} = \sqrt{v_1^2 + v_2^2 + v_3^2}$$

$$v^2 = \begin{Bmatrix} 24.2 \\ 15.6 \\ 7.3 \end{Bmatrix}^2 + \begin{Bmatrix} -3.57 \\ 2.15 \\ 2.41 \end{Bmatrix}^2 + \begin{Bmatrix} .45 \\ -1.16 \\ 1.11 \end{Bmatrix}^2 = \begin{Bmatrix} 599 \\ 249 \\ 60 \end{Bmatrix} \Rightarrow v = \begin{Bmatrix} 24.4 \\ 15.8 \\ 7.76 \end{Bmatrix}$$

ب- نیروهای جانبی و برشی طبقات

۷- شکل مود نیروی جانبی

$$\phi_{s1} = K\phi_1 = 60 \begin{bmatrix} 1 & -1 & 0 \\ -1 & 3 & -2 \\ 0 & -2 & 5 \end{bmatrix} \begin{Bmatrix} 1.0 \\ .644 \\ .3 \end{Bmatrix} = \begin{Bmatrix} 21.36 \\ 19.92 \\ 12.72 \end{Bmatrix}$$

شکل مود نیروی جانبی طبقه اول (ضربه بالا)

$\phi_{b1} = 54:00$ شکل مود ۱ نیروی برشی پایه

$$\phi_{s2} = K\phi_2 = \begin{Bmatrix} 96.1 \\ -87.1 \\ -131 \end{Bmatrix}$$

$$\phi_{s3} = K\phi_3 = \begin{Bmatrix} 214 \\ -819 \\ 1049 \end{Bmatrix}$$

$\phi_{b2} = -121.7$ شکل مود ۲ نیروی برشی پایه

شکل مود ۳ نیروی برشی پایه $\phi_{b3} = 444.6$

۸- پاسخ مودی نیروهای جانبی و برشی

$$f_{sn} = \phi_{sn} \gamma_n S_{dn}$$

$$f_{s1} = \begin{Bmatrix} 21.36 \\ 19.92 \\ 12.72 \end{Bmatrix} \times 1.425 \times 17 = \begin{Bmatrix} 517.45 \\ 26.3 \\ -369 \\ 472 \end{Bmatrix} \begin{Bmatrix} 483 \\ 308 \end{Bmatrix}$$

$$f_{b1} = 1308$$

$$f_{s2} = \begin{Bmatrix} -343 \\ 311 \\ +468 \end{Bmatrix}, \quad \underline{f_{b2} = 434.6} \quad ; \quad f_{s3} = \begin{Bmatrix} 96.3 \\ -369 \\ 472 \end{Bmatrix}, \quad \underline{f_{b3} = 200}$$

روش ABS

$$f_s = \sum_{n=1}^3 |f_{sn}| = \begin{Bmatrix} 517 + 343 + 96 \\ 483 + 311 + 369 \\ 308 + 468 + 472 \end{Bmatrix} = \begin{Bmatrix} 956 \\ 1163 \\ 1248 \end{Bmatrix}$$

$$V = 1308 + 434.6 + 200 = 1942.6$$

روش SRSS

$$f_s = \sqrt{\sum f_{sn}^2} = \begin{Bmatrix} 517^2 + 343^2 + 96^2 \\ 483^2 + 311^2 + 369^2 \\ 308^2 + 468^2 + 472^2 \end{Bmatrix} = \begin{Bmatrix} 627 \\ 682 \\ 732 \end{Bmatrix}$$

$$V = \sqrt{1308^2 + 434.6^2 + 200^2} = 1392$$

روش دقیق پاسخ طیفی

$$R_D^2 = \sum R_j^2 + 2 \sum_j \sum_k \gamma_j \gamma_k \psi_j \psi_k [A_{jk} S_{dj}^2 + B_{jk} S_{vj}^2 + C_{jk} S_{dk}^2 + D_{jk} S_{vk}^2]$$

که در آن R_j برابر پاسخ مودی کمیت مورد نظر است و ضرایب A_{jk} تا D_{jk} با استفاده از رابطه (۵۳-۷) کتاب ارتعاشات پیشا برای محاسبه اثر اندرکنش بین مودها محاسبه می گردد.

$$\begin{bmatrix} 1 & u-s & 1 \\ u & 1-t & s \\ 1 & 0 & t \end{bmatrix} \begin{Bmatrix} A_{jk} \\ \bar{B}_{jk} \\ C_{jk} \end{Bmatrix} = \begin{Bmatrix} 1 \\ -(1+r^2 - 4\xi_j \xi_k r) \\ r^2 \end{Bmatrix} \quad \begin{aligned} B_{jk} &= \bar{B}_{jk} / \omega_k^2 \\ D_{jk} &= -B_{jk} \end{aligned}$$

محاسبه ضرایب اندرکنش مود ۱ و ۲

$$\omega_1 = 4.59, \quad \omega_2 = 9.82, \quad r = \omega_1 / \omega_2 = 0.4674, \quad r^2 = 0.21851, \quad \xi_1 = \xi_2 = 0.05$$

$$u = -2(1 - 2\xi_2^2) = -1.99 \quad s = -2r^2(1 - 2\xi_1^2) = -0.4348 \quad t = r^4 = 0.0477$$

$$(1 + r^2 - 4\xi_2^2 r) = (1 + 0.2185 + 4 \times 0.0225 \times 0.4674) = 1.2231$$

$$\begin{bmatrix} 1 & -1.555 & 1 \\ -1.99 & 0.9523 & -0.4348 \\ 1 & 0 & 0.0477 \end{bmatrix} \begin{Bmatrix} A_{12} \\ \bar{B}_{12} \\ C_{12} \end{Bmatrix} = \begin{Bmatrix} 1 \\ -1.2231 \\ 0.2185 \end{Bmatrix} \Rightarrow \begin{aligned} A_{12} &= 2.759 \\ \bar{B}_{12} &= -1.254 \\ C_{12} &= -1.234 \end{aligned}$$

$$B_{12} = -1.254 / (9.82)^2 = -0.013, \quad D_{12} = -B_{12} = 0.013$$

محاسبه ضرایب اندرکنش مود ۱ و ۳

$$\omega_1 = 4.59, \omega_3 = 14.59, r = \omega_1/\omega_3 = 0.3146, r^2 = 0.99, \xi_1 = \xi_3 = 0.05$$

$$u = -1.99, s = -0.197, t = 0.0098, (1+r^2 - 4\xi^2 r) = +1.0958$$

$$\begin{bmatrix} 1 & -1.793 & 1 \\ -1.99 & .9902 & -1.97 \\ 1 & 0 & .0098 \end{bmatrix} \begin{Bmatrix} A_{13} \\ \bar{B}_{13} \\ C_{13} \end{Bmatrix} = \begin{Bmatrix} 1 \\ -1.0958 \\ 0.099 \end{Bmatrix} \Rightarrow \begin{matrix} A_{13} = .109 \\ \bar{B}_{13} = -1.0645 \\ C_{13} = -1.086 \end{matrix}$$

$$B_{13} = -1.0645/(14.59)^2 = -.005, D_{13} = .005$$

محاسبه ضرایب اندرکنش مود ۲ و ۳

$$\begin{bmatrix} 1 & -1.09 & 1 \\ -1.99 & .795 & -.901 \\ 1 & 0 & .205 \end{bmatrix} \begin{Bmatrix} A_{23} \\ \bar{B}_{23} \\ C_{23} \end{Bmatrix} = \begin{Bmatrix} 1 \\ -1.446 \\ .453 \end{Bmatrix} \Rightarrow \begin{matrix} A_{23} = .795 \\ \bar{B}_{23} = -1.724 \\ C_{23} = -1.668 \end{matrix}$$

$$B_{23} = -1.724/(14.59)^2 = -.0081, D_{23} = .0081$$

$$V^2 = [(1308)^2 + (434.6)^2 + (200)^2]$$

برش پایه (V):

$$12 \rightarrow +2 \left\{ 1.425 \times .51 \times 54 \times 121.7 \left[.2759 \times (17)^2 - .013 \times (78)^2 - 1.234(7)^2 + .013(68.7)^2 \right] \right.$$

$$19 \rightarrow +1.425 \times .09 \times 54 \times 444.6 \left[.109(17)^2 - .005(78)^2 - 1.086(5)^2 + .005(78)^2 \right]$$

$$7 \rightarrow +.51 \times .09 \times 121.7 \times 444.6 \left[.795(7)^2 - .008(68.7)^2 - 1.668(5)^2 + .008(78)^2 \right] \left. \right\}$$

$$V^2 = 1939741 + 2 \left\{ 4776 \times 1.53 + 3079 \times 4.35 + 2483.55 \times 8.1675 \right\}$$

$$V^2 = 1965604 \Rightarrow \underline{\underline{V = 1402}}$$

نیروی جانبی طبقه ۲

$$f_{s2}^2 = (682)^2 + 2(-5592) = 453940 \Rightarrow f_{s2} = 673.8$$

روش CQC

$$R_D^2 = \sum R_j^2 + 2 \sum \sum \rho_{jk} R_j R_k$$

$$\rho_{jk} = \frac{8\xi^2(1+r)r^{3/2}}{(1-r^2)^2 + 4\xi^2 r(1+r)^2}$$

ضریب همبستگی مودها:

$$r = \omega_2/\omega_1 = 9.82/4.59 = 2.139$$

مود ۱ و ۲:

$$\rho_{12} = \frac{8(.05)^2(1+2.139)2.139^{3/2}}{(1-2.139^2)^2 + .01 \times 2.139(1+2.139)^2} = \frac{0.1964}{12.993} = 0.0151$$

$$r = \omega_3 / \omega_1 = 3.1786$$

مود ۱ و ۳:

$$\rho_{12} = \frac{A_{12} S_{d1}^2 + B_{12} S_{v1}^2 + C_{12} S_{d2}^2 + D_{12} S_{v2}^2}{S_{d1} S_{d2}}$$

$$= \frac{.2759(17)^2 - .013(78)^2 - 1.234(7)^2 + .013(68.7)^2}{17 \times 7} = .012$$

$$\rho_{13} = \frac{.265}{17 \times 5} = .003$$

$$\rho_{23} = \frac{2.13}{7 \times 5} = .067$$

$$\rho_{13} = \frac{.02(4.1786)3.1786^{3/2}}{(1-3.1786^2) + .031786(4.1786)^2} = \frac{0.474}{83.43} = .0056$$

$$r = \omega_3 / \omega_2 = 1.4857$$

مود ۲ و ۳:

$$\rho_{23} = \frac{.02(2.4857)1.4857^{3/2}}{(1-1.4857^2)^2 + 0.14857(2.4857)^2} = \frac{0.0900}{1.5494} = 0.058$$

برش پایه (V)

$$R_j = V_j: V_1 = 1308, V_2 = 434.6, V_3 = 200$$

$$V^2 = \sum V_j^2 + 2 \sum \sum \rho_{jk} V_j V_k$$

$$= [1308^2 + 434.6^2 + 200^2] + 2\{.0151 \times 1308 \times 434.6 + .0056 \times 1308 \times 200 + .058 \times 434.6 \times 200\} = 1939741 + 15090 = 1954831$$

$$V = 1398$$

نیروی جانبی طبقه ۲

$$f_{s2}^2 = (682)^2 + (-5389) \Rightarrow \underline{\underline{f_{s2} = 678}}$$

$$K_s = P \sum_{k=1}^n \frac{\delta_k \psi_k}{\omega_k^2}$$

محاسبه ضرایب اندرکنش مود ۱ و ۳

$$\omega_1 = 4.59, \omega_3 = 14.59, r = \omega_1/\omega_3 = 0.3146, r^2 = 0.99, \xi_1 = \xi_3 = 0.05$$

$$u = -1.99, s = -0.197, t = 0.0098, (1+r^2 - 4\xi^2 r) = +1.0958$$

$$\begin{bmatrix} 1 & -1.793 & 1 \\ -1.99 & .9902 & -1.97 \\ 1 & 0 & .0098 \end{bmatrix} \begin{Bmatrix} A_{13} \\ \bar{B}_{13} \\ C_{13} \end{Bmatrix} = \begin{Bmatrix} 1 \\ -1.0958 \\ 0.099 \end{Bmatrix} \Rightarrow \begin{matrix} A_{13} = .109 \\ \bar{B}_{13} = -1.0645 \\ C_{13} = -1.086 \end{matrix}$$

$$B_{13} = -1.0645/(14.59)^2 = -.005, D_{13} = .005$$

محاسبه ضرایب اندرکنش مود ۲ و ۳

$$\begin{bmatrix} 1 & -1.09 & 1 \\ -1.99 & .795 & -.901 \\ 1 & 0 & .205 \end{bmatrix} \begin{Bmatrix} A_{23} \\ \bar{B}_{23} \\ C_{23} \end{Bmatrix} = \begin{Bmatrix} 1 \\ -1.446 \\ .453 \end{Bmatrix} \Rightarrow \begin{matrix} A_{23} = .795 \\ \bar{B}_{23} = -1.724 \\ C_{23} = -1.668 \end{matrix}$$

$$B_{23} = -1.724/(14.59)^2 = -.0081, D_{23} = .0081$$

$$V^2 = [(1308)^2 + (434.6)^2 + (200)^2] \quad \text{برش پایه (V):}$$

$$192 \rightarrow +2 \left\{ 1.425 \times .51 \times 54 \times 121.7 \left[.2759 \times (17)^2 - .013 \times (78)^2 - 1.234(7)^2 + .013(68.7)^2 \right] \right.$$

$$192 \rightarrow +1.425 \times .09 \times 54 \times 444.6 \left[.109(17)^2 - .005(78)^2 - 1.086(5)^2 + .005(78)^2 \right]$$

$$192 \rightarrow +.51 \times .09 \times 121.7 \times 444.6 \left[.795(7)^2 - .008(68.7)^2 - 1.668(5)^2 + .008(78)^2 \right]$$

$$V^2 = 1939741 + 2 \left\{ 4776 \times 1.53 + 3079 \times 4.35 + 2483.55 \times 8.1695 \right\}$$

$$V^2 = 1965604 \Rightarrow \underline{\underline{V = 1402}}$$

نیروی جانبی طبقه ۲

$$f_{s2}^2 = (682)^2 + 2(-5592) = 453940 \Rightarrow f_{s2} = 673.8$$

CQC روش

$$R_D^2 = \sum R_j^2 + 2 \sum \sum \rho_{jk} R_j R_k$$

$$\rho_{jk} = \frac{8\xi^2(1+r)r^{3/2}}{(1-r^2)^2 + 4\xi^2 r(1+r)^2}$$

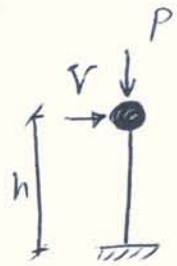
ضریب همبستگی مودها:

$$r = \omega_2/\omega_1 = 9.82/4.59 = 2.139$$

مود ۱ و ۲:

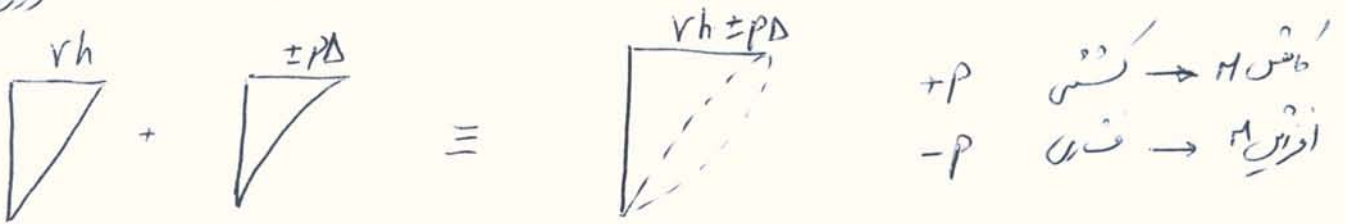
P-Δ Analysis

Structural Nonlinearity: $\left\{ \begin{array}{l} \text{Material Non.} \\ \text{Geometric Non. / Kinematic / Second-Order} \\ \text{Large Displacement Non.} \end{array} \right.$



$M = v h$ ← اصل برصم نه بر پ است ← معادله اول برین صفت تغییر شکل یافته

$M = v h \pm P \Delta$ ← " " " ← اصل برصم نه بر شکل دارد



$M = v h + P \Delta \rightarrow v = \underbrace{\left(\frac{M}{h} - P \right)}_{\Delta}$

نقشه با مخرج یافته توسط تغییر شکل

$v = \frac{3 E I}{h^3} \Delta$ ← در حالت تحلیل مرتبه اول مستقل از P بود

* این اثر زانگ مهم می شود که P یا Δ زیاد باشند (در مقایسه با سازه، بلند، طویل و ...)

* اثرات دیگر نیز می تواند با یک عنصر خطی شون شوند، مانند شرایط مرزی (Contact element)

* روش Sap و Etabs: حالتی برای آنرا که در آن تحلیل P-Δ تعریف می شود و از اینها ترس برای تمامی انواع

تحلیل چک دیگر استفاده می گردد. در این حالت از جمع بارها (ترکیبات بارها) استفاده می شود چون ممکن است در این بارها

نقشه مخرج هستند.

* کمترین اثر آن نیز در P-Δ شروع می شود پس P-Δ و Large Dis. استفاده می شود.

* ضرایب تغییر در کتب و در این (درست بل نلزله است) در دوران دوره از نظر مرتبه اول → کنترل تغییر

→ کنترل تغییر حالت $= 1$ طبقه فرایند است

15th story: $P_{cr} = 228(12)/0.0522 = 52,414$ kips

10th story: $P_{cr} = 435(12)/0.0609 = 85,714$ kips

5th story: $P_{cr} = 642(12)/0.0582 = 132,371$ kips

The corresponding magnification factors assuming $\gamma = \phi = 1.0$ are:

for the 15th story:

$$\mu = \frac{1}{1 - 7427/52,414} = 1.165$$

for the 10th story:

$$\mu = \frac{1}{1 - 13,616/85,714} = 1.189$$

for the 5th story:

$$\mu = \frac{1}{1 - 19,806/132,371} = 1.176$$

and the magnified story drifts are:

for the 15th story:

$$\mu \Delta = 1.165(0.0522) = 0.0608 \text{ ft}$$

for the 10th story:

$$\mu \Delta = 1.189(0.0609) = 0.0724 \text{ ft}$$

for the 5th story:

$$\mu \Delta = 1.176(0.0582) = 0.0684 \text{ ft}$$

A large-deformation analysis of this building⁽⁷⁻²³⁾ indicates story drifts of 0.0607 ft, 0.0723 ft, and 0.0686 ft for the 15th, 10th, and 5th stories, respectively.

*7.4.3 Approximate P-Delta Analysis

Three methods for approximate P-delta analysis of building structures are presented in this section: the iterative P-delta method; the

direct P-delta method; and the negative bracing member method. All three methods are shown to be capable of providing accurate estimates of P-delta effects.

Iterative P-Delta Method The iterative P-delta method^(7-16, 7-24, 7-25, 7-26) is based on the simple idea of correcting first-order displacements, by adding the P-delta shears to the applied story shears. Since P-delta effects are cumulative in nature, this correction and subsequent reanalysis should be performed iteratively until convergence is achieved. At each cycle of iteration a modified set of story shears are defined as:

$$\sum V_i = \sum V_i + (\sum P)\Delta_{i-1}/h \quad (7-20)$$

where $\sum V_i$ is the modified story shear at the end of i th cycle of iteration, $\sum V_i$ is the first-order story shear, $\sum P$ is the sum of all gravity forces acting on and above the floor level under consideration, Δ_{i-1} is the story drift as obtained from first-order analysis in the previous cycle of iteration, and h is the story height for the floor level under consideration. Iteration may be terminated when $\sum V_i \approx \sum V_{i-1}$ or $\Delta_i \approx \Delta_{i-1}$.

Generally for elastic structures of reasonable stiffness, convergence will be achieved within one or two cycles of iteration⁽⁷⁻¹⁶⁾. One should note that since the lateral forces are being modified to approximate the P-delta effect, the column shears obtained will be slightly in error⁽⁷⁻¹⁶⁾. This is true for all approximate methods which use sway forces to approximate the P-delta effect.

*EXAMPLE 7-1

For the 10 story moment resistant steel frame shown in Figure 7-14, modify the first-order lateral displacements to include the P-delta effects by using the Iterative P-delta Method. The computed first-order lateral displacements and story drifts for the frame are

Table 7-1. Applied forces and computed First-Order Displacements for the 10-story frame.

Level	Story height <i>h</i> , in.	Gravity force ΣP , kips	Lateral load <i>V</i> , kips	Story shear ΣV_1 , kips	Lateral disp. <i>D</i> ₁ , in.	Story drift Δ_1 , in.
10	144	180	30.22	30.22	7.996	0.517
9	144	396	21.94	52.17	7.479	0.736
8	144	612	19.57	71.74	6.743	0.785
7	144	828	17.20	88.93	5.958	0.907
6	144	1044	14.83	103.76	5.051	0.899
5	144	1260	12.45	116.21	4.152	0.914
4	144	1476	10.08	126.30	3.238	0.833
3	144	1692	7.71	134.01	2.400	0.867
2	144	1908	5.34	139.34	1.533	0.768
1	180	2124	2.97	142.31	0.765	0.765

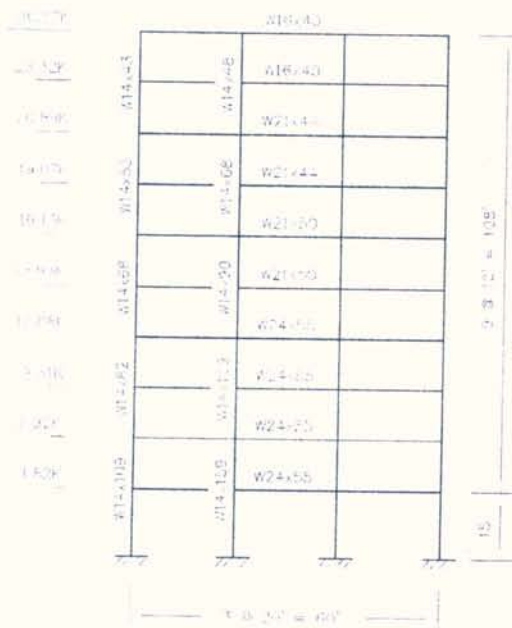


Figure 7-14. Elevation of the story moment frame used in Example 7-1.

shown in Table 7-1. The tributary width of the frame is 30 ft. The gravity load is 100 psf on the roof and 120 psf on typical floors. Use center-to-center dimensions.

The calculations for this example using the iterative P-delta method are presented in Tables 7-2 and 7-3. The convergence was achieved in two cycles of iteration. Table 7-3 also shows results obtained by an "exact" P-delta analysis.

To further explain the steps involved in the application of this method, let us consider the

bent at the 8th level of the frame. The story height (*h*) is 12 feet (144 in.), the total gravity force at this level (ΣP) is 612 kips, the story shear (ΣV) is 71.74 kips, and the first-order story drift is 0.785 inches (see Table 7-1).

The P-Delta Contribution to the story shear is:

$$\frac{(\Sigma P)\Delta_1}{h} = \frac{(612)(0.785)}{144} = 3.34 \text{ kips}$$

and the modified story shear is:

$$\begin{aligned} \Sigma V_2 &= \Sigma V_1 + (\Sigma P)\Delta_1 / h \\ &= 71.74 + 3.34 = 75.08 \text{ kips} \end{aligned}$$

Repeating this operation for all stories results in a modified set of story shears, from which a modified set of applied lateral forces is obtained (Table 7-2). A new first-order analysis of the frame subjected to these modified lateral forces results in a modified set of lateral displacements (*D*₂) and story drifts (Δ_2) as shown in Table 7-2. The maximum displacement obtained from the second analysis was 8.478 in., which is 9% larger than the original first-order displacement. Hence, a second iteration is necessary. Again performing the calculations for the bent at the 8th floor:

$$\frac{(\Sigma P)\Delta_2}{h} = \frac{(612)(0.823)}{144} = 3.50 \text{ kips}$$

$$\begin{aligned} \Sigma V_3 &= \Sigma V_2 + (\Sigma P)\Delta_2 / h \\ &= 71.74 + 3.50 = 75.24 \text{ kips} \end{aligned}$$

Another first-order analysis for the new set of lateral forces indicates a maximum displacement of 8.508 inches, which is less than

Table 7-2. Iterative P-delta method (First cycle of iteration)

Level	(ΣP) Δ ₁ / h, kips	ΣV ₁ +(ΣP) Δ ₁ / h, kips	Modified lateral Force V ₂ , kips	Modified lateral Disp. D ₂ , in.	Modified story Drift Δ ₂ , in.
10	0.65	30.87	30.87	8.478	0.533
9	2.02	54.19	23.32	7.945	0.767
→ 8	3.34	75.08	20.89	7.178	0.823
7	5.22	94.15	19.07	6.355	0.959
6	6.52	110.28	16.13	5.396	0.955
5	8.00	124.21	13.93	4.441	0.976
4	8.59	134.89	10.68	3.465	0.897
3	10.19	144.20	9.31	2.568	0.930
2	10.18	149.52	5.32	1.638	0.823
1	9.03	151.34	1.82	0.815	0.815

Table 7-3. Iterative P-delta method (Second cycle of iteration)

Level	(ΣP) Δ ₂ / h, kips	ΣV ₂ +(ΣP) Δ ₂ / h, kips	Modified lateral Force V ₃ , kips	Modified lateral Disp. D ₃ , in.	Modified story Drift Δ ₃ , in.
10	0.67	30.89	30.89	8.508 (8.510)	0.534 (0.534)
9	2.11	54.28	23.39	7.975 (7.976)	0.768 (0.768)
→ 8	3.50	75.24	20.96	7.207 (7.209)	0.825 (0.825)
7	5.51	94.44	19.20	6.382 (6.384)	0.962 (0.963)
6	6.92	110.68	16.24	5.419 (5.421)	0.959 (0.959)
5	8.54	124.75	14.07	4.461 (4.462)	0.980 (0.980)
4	9.19	135.49	10.74	3.480 (3.481)	0.900 (0.901)
3	10.93	144.94	9.45	2.580(2.581)	0.935 (0.935)
2	10.90	150.24	5.30	1.645 (1.646)	0.827 (0.827)
1	9.62	151.93	1.69	0.818 (0.819)	0.818 (0.819)

* Values in parentheses represent results of an "exact" P-delta analysis.

1% larger than the displacements obtained in the previous iteration. Hence, the iteration was terminated at this point.

The first-order and second-order lateral displacements and story drifts are shown in Figures 7-15 and 7-16. As indicated by these figures, the results are virtually identical to the exact results.

Direct P-Delta Method The direct P-delta method⁽⁷⁻¹⁶⁾ is a simplification of the iterative method. Using this method, an estimate of final deflections is obtained directly from the first order deflections.

The simplification is based on the assumption that story drift at the *i*th level is proportional only to the applied story shear at that level (ΣV_{*i*}). This assumption allows the treatment of each level independent of the others.

If *F* is the drift caused by a unit lateral load at the *i*th level, then the first order drift Δ_{*i*} is:

$$\Delta_i = F \Sigma V_i \tag{7-21}$$

After the first cycle of iteration,

$$\Delta_2 = F \Sigma V_2 = F(\Sigma V_1) \left(1 + (\Sigma P) \frac{F}{h} \right) \tag{7-22}$$

and after the *i*th cycle of iteration:

$$\Delta_{i+1} = F \Sigma V_i \left[1 + \left((\Sigma P) \frac{F}{h} \right) + \left((\Sigma P) \frac{F}{h} \right)^2 + \dots + \left((\Sigma P) \frac{F}{h} \right)^i \right] \tag{7-23}$$

$$\gamma = 1 + 0.22 \frac{4(G_A - G_B)^2 + (G_A + 3)(G_B + 2)}{[(G_A + 2)(G_B + 2) - 1]^2} \quad (7-27)$$

where G_A and G_B are the stiffness ratios as defined in Section 7.4.1. The flexibility factor γ has a rather small range of variation (from 1.0 for $G_A = G_B = \infty$ to 1.22 for $G_A = G_B = 0$). For design purposes a conservative average value of γ can be used for the entire frame. Lai and MacGregor⁽⁷⁻²⁶⁾ suggest an average value of $\gamma = 1.15$, while Stevens⁽⁷⁻¹⁰⁾ has proposed an average value of $\gamma = 1.11$.

To include the C-S effect in the previously discussed P-delta methods, it is sufficient to use $\gamma\Sigma P$ instead of ΣP wherever the term ΣP appears.

EXAMPLE 7-4

For the 10-story frame of Example 7-1, compute the second-order displacements and story drifts at the first, fifth, and the roof levels by the modified direct P-delta method. An average value of $\gamma = 1.11$ is assumed for all calculations.

Using the values listed in Table 7-4 we have:

- at the roof:

$$\frac{\gamma(\Sigma P)\Delta_1}{(\Sigma V_1)h} = \frac{(1.11)(180)(0.517)}{(30.22)(144)} = 0.024$$

$$\mu = \frac{1}{1 - 0.024} = 1.025$$

$$\Delta_2 = \mu\Delta_1 = (1.025)(0.517) = 0.530 \text{ in.}$$

- at the fifth level:

$$\frac{\gamma(\Sigma P)\Delta_1}{(\Sigma V_1)h} = \frac{(1.11)(1260)(0.914)}{(116.21)(144)} = 0.076$$

$$\mu = \frac{1}{1 - 0.076} = 1.082$$

$$\Delta_2 = \mu\Delta_1 = (1.082)(0.914) = 0.989 \text{ in.}$$

- and at the first level:

$$\frac{\gamma(\Sigma P)\Delta_1}{(\Sigma V_1)h} = \frac{(1.11)(2124)(0.765)}{(142.31)(180)} = 0.070$$

$$\mu = \frac{1}{1 - 0.070} = 1.075$$

$$\Delta_2 = \mu\Delta_1 = (1.075)(0.765) = 0.822 \text{ in.}$$

Comparison of these results with those obtained by the original method reveals an increase of less than 1% in the story drifts due to this modification.

*7.4.4 "Exact" P-Delta Analysis

Construction of the geometric stiffness matrix is the backbone of any exact second-order analysis. The same matrix is also essential for any finite element buckling analysis procedure. In this section, the concept of geometric stiffness matrix is introduced, and a general approach to "exact" second-order structural analysis is discussed.

Consider the deformed column shown in Figure 7-18. For the sake of simplicity, neglect the axial deformation of the member, and the small C-S effect. The slope deflection equations for this column can be written as⁽⁷⁻¹²⁾

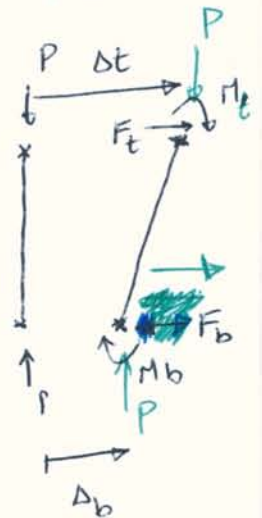
$$M_t = \frac{EI}{L} \left(4\theta_t + 2\theta_b - \frac{6\Delta_t}{L} + \frac{6\Delta_b}{L} \right) \quad (7-28)$$

$$M_b = \frac{EI}{L} \left(2\theta_t + 4\theta_b - \frac{6\Delta_t}{L} + \frac{6\Delta_b}{L} \right) \quad (7-29)$$

From force equilibrium:

$$F_t = -\frac{M_t + M_b}{L} - \frac{P(\Delta_t - \Delta_b)}{L} \quad (7-30)$$

$$F_b = -F_t \quad (7-31)$$



Substituting Equations 7-28 and 7-29 into Equation 7-30:

$$F_i = -\frac{6EI}{L^2}(\theta_i + \theta_b) + 12\left(\frac{EI}{L^3} - \frac{P}{L}\right)(\Delta_i - \Delta_b) \tag{7-32}$$

Now if we rewrite the above equations in a matrix form, we obtain:

$$\begin{bmatrix} M_i \\ M_b \\ F_i \\ F_b \end{bmatrix} = \begin{bmatrix} \frac{4EI}{L} & \frac{2EI}{L} & -\frac{6EI}{L^2} & \frac{6EI}{L^2} \\ \frac{2EI}{L} & \frac{4EI}{L} & -\frac{6EI}{L^2} & \frac{6EI}{L^2} \\ -\frac{6EI}{L^2} & -\frac{6EI}{L^2} & \frac{12EI}{L^3} - \frac{P}{L} & -\frac{12EI}{L^3} + \frac{P}{L} \\ \frac{6EI}{L^2} & \frac{6EI}{L^2} & -\frac{12EI}{L^3} + \frac{P}{L} & \frac{12EI}{L^3} - \frac{P}{L} \end{bmatrix} \begin{bmatrix} \theta_i \\ \theta_b \\ \Delta_i \\ \Delta_b \end{bmatrix} \tag{7-33}$$

Since we wrote the equilibrium equations for the deformed shape of the member, this is a second-order stiffness matrix. Notice that the only difference between this matrix, and a standard first-order beam stiffness matrix, is the presence of P/L or geometric terms. The stiffness matrix given by Equation 7-33 can also be written as:

$$\star [K] = [K_f] - [K_g] \star \tag{7-34}$$

where $[K_f]$ is the standard first-order stiffness matrix (material matrix) and $[K_g]$ is the geometric stiffness matrix given by:

$$\begin{bmatrix} 0 & 0 & 0 & 0 \\ 0 & 0 & 0 & 0 \\ 0 & 0 & +P/L & -P/L \\ 0 & 0 & -P/L & +P/L \end{bmatrix}$$

Inspection of the simple second-order stiffness matrix given by Equation 7-33 shows why general second-order structural analysis

has an iterative nature. The matrix includes P/L terms, but the axial force P is not known before an analysis is performed. For the first analysis cycle, P can be assumed to be zero (standard first-order analysis). In each subsequent analysis cycle, the member forces obtained from the previous cycle are used to form a new geometric stiffness matrix, and the analysis continues until convergence is achieved. If inelastic material behavior is to be considered, then the material stiffness matrix must also be revised at appropriate steps in the analysis.

Substantial research has been performed on the formulation of geometric stiffness matrices and finite element stability analysis of structures^(7-28,7-36). A complete formulation of the three-dimensional geometric stiffness matrix for wide flange beam-columns has been proposed by Yang and McGuire⁽⁷⁻³⁶⁾.

The common assumption that floor diaphragms are rigid in their own plane, allows condensation of lateral degrees of freedom into three degrees of freedom per floor level: two horizontal translations and a rotation about the vertical axis. This simplification significantly reduces the effort required for an "exact" second-order analysis. A number of schemes have been developed to permit direct and non-iterative inclusion of P-Delta effects in the analysis of rigid-diaphragm buildings^(7-37, 7-38, 7-39).

The geometric stiffness matrix for a three dimensional rigid diaphragm building is given in Figure 7-19^(7-37, 7-38). For a three-dimensional building with N floor levels, $[K_g]$ is a $3N \times 3N$ matrix. For planar frames, the matrix reduces to an $N \times N$ tridiagonal matrix. The non-zero terms of this matrix are given by:

$$\alpha_i = \frac{(\Sigma P)_i}{h_i} + \frac{(\Sigma P)_{i+1}}{h_{i+1}} \tag{7-35}$$

$$\beta_i = \frac{(\Sigma T)_i}{h_i} + \frac{(\Sigma T)_{i+1}}{h_{i+1}} \tag{7-36}$$

$$\eta_i = -\frac{(\Sigma P)_i}{h_i} \quad (7-37)$$

$$\lambda_i = -\frac{(\Sigma T)_i}{h_i} \quad (7-38)$$

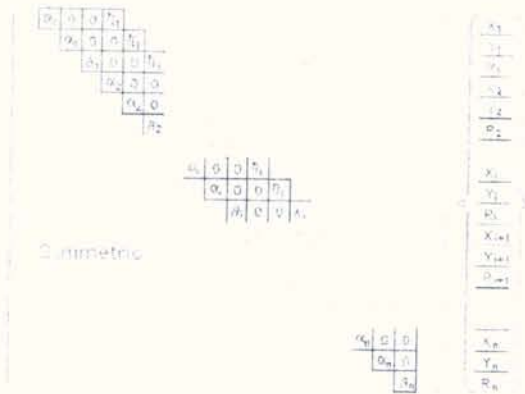


Figure 7-18. Geometric stiffness matrix for three-dimensional rigid diaphragm buildings.

where h_i is the floor height for level i , P_i is weight of the i th level, T_i is the second-order story torque, and

$$(\Sigma P)_i = \sum_{j=1}^n P_j \quad (7-39)$$

$$(\Sigma T)_i = \sum_{j=1}^n T_j \quad (7-40)$$

$(\Sigma P)_i$ can also be represented in terms of story mass, m_i , and gravitational acceleration, g , as

$$(\Sigma P)_i = \left(\sum_{j=1}^n m_j \right) \times g \quad (7-41)$$

The story torque, T_i , is given by ⁽⁷⁻³⁸⁾

$$T_i = \left(\sum_{j=1}^n p_j d_j^2 \right) \frac{\theta}{h_i} \quad (7-42)$$

where p_j is the vertical force carried by the j th column, d_j is the distance of j th column from the center of rotation of the floor, and θ is an

imposed unit rigid body rotation of the floor. Assuming that the dead load is evenly distributed over the floor and that a roughly uniform vertical support system is provided over the plan area of the floor, Equation 7-42 can be further simplified to

$$T_i = m_{Ri} \frac{g}{h_i} \quad (7-43)$$

where m_{Ri} is the rotational mass moment of inertia of the i th floor and g is the gravitational acceleration. The approximation involved in the derivation of Equation 7-43 is usually insignificant⁽⁷⁻³⁹⁾. Hence, for most practical problems, Equation 7-43 can be used instead of Equation 7-42, thereby allowing the direct inclusion of the P-delta effect in a three dimensional structural analysis.

7.4.5 Choice of Member Stiffnesses for Drift and P-Delta Analysis

A common difficulty in seismic analysis of reinforced concrete structures is the selection of a set of rational stiffness values to be used in force and displacement analyses. Should one use gross concrete section properties? Should one use some reduced section properties? Or should the gross concrete properties be used for one type of analysis and reduced section properties be used for another type of analysis?

The seismic design codes in the United States are not specific about this matter. Hence, the choice of section properties used in lateral analysis in general, and seismic analysis in particular, varies widely.

Contributing to the complexity of this issue, are the following factors:

1. Although elastic material behavior is usually assumed for the sake of simplicity, reinforced concrete is not a homogeneous, linearly elastic material.
2. Stiffness and idealized elastic material properties of a reinforced concrete section vary with the state of behavior of the section (e.g. uncracked, cracked and ultimate states).